

151169

**İZMİR BORNOVA YERALTI SUYU HAVZASININ
KIRLENEBİLİRLİĞİ**

Dokuz Eylül Üniversitesi

Fen Bilimleri Enstitüsü

Yüksek Lisans Tezi

Uygulamalı Jeoloji Anabilim Dalı

Can ERTEKİN

151169

Şubat, 2004

İZMİR

Yüksek Lisans Tezi Sınav Sonuç Formu

Can ERTEKİN , tarafından Doç. Dr. Gültekin TARCAN yönetiminde hazırlanan “**İZMİR BORNOVA YERALTI SUYU HAVZASININ KIRLENEBİLİRLİĞİ**” başlıklı tez tarafımızdan okunmuş, kapsamı ve niteliği açısından bir Yüksek Lisans tezi olarak kabul edilmiştir.

.....
Doç. Dr. Gültekin TARCAN

Yönetici

.....
Gültekin.....

.....
Prof. Dr. Derya Turhan

Jüri Üyesi

.....
Fatih

.....
Yd. Doç. Dr. İlknur Gemic

Jüri Üyesi

.....
Prof. Dr. Cahit HELVACI
Müdür
Fen Bilimleri Enstitüsü

TEŞEKKÜR

Bu proje, Doç. Dr. Gültekin TARCAN tarafından önerilmiş ve yönlendirilmiştir.

Su analizlerinin yapılmasında Dokuz Eylül Üniversitesi Jeokimya Laboratuvarı çalışanları, Kimyager Nedim TATARİ ve Jeoloji Müh. Cihan GÜNEŞ' e de teşekkür ederim.

Tezin düzenlenme aşamasında yardımcılarını esirgemeyen Araş. Gör. Ali BÜLBÜL' e, Jeoloji Yük. Müh. Tuğbanur ÖZEN' e, Dokuz Eylül Üniversitesi Jeoloji Mühendisliği Bölümü Lisans Öğrencisi Didem VİDİNLI' ye teşekkür ederim.

Bu çalışma, sevgisini her zaman kalbimde hissettiğim sevgili annem, Aynur DÜLGER' e adanmıştır.

Can ERTEKİN

ABSTRACT

This study contains vulnerability assessment of Bornova alluvium plain and relation between hydrochemical facieses and vulnerability index.

Primarily hydrogeochemical studies have been collected to draw Piper and Schoeller diagrams. According to these results, $\text{Ca}^{2+}\text{HCO}_3^-$ water type is characteristics in the alluvium aquifer but subsequent water chemical results have showed that mixing type waters are widespread in the area.

Electrical conductivity values higher in the western part of the basin than the eastern part of it. The concentration values of Na^+ , Ca^{2+} , Mg^{2+} , Cl^- has increased as related to time.

USA Salinity Diagram was used to show shifting hydrochemical values toward high electrical conductivity values. Primarily hydrochemical data were evaluated as C₂-S₁ but subsequent water chemical results has shifted to C₃-S₁ and C₄-S₂.

French hardness of primarily hydrochemical data changes soft to hard or moderately hard whereas subsequent water chemical results changes hard to extremely hard.

The results have been considered related to indicate sea water intrusion and/or industrialization, urbanization affecting groundwater withdrawal.

GOD vulnerability method was chosen to asses vulnerability to contamination. Vulnerability index values are higher in the western part of the basin than the eastern part of it. The vulnerability map and hydrochemical results have been evaluated in integrated manner. As a result both of the map and the data have been appropriately considered.

Key Words: İzmir, Bornova, GOD method, vulnerability mapping, hydrogeochemistry

ÖZET

Bu çalışma, Bornova alüvyon ovasının kirlenebilirlik değerlendirmesini ve hidrojeokimyasal fasiyelerle kirlenebilirlik indeksi arasındaki ilişkiyi kapsamaktadır.

Önceki hidrojeokimyasal çalışmalar Piper ve Schoeller diyagramlarını çizmek için derlenmiştir. Sonuçlara göre Ca^{2+} HCO_3^- su tipi alüvyon akiferin karakteristiğidir fakat daha sonraki su kimyası sonuçları karışık su tipinin alanda yaygın olduğunu göstermiştir.

Elektriksel iletkenlik değerleri havzanın batısında doğusuna göre daha yüksektir. Na^+ , Ca^{2+} , Mg^{2+} , Cl^- derişimleri zamana bağlı olarak artmaktadır.

ABD tuzluluk diyagramı hidrokimyasal değerlerin yüksek iletkenlik değerlerine doğru yönelmiş olduğunu göstermek için kullanılmıştır. Eski hidrokimyasal veriler $\text{C}_2\text{-S}_1$ olarak değerlendirilmiştir fakat daha sonraki veriler $\text{C}_3\text{-S}_1$ ve $\text{C}_4\text{-S}_2'$ ye yönelmiştir.

Önceki çalışmaların Fransız sertlik değerleri yumuşak su ile sert veya oldukça sert su arasında değişmektedir halbuki daha sonra elde edilmiş su kimyası değerleri sert ve oldukça sert arasında değişmektedir.

Sonuçlar deniz suyu girişimine ve/veya sanayileşme ile şehirleşmeye bağlı aşırı su çekimine işaret etmektedir.

GOD kirlenebilirlik metodu akiferin kirliliğe karşı duyarlığını değerlendirmek için seçilmiştir. Kirlenebilirlik indeks değerleri havzanın batı kısmında doğu kısmına göre daha yüksektir. Kirlenebilirlik haritası ve su kimyası sonuçları birlikte değerlendirilmiştir. Sonuç olarak harita ve verilerin uyum içinde olduğu düşünülmektedir.

Anahtar Kelimeler: İzmir, Bornova, GOD yöntemi, kirlenebilirlik haritası, hidrojeokimya

İÇİNDEKİLER

	<u>Sayfa No</u>
İÇİNDEKİLER.....	vi
ŞEKİLLER LİSTESİ.....	viii
TABLOLAR LİSTESİ.....	ix

Bölüm 1

GİRİŞ

1.1. Çalışma Alanının Yeri.....	1
1.2. Çalışmanın Amacı	2
1.3. Yöntemler.....	3
1.4. Coğrafya	3

Bölüm 2

JEOLOJİ ve HİDROJEOLOJİ

2.1. Jeoloji	5
2.2. Hidrojeoloji	9

Bölüm 3

HİDROJEOKİMYA

3.1. Hidrojeokimyada Kullanılan Derişim Birimleri ve Doygunluk İndeksi.....	13
3.2 Yeraltı Sularının Sınıflaması.....	18
3.3 Yeraltı Sularının Kalitesi ve KullanmaKriterleri.....	20
3.4 Su Örneklerine Ait Fiziksel ve Kimyasal Özelliklerin Değerlendirilmesi.....	21
3.5 Su Örneklerine Ait Piper ve Schoeller Diyagramlarının Değerlendirilemiş 27	
3.6 Su Örneklerinin Ait ABD Tuzluluk Diyagramının Değerlendirilmesi.....	35
3.7 Su Örneklerinin Sertliği.....	36

Bölüm 4

BÖLGENİN KİRLENEBİLİRLİĞİ

4.1. Kirlenebilirlik Kavramı	40
4.2. Kirlenebilirlik Haritası Yapımında Kullanılan Yöntemler.....	40
4.3. Kirlenebilirlik Haritasının Hazırlanması.....	41
4.4 Kirlenebilirlik Haratasına Göre Koruma alanlarının Değerlendirilemiş.....	47

Bölüm 5

SONUÇLAR. ve ÖNERİLER.....51

Bölüm 6

KAYNAKLAR53

EK İNCELEME ALANINA AİT ÖRNEKLEME NOKTALARININ KİMYASAL ANALİZ SONUÇLARI

ŞEKİLLER LİSTESİ

Sayfa No

Şekil 1.1 Çalışma alanının yeri.....	1
Şekil 2.1 Bölgeye ait genel stratigrafik kesit.....	6
Şekil 2.2 Bölgenin jeoloji haritası	8
Şekil 2.3 İnceleme alanının K-B doğrultulu jeolojik kesiti.....	10
Şekil 3.1 Piper diyagramı	20
Şekil 3.2 Örnekleme noktası haritası.....	24
Şekil 3.3 Tunalı (1980) ve Türkman (1981) Sonuçlarına Ait Verilerden Oluşturulan Piper Diyagramı	28
Şekil 3.4 Tunalı (1980) ve Türkman (1981) Sonuçlarına Ait Verilerden Oluşturulan Schoeller Diyagramı.....	29
Şekil 3.5 İnceleme Alanının Eş Yeraltı Suyu Seviye Haritası	30
Şekil 3.6 Barlak ve Tarcan (1998); Köseoğlu ve Tarcan (1998) ; Baba ve diğerleri, 2001 Sonuçlarına Ait Verilerden Oluşturulan Piper Diyagramı	31
Şekil 3.7 Barlak ve Tarcan (1998); Köseoğlu ve Tarcan (1998); Baba ve diğerleri, 2001 Sonuçlarına Ait Verilerden Oluşturulan Schoeller Diyagramı.....	32
Şekil 3.8 Yazara Ait Verilerden Oluşturulan Piper Diyagramı.....	33
Şekil 3.9 Yazara Ait Verilerden Oluşturulan Schoeller Diyagramı.....	34
Şekil 3.10 Suların ABD Tuzluluk Diyagramına Göre Sınıflandırılması.....	39
Şekil 4.1 GOD sistemi.....	43
Şekil 4.2 Bornova Ovası Eş Yeraltı Suyu Derinlik Haritası	44
Şekil 4.3 GOD sistemine göre Bornova Yeraltı suyu Havzasının Kirlenebilirlik Haritası	46

TABLOLAR LİSTESİ

	<u>Sayfa No</u>
Tablo 3.1 Suların Fiziko Kimyasal Özelliklerine Göre Sınıflaması.....	23
Tablo 3.2 Çalışma alanına ait yeraltı sularının kimyasal ve fiziksel özelliklerİ.....	25
Tablo 3.3 Suların Fransız sertliğine göre sınıflaması.....	37

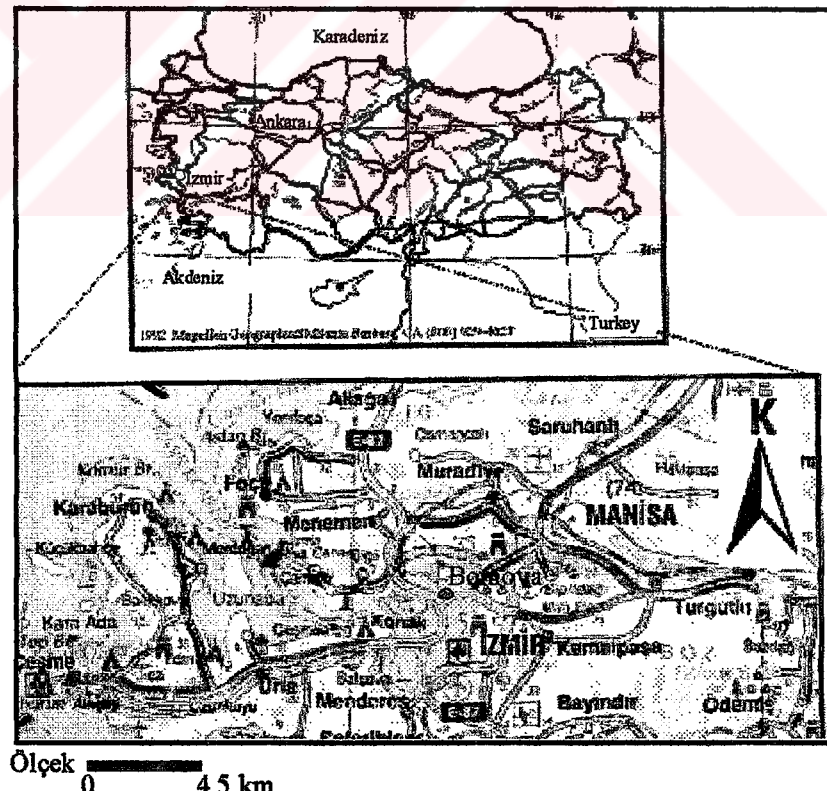
Bölüm 1

GİRİŞ

Sanayileşme ve şehirleşmenin yaygın olduğu İzmir Bornova ovasında yeraltı suyu kirliliği çevre sorunudur. Bu çalışma, önceki çalışmalarda dephinilmiş kirlilik sorunlarının varlığını ve zamana bağlı değişimini hidrojeokimyasal yöntemlere göre değerlendirmektedir. Çalışma, bunun dışında bu bölgeye ait olarak ilk defa uygulanmış olan kirlenebilirlik haritasının yapımını da içerir.

1.1. Çalışma Alanının Yeri

Çalışma alanı, L18 a1 ve L18 b1 paftaları içerisindeidir. Çalışma alanı yaklaşık 200 km yüzölçümüne sahiptir (Şekil 1.1).



Şekil 1.1. Çalışma Alanının Yeri

1.2. Çalışmanın Amacı

Hidrojeolojide yeraltı suyu sistemlerine insan etkisi, çevre hidrojeolojisi olarak isimlendirilen bilimsel çalışma konusudur. Yeraltı suyu sistemlerinin, tarım ve içme suyu olarak kullanımı, çevresel bir sorun olarak değerlendirilmesinde etkendir. Özellikle, alüvyon ile kaplı alanların şehirleşmeye ve sanayileşmeye açık olması yerbilimcileri alüvyon akiferlerin kirlilik sorunlarını değerlendirmeye yöneltmiştir. İzmir İlinin gelişmiş bir şehir olması ve körfezin doğu ucunda bulunan Bornova yeraltı suyu havzasında sanayi ve konutlaşmanın bulunması, çalışma bölgesinin seçiminde rol oynamıştır.

Uygulama amaçlı olarak, yeraltı suyu kirliliğine yönelik çalışmalar yapılmaktadır. Bunun dışında akiferlerin kirlenebilirliğine yönelik çalışmalarda kirleticilere karşı çevrenin korunmasında elverişli bir araçtır. Yeraltı suyunun kirleticilere karşı kirlenebilirliği veya kısaca kirlenebilirlik akiferin ölçülemeyen bir özelliği olup göreceli bir niceliktir. Kirlenebilirlik, akiferin alan olarak bir bölümünün diğerine göre kirleticilere karşı nasıl cevap verebileceği (kirleticinin akifere varış süresi, akiferin örtü tabakasının varlığı vb...) hakkında bilgi veren ve sonuçları harita olarak gösterilen bir yöntemdir. Bu tür bir harita arazinin kirliliğe karşı korunmasında, sanayileşmenin ve şehirleşmenin etkilerini önceden tahmin ederek önlemler alınmasında elverişlidir.

Çalışma alanındaki akiferin kirlilik kaynakları; ilgili literatürde de deñinilen sanayileşmeye bağlı olarak ağır metal katkısı ve aşırı çekim nedeniyle deniz suyu girişimidir. Bu çalışmada, diğer araştırmalarda da deñinilen kirleticilerin, etkileri dolaylı ve zamana bağlı olarak incelenmiş, ayrıca kirlenebilirlik haritası yapılarak su kimyası incelemeleri ile uyumlu olup olmadığı değerlendirilmiştir. Akiferin daha kirlenebilir kısımlarının deniz suyu girişiminden de daha fazla etkilendiği gösterilmiştir.

1.3. Yöntemler

Bölgedeki deniz suyu girişimini ve/veya sanayileşme ile şehirleşmeye bağlı aşırı su çekimini gösterebilmek için önceki çalışmalardan elde edilmiş su kimyası sonuçları da kullanılarak hidrokimyasal değerlendirme yapılmıştır. Kirlenebilirlik haritası için çalışma alanındaki iki akiferin çeşidi, akiferi oluşturan sedimanların oluşum mekanizması ve yeraltı suyu derinliği önceki çalışmalara dayanılarak belirlenmiştir. Haritanın oluşturulmasında kullanılan bu üç değişken için literatürde belirlenmiş sayılar kullanılmıştır. Parametrelere karşılık gelen sayılar çarpılarak sonuç değerinin (kirlenebilirlik indeksi) literatürdeki sınıflamada nereye düşüğü bulunmuştur. Sınıflama, kirlenebilirliği düşük, yüksek gibi göreceli bir ölçüte göre değerlendirilmektedir. Daha sonra kirlenebilirlik sınıflaması hidrojeokimya sonuçları ile birlikte ele alınmıştır.

1.4. Coğrafya

Üç tarafı dağlarla çevrili olan Bornova Ovası batıdan doğuya doğru çok az bir eğimle İzmir Körfezi'ne açılır. Alüvyon ile kaplı alan yaklaşık 51 km^2 dir. Ovanın etrafi yükseltiler ile çevrilidir. Bornova ovanın yamaçlarında kurulmuştur. Zamanla şehirleşme kıyıyla doğru ilerlemiştir. Kıyıyla yakın sanayi tesisleri mevcuttur.

Ovada devamlı akış halinde olan yüzey suyu yoktur. Kocaçay, Manda ve Arap Dereleri ovadaki yüzey sularıdır. Yağışlar ile gelen yüzey akış bu dereler ile ovadan körfeze boşalmaktadır.

Bölgede iki önemli karstik kaynak vardır. Bunlar güneydoğudaki Halkapınar ve güney batıdaki Pınarbaşı kaynaklarıdır. Pınarbaşı kaynakları çalışma alanındaki alüvyon akiferin yapay beslenmesi için kullanılmıştır. Halkapınar kaynağı halen şehrin içme suyu ihtiyacı için İZSU tarafından kullanılmaktadır.

Bölgede kışlar ılık ve yağışlı, yazlar sıcak ve kuraktır. Akdeniz İklimi özelliği görülmektedir. İzmir Meteoroloji Müdürlüğü'nnün 24 yıllık verilerine göre yıllık or-

talama yağış 700 mm dir. Ovayı çevreleyen yüksek kısımlarda doğal bitki örtüsü makilerdir. Fakat büyük bir alanda bitki örtüsü gözlenmemektedir.



Bölüm 2

JEOLOJİ ve HİDROJEOLOJİ

2.1 Jeoloji

Bornova Ovası, İzmir Körfezi' nin doğusunda bulunmaktadır. Kuzeyden ve güneyden eğim atımlı normal faylar ile sınırlı ova, tektonik çöküntü (graben) içerisinde yer almaktadır (Tunalı, 1980). Ova, tektonizmanın sonucu kuzeyi ve güneyinde yükseltiler ile çevrilidir. Morfoloji gereği jeoloji iki ana gruba ayrılır. Yaşıdan gence doğru sıralanırsa; ilk grup yüksek kısımlarda bulunan Kretase-Tersiyer yaşı pekleşmiş kayaçlar, ikinci grup ise çöküntü alanında gözlenen Kuvaterner yaşı; tane boyu açısından heterojen alüvyondur (Şekil 2.1).

Kretase-Tersiyer yaşı kayaçlar çalışma alanında taban kayadır. Bölgede bulunan Üst-Kretase yaşı resifal Kurudağ kireçtaşı birimi bölgenin doğu ve güney doğusunda yaygındır (Şekil 2.2). Birim, kireçtaşı, killi kireçtaşı ve dolomitlerden oluşur. Farklı seviyelerde rudist fosilleri gözlenir (Şahinci ve Önal, 1988). Fossil içeriğine göre yaş, Üst Kretase olarak belirlenmiştir (Ulutürk, 1980). Kireçtaşı biriminin alt yüzeyi çalışma alanında gözlenmeyen Alt Jura yaşı dolomitik kireçtaşı birimi ile yapısal dokanağa sahip, üst yüzeyi ise Üst Kretase- Alt Paleosen yaşı çakıltaşısı-kumtaşısı-şeyl ardalanması ile uyumludur (Şahinci ve Önal, 1988); (Şekil 2.1).

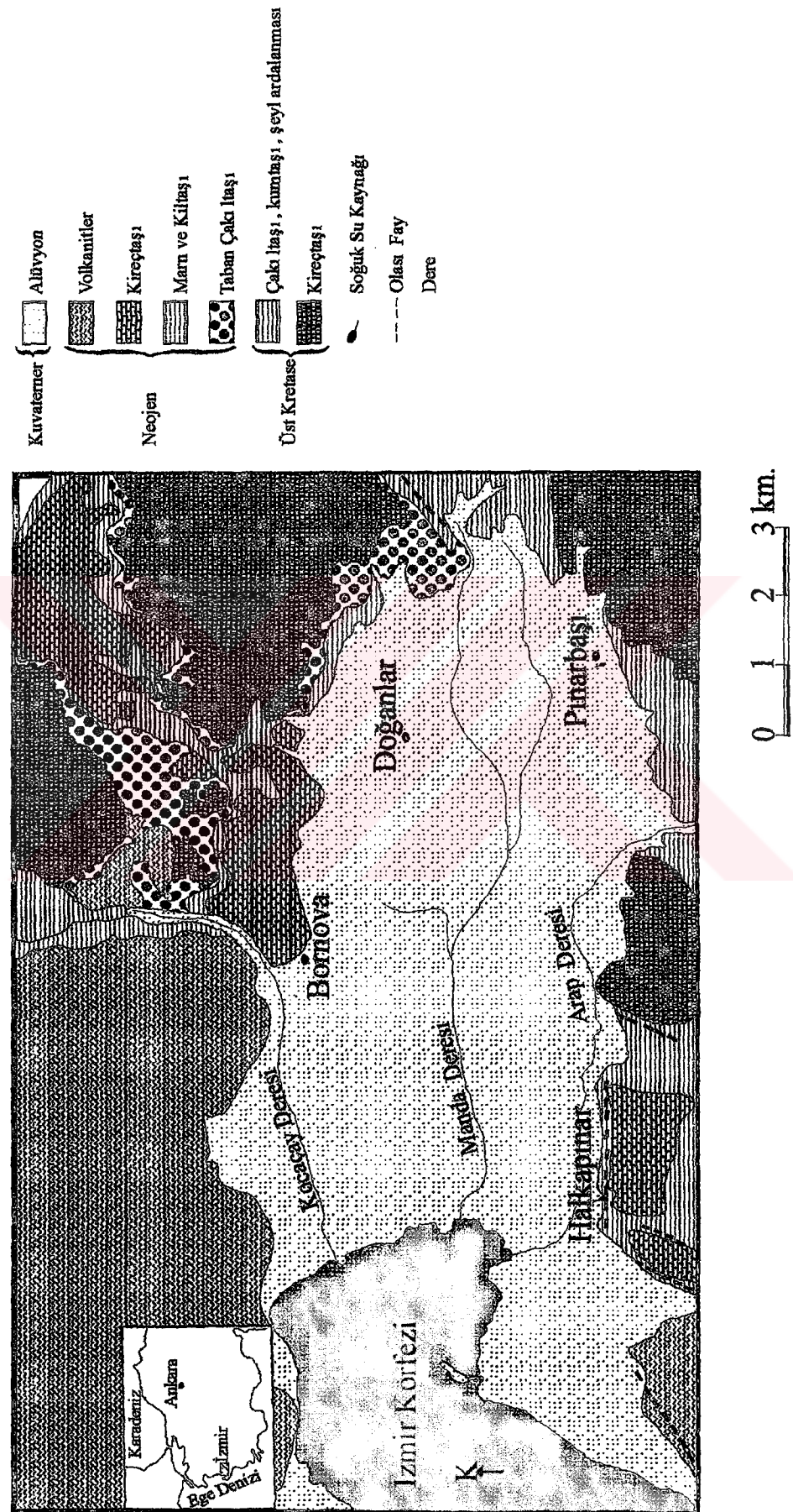
Yaş	Formasyon	Litoloji Kesiti	Hidrojeolojik Özellikler
Tersiyer	Kuvaterner	Alüvyon	Akifer
	Miyosen, Pliyosen	Yamanlar Volkanitleri	Akifer
		Kireçtaşı	Akifer
		Marn, Kiltası	Geçirimsiz Birim
		Taban Çakıltaşısı	Yerel Önemli
Kretase	Üst Kretase, Paleosen	Çakıltaşısı, Kumtaşı, Şeyl Ardalanması	Geçirimsiz Birim Kireçtaşları Su İçerir
		Kurudağ Kireçtaşı	Akifer
Jura	Alt Jura	Dolomitik Kireçtaşı	Akifer

Şekil 2.1. Bölgeye Ait Genel Stratigrafik Kesit (Şahinci ve Önal, 1988)

Çakıltaşı-kumtaşı-şeyl ardalanması çalışma alanının doğusu ve güneyinde yaygındır (Şekil 2.2). Birim, çakıltaşı-kumtaşı-şeyl ardalanması ve bunlar içinde gözle-nen büyük kireçtaşları bloklarından oluşur. Bloklar genelde tepelerin zirvelerindedir (Şahinci ve Önal, 1988; Kaya, 1993). Çakıltaşı-kumtaşı-şeyl ardalanmasının yaşı paleontolojik verilere göre Üst Meastriyen-Paleosen olarak saptanmıştır (Konuk, 1977). Üst Kretase yaşı kireçtaşları ve çakıltaşı-kumtaşı-şeyl ardalanmasından oluşan iki birim topluluğu Bornova karmaşığı (Bornova Melanjı) olarak isimlendirilmektedir (Erdoğan, 1990; Koca ve Türk, 1995).

Neojen yaşı kayaç topluluğuda; Bornova karmaşığı ile alttan, Kuvaterner yaşı alüvyon ile üstten uyumsuzdur ve bölgede yaygındır. Kayaç topluluğu volkanitler, taban çakıltaşları, marn, kiltası ve kireçtaşları içerir (Tunalı, 1980; Şahinci ve Önal, 1988; Kaya, 1993) (Şekil 2:1). Volkanitler Bornova'nın kuzeyinde gözlenmektedir (Şekil 2.2). Andezit, aglomera, andezitik tuf ve otobreş içermektedir (Kaya, 1993; Koca ve Türk, 1995). Taban çakıltaşları açık sarı ve beyaz renklidir. Bunların üzerinde uyumlu bulunan kireçtaşları bol kıraklı ve çatlaklıdır (Tunalı, 1980).

Çalışma alanının en genç birimi Neojen ile uyumsuz dokanağa sahip alüvyondur (Şekil 2.1). Geniş yayılımı gözlenen (Şekil 2.2) alüvyon İzmir Körfezi'ne boşalan akarsulardan türemiştir (Kaya, 1993). Alüvyon blok, çakıl, kum, kil ve silt boyu malzeme içermektedir (Tunalı, 1980; Şahinci ve Önal, 1988). Alüvyonun kalınlığı ovanın orta kesimlerinde ortalama 100m güneyde ise 250m olmaktadır. Doğu yönünde ise azalarak birkaç metreye düşmektedir (Tunalı, 1980).



Şekil 2.2. Bölgenin Jeoloji Haritası (Şahinçi ve Önal, 1988)

2.2 Hidrojeoloji

Bornova Havzası'nın yaklaşık 200 km^2 lik beslenme alanına (Şekil 2.2) düşen yağış ile beslenmektedir (Filiz, 1993). Yağışın bir kısmı akarsular ile yüzey akış halinde körfeze boşalmaktadır. Bölgedeki Kocaçay Deresi, kuzeyde Yamanlar Dağından havzayı geçerek Bayraklı civarında İzmir Körfezi'ne boşalmaktadır (Tunalı, 1980). Havzada bulunan diğer iki önemli dere, güneyde Kurudağ batısından gelen Arap Deresi, ve doğuda Kemalpaşa Dağı ile Kurudağ arasındaki alanın sularını körfeze boşaltan Manda Çayıdır. Bu üç akarsu ovada üç büyük birikinti konisi oluşturur.

Derelerin hidrogeomorfolojik özellikleri gereği, kaba taneli tortullar ovanın doğusunda depolanmaktadır, ince taneli tortullar ise İzmir Körfezi'ne daha yakın olan alanlara taşınmaktadır (Kayan, 2000). Hidrogeomorfolojinin oluşumunda iki etki önemlidir. Bunlardan neotektonik etki, Miosen ve sonrası tektonizmadır. Günümüzde Batı Anadolu'yu karakterize eden Horst-Graben morfolojinin oluşmasını sağlamıştır (Tunalı, 1980; Kayan, 2000). Bornova Ovası da çöküntü (graben) havzası içinde, İzmir Körfezi'nin doğusunda yer almaktadır. Diğer etki ise hidroloji ile ilgilidir. Yağış ile akışa geçen Kocaçay Deresi, Arap Deresi ve Manda Çayı kaba taneli malzemeyi ovanın doğu ucunda, ince taneli malzemeyi ise heterojen olarak ova tabanına taşımaktadır (Kayan, 2000).

Yukarıda açıklanan etkilere bağlı oluşan Kuvaterner alüvyon çalışma alanında akifer olarak kabul edilen birimdir. Tane boyunun alüvyonda heterojen dağılımı bölgedeki yağış rejiminde, ortalama değerden büyük sapmaların olmasıyla ilişkilidir. İzmir çevresindeki ortalama yağış 700mm olmasına rağmen bir ay içerisinde 500 mm , bir günde 130mm yağış bölgeye düşebilmektedir (Kayan, 1999). Bu farklılık, dereler ile taşınan ve ovaya yayılan malzemenin tane boyutunu etkilemektedir. Devlet Su İşlerinin (D.S.I) 1968 yılındaki rezerv raporundan alınan jeolojik kesit heterojenliği ve buna bağlı olarak alüvyondaki iki farklı akiferin varlığını göstermek için kullanılmıştır (Şekil 2.3).



Şekil 2.3. İnceleme Alanının K-B Doğrultulu Jeolojik Kesiti (DSİ, 1968)

İki farklı akiferin niteliği hakkında literatürde değerlendirmeler bulunmaktadır (Camp, 1971; Çongar, 1979; Tunalı, 1980; Şahinci ve Önal, 1988; Türkman, 1981). Camp'e, (1971) göre bölgede iki farklı serbest akifer bulunmaktadır; Şahinci ve Önal'a (1988) göre ise alüvyonun üst seviyesinde kıl içeriği çakıl malzeme düşük verimli serbest akifer, örtü malzeme olan; killi seviyenin altında bulunan daha iri malzeme (killi kum, killi çakıl, kum ve çakıl) ise, verimi yüksek yarı basınçlı akiferdir. Şekil 2.3'de görüldüğü gibi 2. akiferi örten killi birimin altında basınçlı özelliği göstermesine rağmen ovanın batı kesimlerinde ise serbest akifer niteliğindedir. 1. akifer ise serbest akifer özelliği göstermektedir. Akifer niteliğindeki bu değişkenlik Kayan'a, (2000) göre ovanın tipik bir delta düzlüğü olmamasıdır (Şekil 2.3).

Alüvyon tortullar ile dokanağı olan Neojen yaşılı kireçtaşları volkanitler ve Üst Kretase yaşılı Kurudağ kireçtaşı birimi de akifer olarak değerlendirilmektedir (Çongar, 1979; Tunalı, 1980; Türkman, 1981; Şahinci ve Önal, 1988). Volkanitler çatlaklı akifer niteliğindedir. Tabanında bulunan tüfler geçirimsiz seviye oluşturmaktadır ve tuf üzerindeki çatlaklı akifer olan andezit dokanağında kaynaklar bulunur. Bornova ve Şaşal memba suları da Neojen volkanitlerinden boşalmaktadır (Şahinci ve Önal, 1988). Üst Kretase yaşılı kireçtaşları karstiktir. Sızulen yağış suları karstlaşma ile gelişen kırıklar boyunca sızılır. Pınarbaşı kaynakları da bu akiferden boşalmaktadır (Türkman, 1981, Şahinci ve Önal, 1988). D.S.İ. 1970'li yıllarda Pınarbaşı kaynaklarını şehrin artan su ihtiyacını karşılamak amacıyla, alüvyonun yapay beslenmesinde kullanılmıştır (Alpaslan, 1974). Su ihtiyacı için kullanılan diğer bir karstik kaynak Halkapınar kaynağı'dır. Çalışma alanının güney doğusunda gözlenen Neojen yaşılı kireçtaşlarından boşalmaktadır. Şehirde 1971-1972 yıllarında görülen kuraklık nedeni ile 1972-1973 yıllarında yeni kuyular açılarak kaynak geliştirilmiştir (Çongar, 1979). Karstik kaynakların kullanılması ve geliştirilmesinin nedeni şehirleşmeye bağlı gelişen, ovadaki aşırı çekim sorunudur. Alüvyonun yıllık emniyetli verimi $18 \cdot 10^6 \text{ m}^3/\text{yıl}$ olarak hesaplanmıştır (Çongar, 1979). 1968 yılında ovadaki tüm kuyulardan çekim $12 \cdot 10^6 \text{ m}^3/\text{yıl}$ 'dır (Koç ve diğerleri, 1968) fakat 1970 yılında D.S.İ tarafından yapılan değerlendirmede kuyulardan toplam boşalımın emniyetli verimin üzerinde $25 \cdot 10^6 \text{ m}^3/\text{yıl}$ olduğu belirlenmiştir (Tunalı, 1980). Bu sebeplerle ovada aşırı çekim ve buna bağlı deniz suyu girişimi bir kirlilik problemidir.

(Türkman, 1981). Yapay besleme yapılmasına rağmen çalışma alanındaki yeraltı suyu seviyesi düşüşlerinin devam ettiği Tunalı (1980) tarafından ifade edilmiştir.

Bölüm 3

HİDROJEOKİMYA

3.1 Hidrojeokimyada Kullanılan Derişim Birimleri ve Doygunluk İndeksi

Bu bölümdeki teorik bilgiler Tarcan (2003) den aynen alınmıştır. Bu nedenle orada belirtilen denklem numaraları da aynen kullanılmıştır. Suların hidrojeokimyasal değerlendirilmesi için çözünmüş iyon ve bileşiklerin termodinamik davranışlarının bilinmesi gereklidir. Tüm çözeltilerde olduğu gibi jeotermal akışkanların içindeki bir bileşigin termodinamik hareketi ise bu bileşigin derişimi (konsantrasyonu) yerine etkinliğiyle belirlenmektedir. Çözünmüş bir iyon veya bileşigin etkinliğini laboratuvara ölçmek olası değildir. Laboratuarda kimyasal analiz sonucunda ölçülen iyon ve bileşikler çoğu kez litrede miligram (mg/l), 1 kilogramda miligram (mg/kg), milyonda bir kısım ($\text{ppm} = \text{part per million}$) olarak belirlenir. Sulu çözeltilerde bu derişim birimleri yaklaşık özdeştir. Bir çok hidrojeokimyasal değerlendirme çözünmüş her bir iyonun eş değer ağırlığının (mili ekivalan değerinin= mek/l) ve yüzdelerinin belirlenmesi ile molaritelerinin (su için molalite=molarite) hesaplanması ile yapılmaktadır. Kısaca mek/l ve M olarak belirtilen bu kavramlar

$$\text{mek/l} = C_i/P_i/Z_i \quad (1)$$

$$\text{molarite de } M_i = C_i/P_i \times 1000 \quad (2)$$

denklemleriyle tanımlanır. Bağıntılardaki simgeler aşağıda belirtilmiştir.

C_i = Her bir iyonun derişimi (mg/l , mg/kg veya ppm)

P_i = Her bir iyonun formül gram ağırlığı

Z_i = Her bir iyonun değerliği (+ veya - yük sayısı)

Bir iyonun etkinliği (a_i)

$$a_i = M_i \times \gamma_i \quad (3)$$

(γ_i = iyon etkinlik katsayısı) bağıntısıyla hesaplanır.

İyon etkinliği çözeltideki iyonların tepkimelerdeki hareketinin miktarını açıklamaktadır. Sudaki iyonun analiz derişiminin gerçek derişime dönüştürül-

mesinin bir ifadesidir. Laboratuvara analiz edilen değerler o iyon veya bileşigin gerçek görünümünü yansitmazlar. Bu nedenle mg/l ve benzeri analiz derisim birimleri iyonun görünür (zahiri) derisimini, iyon etkinliği ise gerçek derisimini tanımlamaktadır. İyon etkinlik katsayısı (γ_i) derisimin gerçek değerlerden sapmasının bir ölçüsüdür ve tuzluluk ile yakın ilişkilidir. Seyretilik çözeltilerde etkinlik katsayısı 1'e eşit olup, tuzluluk arttıkça etkinlik katsayısı da 1' den farklı (daha düşük) değerler alır. Tuzlulukla ilişkili termodinamik bir terim olan İyonlaşma Gücü veya İyonik kuvvet (I) (Ionic strength);

$$(I)=0.5 \sum C_i Z_i^2 \quad (4)$$

(C= her bir iyonun molarite olarak derisimi, Z_i = Her bir iyonun değerliği) bağıntısıyla tanımlanır.

Seyretilik suların iyonlaşma güçleri düşük, derişik sularısa yüksek degerdedir. Örneğin deniz sularının iyonlaşma gücü 0.7 (mol) civarında iken, seyretilik tatlı sular (göl suyu, akarsu, yeraltı suyu vb) 0.003 - 0.01 (mol) gibi değerler alabilmektedirler. Çözünmüş bileşiklerin iyon etkinlik katsayılarının (γ 'nın) hesabı için iyonlaşma gücü 0.1 ile 0.5 arasında değişen derişik sularda;

$$\text{Davies Bağıntısı:} (\log \gamma_i = -A Z_i^2 (I^{0.5} / 1 + I^{0.5} - 0.2 I)) \quad (5)$$

kullanılır. 0.5' den yüksek olan aşırı derişik sularda ve salamuralarda Pitzer denklemleri kullanılmalıdır. Ancak hidrojeolojik incelemelerin çoğu konusunu oluşturan sular genellikle 0.5'den düşük iyonlaşma gücüne sahiptir. Deniz suyu bu sınırın biraz yukarısında kaldığından zaman zaman deniz suyu için de Davies bağıntısı kullanılabilir. İyonlaşma gücü (molarite olarak) 0.1 den düşük olan tüm diğer sularda

$$\text{Debye-Hückel Bağıntısı:} (\log \gamma_i = -A Z_i^2 I^{0.5} / 1 + Br_o I^{0.5}) \quad (6)$$

kullanılır. 5 ve 6 no'lu bağıntılardaki A ve B sabitleri sıcaklık ve basınçla bağlı parametreler olup, yapılan hesaplamalarda suların sıcaklıklarına uygun parametreler kullanılmalıdır. Örneğin 20°C sıcaklıklı sular için A=0.505, B=0.3276 olarak alınmalıdır A ve B katsayılarının çeşitli sıcaklıklara göre değişimi şu şekildedir (Helgeson vd., 1981).

t°C	A	B	t°C	A	B	t°C	A	B
0	0.4913	0.3247	100	0.5998	0.3422	200	0.8099	0.3655
10	0.4976	0.3261	110	0.6158	0.3443	210	0.8387	0.3681
20	0.5050	0.3276	120	0.6328	0.3465	220	0.8697	0.3707
30	0.5135	0.3291	130	0.6507	0.3487	230	0.9030	0.3734
40	0.5231	0.3307	140	0.6697	0.3510	240	0.9391	0.3762
50	0.5336	0.3325	150	0.6898	0.3533	250	0.9785	0.3792
60	0.5450	0.3343	160	0.7111	0.3556	260	1.0218	0.3822
70	0.5573	0.3362	170	0.7336	0.3580	270	1.0699	0.3855
80	0.5706	0.3381	180	0.7575	0.3605	280	1.1238	0.3889
90	0.5848	0.3401	190	0.7829	0.3629	290	1.1850	0.3926

Hidratlaşma yarıçapı olan r_0 ise K^+ ve Cl^- için 3, Na^+ , HCO_3^- ve SO_4^{2-} için 4, CO_3^{2-} için 4.5, Ca^{++} için 6 ve Mg^{++} için 8 olarak alınmalıdır.

Suların kimyasal analizlerinde yapılabilecek hatalar anyon katyon dengesinden

$$e = ((\Sigma \text{Katyon} - \Sigma \text{Anyon}) / \Sigma \text{iyon}) \times 100 \text{ (mek/l)} \quad (7)$$

bağıntısıyla hesaplanabilir. Pozitif değerler katyon fazlalığını, negatif değerler ise anyon fazlalığını gösterir. Hata yüzdesinin genellikle % 5' den düşük olması istenir. Ancak suların analizi sırasında yapılan hatalar dışında da bu oran bazen (özellikle seyreltik sularda) % 5' den yüksek olabilir. Bu durumda sularda analizi yapılmamış olan iyon türlerinden bazılarının suda baskın olduğu yorumu yapılabilir (Ford ve Williams, 1989).

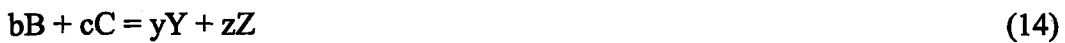
Suların mineral doygunlukları su içindeki iyonların ve minerallerin Gibbs serbest enerjileri (ΔG°) ile iyon etkinliklerinin bilinmesi ile ilişkilidir. Su içindeki kimyasal bir tepkimenin Gibbs serbest enerjisi (ΔG°) ile tepkimedeki iyon veya bileşiklerin derişimleri arasındaki ilişki aşağıdaki global denklemle yazılabilir.

$$\Delta G^\circ = -RT \ln K \quad (12)$$

Bağıntıdaki; R, gazların sabiti (0,001987 kcal/mol), T, sıcaklık derecesi (Kelvin), ln doğal logaritma ve K, tepkimenin denge sabitidir. (12) bağıntısı hidrojeokimyada oldukça önemli bir yer tutar. Çünkü kimyasal tepkimelerin serbest enerjileri bilinirse kimyasal denge sabitleri, çözünmüş iyonların çökelebilme özellikleri, iyon değişimi ve kimyasal bozunum şekilleri önceden tahmin edilebilir. Standart koşullarda kimyasal tepkimelerin standart serbest enerji değişim miktarları tepkime sonu ortaya çıkan maddelerin serbest enerjileri toplamları ($\Sigma\Delta G^{\circ}_{ts}$), ile tepkime başlangıcındaki maddelerin toplam serbest enerjileri ($\Sigma\Delta G^{\circ}_{tb}$) farkına eşittir.

$$\Delta G^{\circ} = \Sigma\Delta G^{\circ}_{ts} - \Sigma\Delta G^{\circ}_{tb} \quad (13)$$

Standart koşullarda herhangi bir kimyasal tepkime şu şekildedir.



Denge sabiti ile tepkime bileşenlerinin derişimleri arasındaki ilişki (14) tepkimeye giren maddelerin iyon etkinlikleri toplamı ile tepkimeden çıkan maddelerin iyon etkinlikleri toplamı dikkate alındığında aşağıdaki şekilde gelişir.

$$K = (aY)^y (aZ)^z / (aB)^b (aC)^c \quad (15)$$

Denklemde a ilgili iyonun etkinliğini (etkin derişimini) tanımlar ve

$$a = \gamma C \quad (3)$$

ile tanımlanır; Bu denklemde de γ iyon etkinlik katsayısını, C ise molalite olarak iyon derişimini belirtir. (15) no'lu denklem (12) no'lu denklemde yerine konulduğunda

$\Delta G^{\circ} = -RT \ln [(aY)^y (aZ)^z / (aB)^b (aC)^c]$, denklemde ilgili parametreler (standart koşullarda) yerine konur ve ondalık logaritmaya çevrilirse;

$$\log K = -\Delta G^{\circ} / 1,3641 \quad (16)$$

$$\log [(aY)^y (aZ)^z / (aB)^b (aC)^c] = -\Delta G^{\circ} / 1,3641 \quad (17)$$

denklemi elde edilir. Bu denklemde tepkimeye giren ve çıkan maddelerin dengede olması durumunda eşitliğin her iki yanı birbirine eşittir. Denge durumunun değişmesi ile eşitlik bozularak, tepkimeye girenler veya çıkanlar yönünde değişecektir. Bu yönün tahmin edilmesi mineral doygunluğu hesaplamalarının temelini oluşturmaktadır.

Buradan yola çıkılarak doygunluk indeksi (D^I) (saturation index = SI) kavramı geliştirilmiştir.

$$D^I = \log [(aY)^y (aZ)^z / (aB)^b (aC)^c] / (-\Delta G^\circ / 1,3641) = \log (Q/K) \quad (18)$$

Yukarıdaki tepkimede büyük parantez içindeki ifade tepkime oranını (Q) belirtir. Tepkime denge sabitine benzer, farkı tepkimenin dengede olmayabilirliğidir. Tepkimedeki (14 eşitliğinden) mineral (katı faz) bileşik olarak yazıldığında (bütün katılıların iyon etkinlikleri 1 kabul edilir) denge sabiti $K = (aY)^y (aZ)^z$ (tepkimeden çıkan maddelerin iyon etkinlikleri toplamı =AP) olacağından (18) no'lu denklem de şekilde gelişecektir.

$$D^I = \log [(aY)^y (aZ)^z] / (-\Delta G^\circ / 1,3641) = \log (AP/K) \quad (19)$$

Özetle, D^I (SI) $\log (Q/K)$ veya $\log (AP/K)$ şeklinde de gösterilebilen logaritmik bir kavramdan oluşur. Her mineral için özellikle sıcaklık ve kısmen de basınçla değişen değerler içerir. Termodinamik yöntemlerle hesaplanan mineral doygunluk indeksi sonuçları aşağıdaki gibi yorumlanır.

$D^I (\log Q/K) = 0$ ise Su ilgili mineral ile dengededir (doygundur)

$D^I (\log Q/K) > 0$ ise Su ilgili mineralle aşırı doygundur (mineral çökeltici özelliktidir)

$D^I (\log Q/K) < 0$ ise Su ilgili mineralle doygun değildir (minerali çözündürücü özelliktidir)

Bu anlatılan mineral doygunluk indekslerinin hesaplanması suların üretim ve iletimi aşamasında olabilecek olası çökellerin önceden tahmin edilmesi üretim ve malzeme kaybı olmadan önce alınabilecek önlemler açısından çok önemlidir. Burada sıcak suların kabuklaşma ve korozyon özelliklerinin tahmini için en çok rastlanılan çökel minerallerinin doygunluk hesaplarının yapılması örnek olarak verilmiştir. CO_2 kısmının atmosfer kısmından ($10^{-3.5}$ atm.) daha yüksek olması durumunda su çökeltici ve gaz çıkartıcı özelliğe sahip olarak yorumlanabilir. Kalsit, dolomit, jips doygunluk indeksleri ve CO_2 kısmının değerleri literatürdeki ilgili

kimyasal bağıntıların düzenlenmesiyle oluşturulan aşağıdaki bağıntılarla hesaplanabilir (Tarcan, 2003). Doygunluk indeksi olarak gibi DI yerine SI simgesi kullanılmıştır.

$$SI_C = \log \left[\frac{(aCa^{++})(aHCO_3^-)K_2}{K_C \cdot 10^{-pH}} \right] \text{ (Kalsit doygunluk indeksi)} \dots \dots \dots (20)$$

$SI_D = \log [(aCa^{++})(aMg^{++}) (aHCO_3)^2 (K_2)^2 / K_D \cdot 10^{-2pH}]$ (Dolomit doygunluk indeksi) (21)

$$SI_j = \log [(a\text{Ca}^{++})(a\text{SO}_4^{-}) / K_j] \quad (\text{Jips doygunluk indeksi}) \quad (22)$$

$$-\log P_{CO_2} = \log [(10^{-pH}) (aHCO_3^-) / (K_1) (K_{CO_2})] \text{ (CO}_2 \text{ kismi basinci, atm. olarak.)}$$

Bağıntılarda a iyon etkinliğini, K ise termodinamik denge sabitini yansıtır.

$$\frac{(aH^+)(aHCO_3^-)}{(aH_2CO_3)} = K_1 = 10^{-6.4} \text{ (Karbonik asit için)} \quad (24)$$

$$(aH^+) (aCO_3^{=}) / (aHCO_3^{-}) = K_2 = 10^{-10.3} \text{ (Bikarbonat icin)} \quad (25)$$

$$(a\text{Ca}^{++})(a\text{CO}_3^{-})/(a\text{CaCO}_3) = K_C = 10^{-8.4} \quad (\text{Kalsit icin}) \quad (26)$$

$$(a\text{Ca}^{++})(a\text{Mg}^{++})(a\text{CO}_3^{-})^2 / [a\text{CaMg}(\text{CO}_3)_2] = K_D = 10^{-17} \text{ (Dolomit icin)} \quad (27)$$

$$(a\text{Ca}^{++})(a\text{SO}_4^{-}) / a\text{CaSO}_4 = K_i = 10^{-4.6} \quad (\text{jins icin}) \quad (28)$$

$$(aH_2CO_3) / P_{CO_2} = K_{CO_2} \approx 10^{-1.46} \text{ (Karbondioksit icin)} \quad (29)$$

Yukarıda kısaca özetlenen hidrojeokimyasal özellikler ve mineral doygunluklarının hesaplanması inceleme alanı içindeki tüm sular için tek tek hesaplanarak, Excel yazılım programına aktarılarak her bir su noktasına ait hidrojeokimyasal özellikler birer sayfalık EK cizelgelerle (EK Cizelgeler, 1-53) gösterilmiştir.

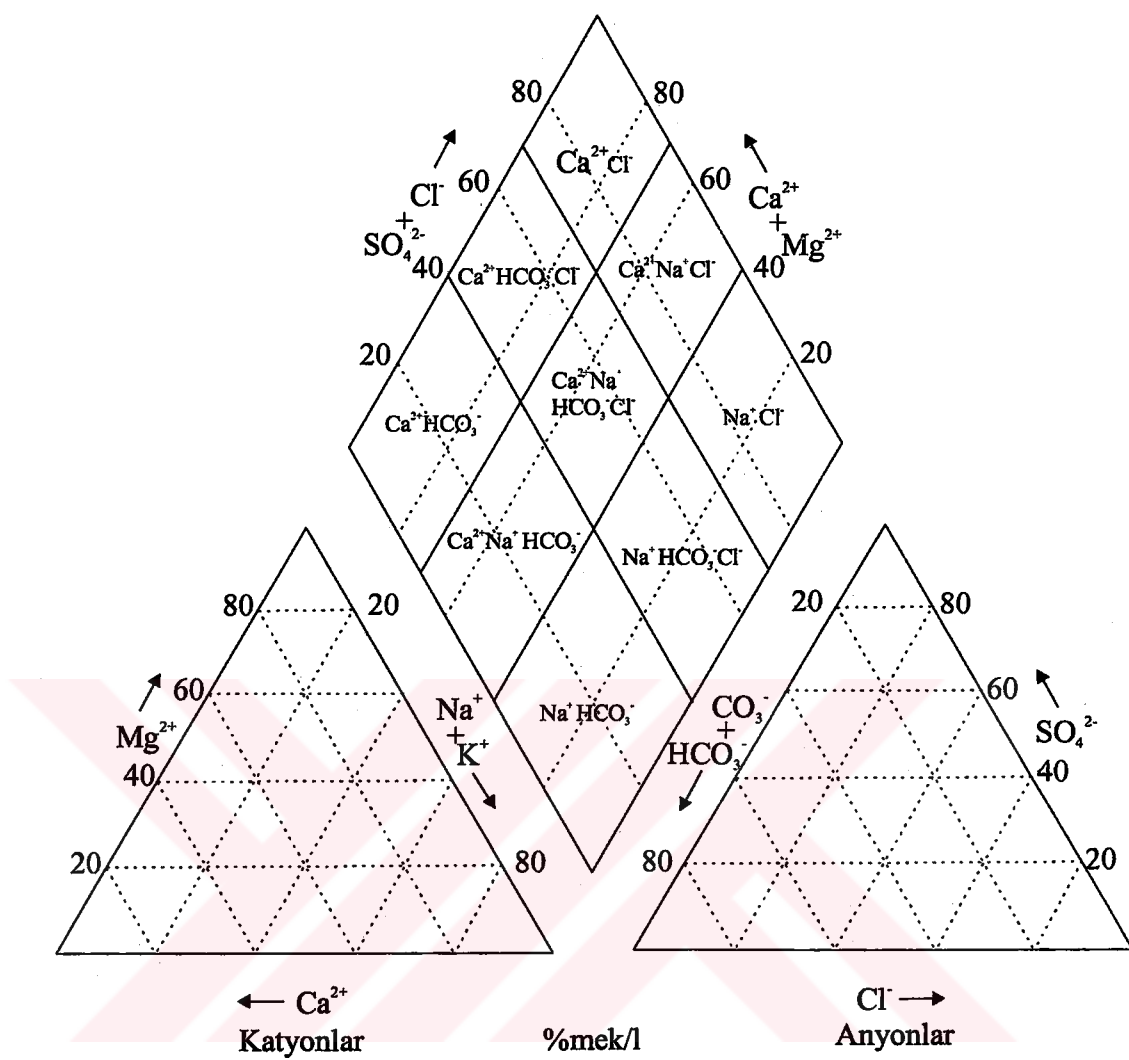
Çalışma alanındaki suların çoğunuğu kasite ve dolomite doygundur. Genel olarak bölgede bu nedenle kalsit çökelimi su tesisatları ve kuyu ekipmanlarında gözlenebilir. Su kalitesi açısından, çalışma alanının genelinde kirlenebilirlik derecesi açısından değişiklik göstermeyen çökelme eğilimi bulunmaktadır.

3.2 Yeraltı Sularının Sınıflanması

Suların kimyasal sınıflaması yeraltı sularının hareket ettiği jeolojik ortamı başka bir ifade ile kökeni belirlemek için faydalıdır (Şahinci, 1991). Sınıflama yalnızca köken belirtmemekte, suyun kullanım amacına uygun olarak geliştirilmiş sınıflan-

dirmalar da mevcuttur (Hem, 1989; Şahinci, 1991). Yeraltı suyunun kökeni veya hidrokimyasal fasiyesin belirlenmesinde ana iyon derişimlerinden miktarda yüksek olanlar kullanılmaktadır. Ana iyon derişimleri katyonlar olarak Ca^{2+} , Mg^{2+} , Na^+ , K^+ , anyonlar olarak HCO_3^- , SO_4^- , Cl^- dür (Deutsch, 1997). Fasiyesi belirlemek için derişim değerlerini grafik olarak gösteren pek çok yöntem vardır (Hem, 1989; Şahinci, 1991). Bunlardan yaygın kullanılan Piper (Piper, 1944) ve Schoeller (Schoeller, 1955) diyagramları çalışmada başvurulan hidrojeokimyasal grafik yöntemleridir.

Piper'in geliştirdiği diyagramda mek/l değerleri kullanılarak anyon ve katyon üçgen grafiklerde su örneklerinin derişim değerlerine göre yerleştiği noktalar bulunur ve noktalar paralel kenar diyagrama taşınarak kesiştiği nokta belirlenir. Paralel kenar diyagramda farklı alanlar baskın iyon miktarına göre kısımlara ayrılmıştır (Şekil 3.1) ve fasiyesi belirlmektedir. Akifer içerisinde fasiyes değişimi ise litoloji değişimi, kirli suların karışımı, deniz suyu girişimi, vb. nedenlerden dolayı olabilir (Deutsch, 1997).



Şekil 3.1 Piper Diyagramı (Deutsch, 1997)

3.3 Yeraltı Sularının Kalitesi ve Kullanma Kriterleri

Yeryüzündeki sular hiçbir zaman saf halde bulunmaz, az yada çok erimiş yada asılı maddeleri kapsar. Bu maddelerin türü ve miktarı suların kalitesini karakterize eder.

Yeryüzünde ve yeraltıda bulunan sular çeşitli amaçlar için kullanılmakta, sulama ve endüstride de bu sulardan yararlanılmaktadır. Suların bu tür amaçlarda kullanılması için verimi kadar fiziksel, kimyasal ve bakteriyolojik özelliklerinin bilinmesi ve

kullanmada her bir iş için bu özelliklerin belli sınırları aşmaması gereklidir. Bundan dolayı suların kullanılacakları yerlere ve işlere göre standartları yapılmıştır (Erguvanlı ve Yüzer, 1973).

Tablo 3.1, Türk Standartları Enstitüsünün (T.S.E) 1997 yılında yayınladığı TS266 olarak bilinen standardıdır. Bu sınıflama, çalışmada kullanılan hidrojeokimyasal verilerin değerlendirilmesinde kullanılmıştır.

3.4 Su Örneklerine Ait Fiziksel ve Kimyasal Özelliklerin Değerlendirilmesi

Tunalı (1980); Türkman (1981); Barlak ve Tarcan (1998); Köseoğlu ve Tarcan (1998) ve yazar tarafından elde edilen sonuçların alındığı örnekleme noktalarını gösteren harita Şekil 3.2'de verilmiştir.

Örnekleme noktalarının kimyasal analiz sonuçları Tablo 3.2'de ve Ek'te verilmiştir. Tunalı'nın (1980) elde ettiği sonuçlara göre, pH değerleri 7.2-7,9 arasında, elektriksel iletkenlik değerleri, $421\text{-}701\mu\text{S}/\text{cm}$ arasında değişmektedir. Türkman'ın (1981) elde ettiği sonuçlara göre, pH değerleri 6.9-7,6 arasında, elektriksel iletkenlik değerleri, $256.88\text{-}679.5\mu\text{S}/\text{cm}$ arasında değişmektedir. Barlak ve Tarcan'ın (1998) ile Köseoğlu ve Tarcan'ın (1998) elde ettiği sonuçlara göre, pH değerleri 6.9-7,7 arasında, elektriksel iletkenlik değerleri, $180\text{-}1480\mu\text{S}/\text{cm}$ arasında değişmektedir. Baba ve diğerlerinin (2001) elde ettiği sonuçlara göre pH değerleri 6.6-7,7, elektriksel iletkenlik değerleri, $558\text{-}1142\mu\text{S}/\text{cm}$ arasında değişmektedir. Yazanın elde ettiği sonuçlara göre ise de pH değerleri 6.8-7,6, elektriksel iletkenlik değerleri, $398\text{-}3120\mu\text{S}/\text{cm}$ arasında değişmektedir. Dikkat edilirse zamana bağlı olarak elektriksel iletkenlik değerleri artış göstermektedir. Bu durum bölgedeki sanayi ve şehirleşmeye ilgili olarak ve/veya deniz suyu girişimine bağlı olarak açıklanabilir.

Tunalı'nın (1980) elde ettiği sonuçlar TS 266'ya göre değerlendirilirse, sıcaklıklar müsaade edilebilen sıcaklık değerinin altındadır ve Sınıf 1 olarak değerlendirilir. pH, Ca^{2+} , Cl^- , Mg^{2+} , Na^+ , K^+ değerleri de müsaade edilen değerleri aşmamaktadır. SO_4^{2-}

değerinin örnekler içerisinde maksimum değeri 428.44mg/l'dir ve müsaade edilen değerleri aşmıştır. Diğer yıllara ait verilerde bu derece büyük sülfat derişimi gözlenmediği için bu değer akiferin tümünü değerlendirmede dikkate alınmamıştır, noktasal önemi vardır.

Türkman'a (1981) ait veriler pH, Ca^{2+} , Cl^- , Mg^{2+} , Na^+ , K^+ , SO_4^{2-} değişkenlerinin tüm değerleri için TS 266 sınıflamasında müsaade edilen değerleri aşmamıştır, sular Sınıf 1 olarak değerlendirilmektedir.

Barlak ve Tarcan (1998) ile Köseoğlu ve Tarcan'ın (1998) elde ettiği sonuçlara göre; pH, Ca^{2+} , Cl^- , Mg^{2+} , Na^+ , K^+ , SO_4^{2-} değişkenlerinin tüm değerleri TS 266 sınıflamasında müsaade edilen değerleri aşmamıştır, sular Sınıf 1 olarak değerlendirilmektedir.

Baba ve diğerleri'nin (2001) elde ettiği sonuçlara göre, pH, Ca^{2+} , Cl^- , Mg^{2+} , Na^+ , K^+ , SO_4^{2-} değişkenlerinin tüm değerleri TS 266 sınıflamasında müsaade edilen değerleri aşmamıştır, sular Sınıf 1 olarak değerlendirilmektedir.

Yazara ait sonuçlara göre de pH, Ca^{2+} , Cl^- , Mg^{2+} , Na^+ , K^+ , SO_4^{2-} değişkenlerinden Na^+ , Ca^{2+} , Mg^{2+} maksimum değerleri müsaade edilen derişim değerlerini aşmıştır.

Zamana göre değişim incelenirse, pH değerleri aralığında anlamlı bir değişim yoktur. Deniz suyu girişimi açısından değerlendirme yapılmak istenirse; Na^+ maksimum değerleri zaman içerisinde referans sırasına göre, eskiden yeniye doğru 89,66; 31,50; 162,00; 71,80; 425,44mg/l şeklinde değişmektedir. Cl^- maksimum değerleri de aynı şekilde referans sırasına göre; 151,74; 46,80; 121,00; 103,00; 460,00mg/l şeklinde değişmektedir. Mg^{2+} maksimum değerleri de zaman içerisinde referans sırasına göre, eskiden yeniye doğru 48,62; 21,27; 48,98; 38,6; 63,18mg/l değişimini göstermektedir. Genel anlamda iyonlardaki artış deniz suyu girişiminin artışı olarak değerlendirilebilir. TS 266'ya göre, yazara ait Na^+ , Ca^{2+} , Mg^{2+} maksimum değerlerinin müsaade edilen derişim değerini aşması zaman içerisinde yeraltı suyu kalitesinde bozulma olduğunu ve şehirleşmeye bağlı aşırı çekim ve/veya sanayi tesislerinin var-

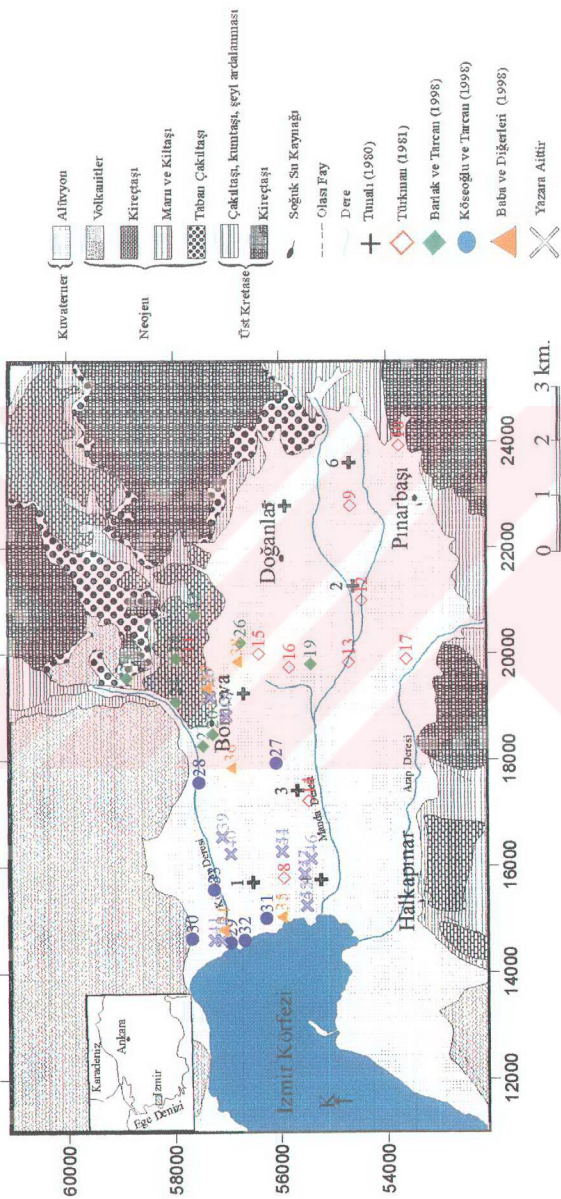
lığı ile ilgili olduğunu düşündürmektedir, çünkü zaman içerisinde bölgede şehirleşme ve sanayileşme artış göstermiştir.

Tablo 3.1 Suların Fiziko Kimyasal Özelliklerine Sınıflaması (T.S. 266)

Özellik	Sınıf 1		Sınıf 2
	Tavsiye Edilen Değer	Müşade Edilebilecek	Müşade Edilebilecek Maximum Değer
Sıcaklık °C	12	25	25
pH	6.5-8.5	6.5-9.2	6.5-8.5
Renk mg/l (Pt-Co Skalası)	1	20	1
Bulanıklık	5 birim	25 birim	5 birim
İletkenlik ¹⁾ 20°C'de µS/cm		2000	650
Klorürler ²⁾ (Cl), mg/l	25	600	30
Serbest klor (Cl ₂), mg/l	0.1	0.5	
Sülfatlar (SO ₄), mg/l	25	250	25
Kalsiyum (Ca), mg/l	100	200	100
Magnezyum (Mg), mg/l	30	50	30
Sodyum (Na), mg/l	20	175	20
Potasyum (K), mg/l	10	12	12
Alüminyum (Al), mg/l	0.05	0.2	0.2
Kurutma Kalıntısı 80°C'de kurutuluktan sonra, mg/l		1500	500

1) Sudaki mineral, madde içeriğinin bir göstergesidir. ohm/cm cinsinden karşılık gelen değer 2500'dür.

2) Yaklaşık 200m/l üzerindeki derişimde olumsuz tesirler meydana gelebilir.



Şekil 3.2 Örneklemle Noktası Haritası (Jeoloji haritası Şahinçi ve Onal' dan (1988) alınmıştır)

Tablo 3.2 Çalışma Alanına Ait Yeraltı Sularının Kimyasal ve Fiziksel Özellikleri

Örnek No	Koordinatlar (X/Y)	Tarih	T (°C)	pH	EC (µS/cm)	Na ⁺ (mg/l)	K ⁺ (mg/l)	Mg ²⁺ (mg/l)	Ca ²⁺ (mg/l)	Cl ⁻ (mg/l)	SO ₄ ²⁻ (mg/l)	HCO ₃ ⁻ (mg/l)	Kaynaklar
1	15704/56513	1979	-	7.9	701	89.60	0.78	24.31	60.12	151.74	428.41	274.54	Tunalı (1980)
2	21273/54611	1979	-	7.2	603	7.82	0.78	36.47	80.16	106.36	7.68	256.23	Tunalı (1980)
3	17424/55667	1979	-	7.7	639	37.24	0.78	24.31	100.20	124.10	6.72	305.4	Tunalı (1980)
4	15747/55232	1979	-	7.6	557	23.90	0.78	12.20	80.16	67.36	7.68	244.03	Tunalı (1980)
5	22789/55878	1979	-	7.7	421	8.74	0.78	24.31	100.20	117.00	4.80	244.03	Tunalı (1980)
6	23602/54679	1979	-	7.5	510	9.20	0.78	48.62	60.12	117.00	5.76	244.03	Tunalı (1980)
7	19254/56672	1979	-	7.4	635	13.33	0.78	12.16	140.28	141.81	4.80	274.54	Tunalı (1980)
8	15788/55397	1981	18	7.5	622	31.45	4.30	18.10	82.00	46.80	18.25	325.17	Türkman (1981)
9	22787/54669	1981	17	7.4	595	11.03	0.78	15.31	97.19	24.11	18.73	323.95	Türkman (1981)
10	23927/53762	1981	16	7.5	523	7.59	1.56	14.10	88.98	13.83	15.85	317.85	Türkman (1981)
11	1989/57708	1981	17	6.9	257	11.72	7.43	10.99	24.45	19.85	15.85	90.90	Türkman (1981)
12	21004/54454	1981	17	7.4	601	8.51	0.78	17.14	106.01	14.89	21.13	378.86	Türkman (1981)
13	19836/54697	1981	17	7.4	640	11.04	1.17	19.93	102.20	25.53	22.57	361.17	Türkman (1981)
14	17228/55464	1981	18	7.6	485	10.11	0.78	15.68	76.15	13.47	15.37	237.35	Türkman (1981)
15	20000/56386	1981	19	7.4	442	8.51	0.78	11.55	71.54	16.31	15.37	248.30	Türkman (1981)
16	19745/55815	1981	18	7.4	552	9.88	0.78	16.04	86.57	26.59	17.29	283.69	Türkman (1981)
17	1989/53627	1981	17	7.4	679	14.02	1.17	21.27	106.21	24.46	19.69	384.96	Türkman (1981)
18	19919/57952	1997	-	6.9	900	57.93	3.13	30.02	80.96	69.84	58.11	342.25	Bartak ve Tarcan (1998)
19	19803/55411	1997	-	7.1	525	19.00	3.00	31.00	47.00	19.00	52.00	305.00	Bartak ve Tarcan (1998)
20	18488/57262	1997	-	7.2	703	34.94	17.20	17.02	83.97	56.02	54.27	317.24	Bartak ve Tarcan (1998)
21	18268/57449	1997	-	6.9	580	28.97	5.86	13.98	71.94	32.97	55.23	305.04	Bartak ve Tarcan (1998)
22	20728/57604	1997	-	7.0	610	14.02	1.17	30.02	82.96	37.93	67.24	328.83	Bartak ve Tarcan (1998)
23	19293/57354	1997	-	7.4	330	26.90	17.20	21.03	59.92	24.82	81.17	317.24	Bartak ve Tarcan (1998)
24	19101/57960	1997	-	7.1	530	25.98	14.86	22.00	55.91	25.88	60.03	305.04	Bartak ve Tarcan (1998)
25	19549/58880	1997	-	7.1	180	8.05	1.96	8.99	21.04	19.85	46.11	84.80	Bartak ve Tarcan (1998)
26	20205/56736	1997	-	7.5	550	16.09	1.96	17.99	67.94	28.01	28.82	328.83	Bartak ve Tarcan (1998)
27	17941/56074	1997	-	7.5	500	19.08	3.13	31.97	48.10	19.85	49.95	292.84	Köseoglu ve Tarcan (1998)
28	17580/57533	1997	-	7.4	550	37.00	8.00	21.00	98.00	43.00	83.00	366.00	Köseoglu ve Tarcan (1998)
29	14571/56947	1997	-	7.4	530	23.91	5.08	12.03	50.90	28.01	25.94	206.82	Köseoglu ve Tarcan (1998)

Tablo 3.2 Devam ediyor...

Örnek No	Koordinatlar (X/Y)	Tarih	T (°C)	pH	EC ($\mu\text{S/cm}$)	Na^+ (mg/l)	K^+ (mg/l)	Mg^{2+} (mg/l)	Ca^{2+} (mg/l)	Cl^- (mg/l)	SO_4^{2-} (mg/l)	HCO_3^- (mg/l)	Kaynaklar
30	14646/57678	1997	-	7,0	1240	94,95	23,07	48,98	106,01	120,89	182,99	353,85	Köseoglu ve Tarcan (1998)
31	15026/56271	1997	-	7,4	1480	162	21,00	39,00	109,00	121,00	203,00	513,00	Köseoglu ve Tarcan (1998)
32	14619/56686	1997	-	7,7	330	20,92	7,04	10,94	41,08	15,95	25,94	220,24	Köseoglu ve Tarcan (1998)
33	15566/57258	1997	-	7,3	710	20,00	5,87	27,96	103,00	69,84	72,04	328,83	Köseoglu ve Tarcan (1998)
34	14803/57086	2001	-	7,0	558	71,80	15,60	27,70	56,40	45,00	83,40	241,60	Baba ve diğerleri (2001)
35	15052/55988	2001	-	6,7	1142	45,00	16,60	38,60	186,80	103,00	169,60	370,90	Baba ve diğerleri (2001)
36	17853/56935	2001	-	6,6	994	56,10	29,30	30,90	138,40	47,00	128,80	483,10	Baba ve diğerleri (2001)
37	19357/57380	2001	-	7,7	736	68,95	4,60	24,80	98,80	88,00	144,40	358,70	Baba ve diğerleri (2001)
38	19855/56804	2001	-	7,6	630	31,90	2,10	9,20	133,20	43,00	62,50	385,50	Baba ve diğerleri (2001)
39	16560/57100	2003	18	6,8	1075	27,00	7,40	29,65	217,60	57,00	172,42	600,24	Yazara aittir
40	16240/56942	2003	19	6,8	1199	30,60	6,70	45,44	211,20	75,00	172,42	639,30	Yazara aittir
41	14620/57255	2003	19	7,2	569	49,50	22,40	25,76	31,60	26,00	43,20	331,80	Yazara aittir
42	14620/57117	2003	22	7,3	755	45,80	10,60	20,41	80,00	104,00	50,20	297,70	Yazara aittir
43	19180/57321	2003	20	7,1	722	39,80	29,90	17,25	99,60	38,00	65,02	429,40	Yazara aittir
44	16280/55972	2003	20	7,0	947	42,10	6,30	23,80	173,90	84,00	154,30	448,20	Yazara aittir
45	15260/55511	2003	19	7,6	421	33,80	4,83	14,09	57,72	24,00	73,70	303,28	Yazara aittir
46	16140/55420	2003	21	7,0	3120	425,40	7,50	63,18	304,20	460,00	150,60	546,35	Yazara aittir
47	15860/55548	2003	18	7,3	1161	99,40	20,00	45,68	104,91	120,00	209,50	517,36	Yazara aittir
48	18830/57009	2003	21	6,9	896	50,00	24,30	21,90	124,4	50,00	121,00	448,20	Yazara aittir
49	19186/57321	2003	21	7,2	685	46,50	21,23	2,67	77,60	44,00	10,29	165,76	Yazara aittir
50	14620/57117	2003	25	7,3	719	19,00	1,05	1,21	127,20	41,00	42,80	409,92	Yazara aittir
51	16280/55972	2003	21	7,0	953	33,40	5,66	12,88	188,00	100,00	109,66	495,32	Yazara aittir
52	15260/55511	2003	24	7,5	398	31,90	4,21	8,50	70,00	27,00	12,96	287,92	Yazara aittir
53	15860/55548	2003	19	7,3	1125	101,90	21,58	36,45	109,20	111,00	99,38	485,56	Yazara aittir

3.5 Su Örneklerine Ait Piper ve Schoeller Diyagramlarının Değerlendirilmesi

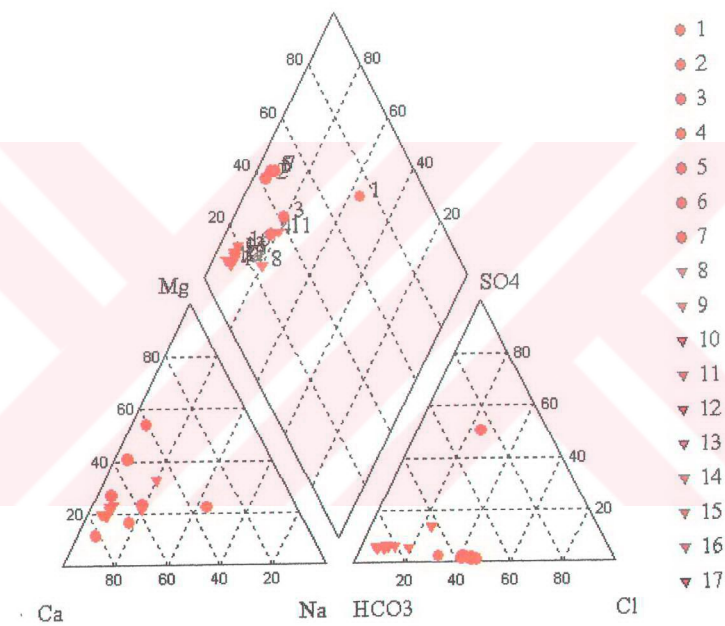
Bölgede, önceki çalışmalara ait olan ve yazar tarafından elde edilmiş ana kimyasal iyonların derişim değerleri Piper ve Schoeller diyagramlarında kullanılmıştır.

Tunalı (1980) ve Türkman'a (1981) ait Schoeller ve Piper diyagramları incelenliğinde suların çoğunluğunun $\text{Ca}^{2+}\text{HCO}_3^-$ tipinde olduğu belirlenmiştir ancak bunun dışında $\text{Ca}^{2+}\text{HCO}_3^-\text{Cl}^-$ su tipinde ve $\text{Ca}^{2+}\text{Na}^+\text{Cl}^-$ su tipindeki karışım suyu örnekleri de mevcuttur (Şekil 3.3; Şekil 3.4). Schoeller diyagramında da üç farklı su tipi görülmektedir ki bunlar Piper diyagramına göre verilen üç farklı su tipini desteklemektedirler. Bölgeye ait su seviyesini gösteren hidrojeoloji haritasında (Şekil 3.5), akım yolları boyunca, alüvyon akiferin kireçtaşlarından beslendiği kıyıya doğru ise ayrıca volkanitlerden gelen suların akifere hareket ettiği düşünülmektedir. Deniz suyu girişiminin etkisi varsa bile ihmali edilebileceği düşünülmüştür çünkü her iki yazar ait sonuçlarda elektriksel iletkenlik değerleri $1000\mu\text{S}/\text{cm}$ değerlerinin altındadır. Kıyı bölgesi akiferlerin de elektriksel iletkenlik değerlerinin $1000\mu\text{S}/\text{cm}$ 'den büyük olmasının durumunda deniz suyu girişiminden söz edilebilmektedir (Somay, 2000).

Barlak ve Tarcan (1998); Köseoğlu ve Tarcan (1998); Baba ve diğerleri'ne (2001) ait su kimyası sonuçları, Piper diyagramında incelendiğinde (Şekil 3.6) su örneklerinin çoğunluğunun $\text{Ca}^{2+}\text{HCO}_3^-$ tipinde ayrıca $\text{Ca}^{2+}\text{Na}^+\text{HCO}_3^-$, $\text{Ca}^{2+}\text{HCO}_3^-\text{Cl}^-$, $\text{Ca}^{2+}\text{Na}^+\text{HCO}_3^-\text{Cl}^-$ su tipindeki karışım suyu örnekleri olduğu belirlenmiştir. Schoeller (Şekil 3.7) diyagramında su tiplerinin fark edilemeyecek kadar benzer dağılım sunması su tiplerinin Piper diyagramında birbirine çok yakın olması ile açıklanabilir. Ayrıca elektriksel iletkenlik değerlerinde $1000\mu\text{S}/\text{cm}'$ den büyük değerlerin bulunması yeraltı suyu karışımından farklı olarak, bölgedeki sanayileşme ve artan şehirleşmeye bağlı kirlilik problemi ile beraber deniz suyu girişimine de bağlanabilir.

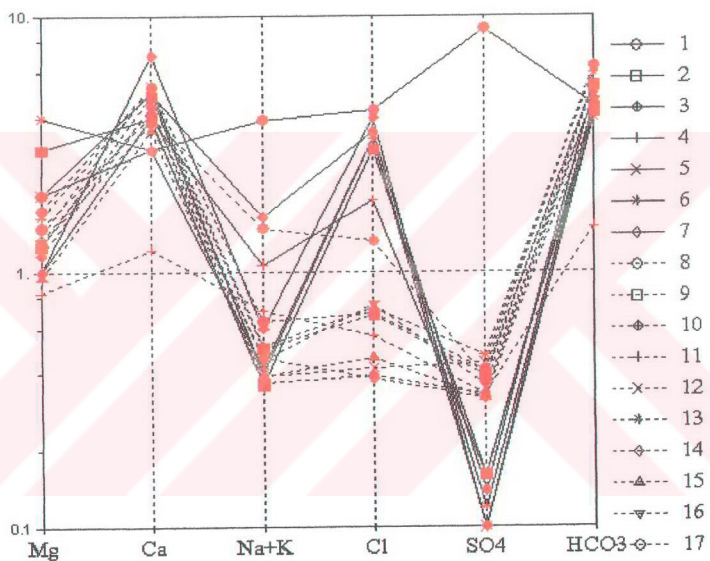
Yazara ait analiz sonuçları (Şekil 3.8, Şekil. 3.9), Barlak ve Tarcan (1998); Köseoğlu ve Tarcan (1998); Baba ve diğerleri'ne (2001) ait su kimyası sonuçlarıyla su tipleri açısından benzerlik göstermektedir. Ayrıca geçmiş yıllara ait elektriksel iletkenlik değerlerinden daha yüksek değerlerin yazar tarafından saptanması yukarı-

Yazara ait analiz sonuçları (Şekil 3.8, Şekil 3.9), Barlak ve Tarcan (1998); Köseoğlu ve Tarcan (1998); Baba ve diğerleri'ne (2001) ait su kimyası sonuçlarıyla su tipleri açısından benzerlik göstermektedir. Ayrıca geçmiş yillara ait elektriksel iletkenlik değerlerinden daha yüksek değerlerin yazar tarafından saptanması yukarıdaki açıklamalara benzer olarak farklı yeraltı suyu karışımı dışında, şehirleşme ve sanaiye bağlı kirliliğin ve/veya deniz suyu girişiminin artışına bağlanabilir.

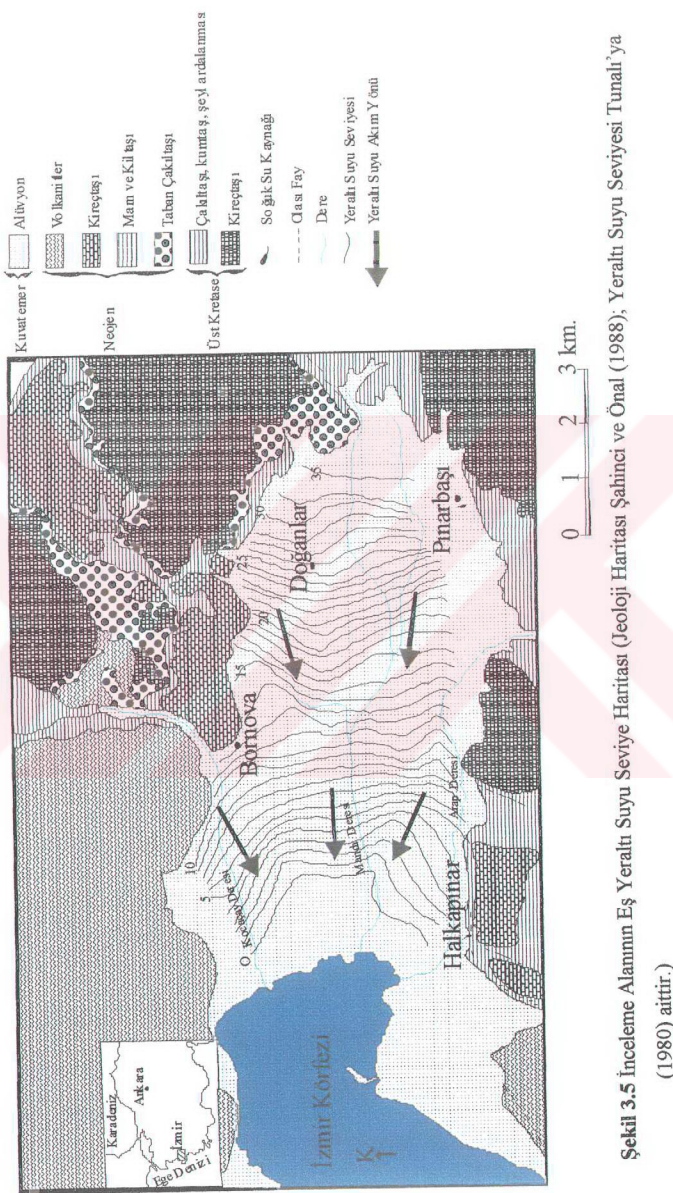


Şekil 3.3 Tunalı (1980) ve Türkman (1981) Sonuçlarına Ait Verilerden Oluşturulan Piper Diyagramı (Örnek Numaraları Tablo 3.1 ile aynıdır.)

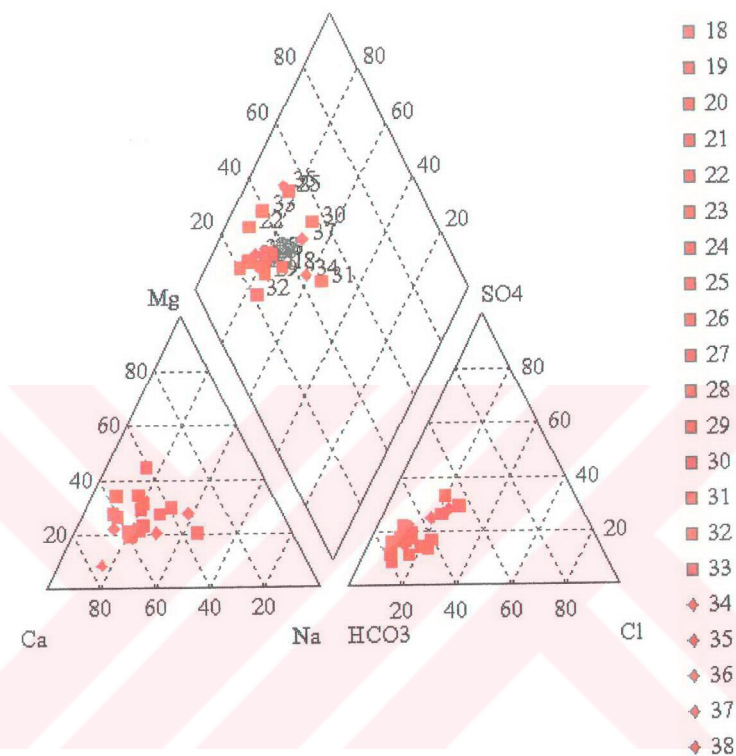
Dereşim (mek/l)



Şekil 3.4 Tunali (1980) ve Türkman (1981) Sonuçlarına Ait Verilerden Oluşturulan Schoeller Diyagramı (Örnek Numaraları Tablo 3.1 ile aynıdır.)

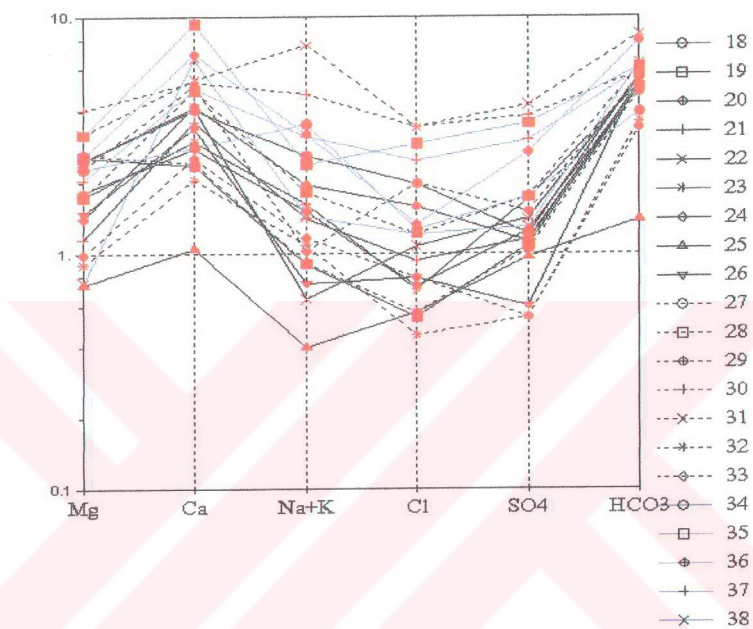


Şekil 3.5 İnceleme Alanının Eş Yeraltı Suyu Seviye Haritası (İeoloji Haritası Şahinçi ve Önal (1988); Yeraltı Suyu Seviyesi Tunalı'ya (1980) aittir.)

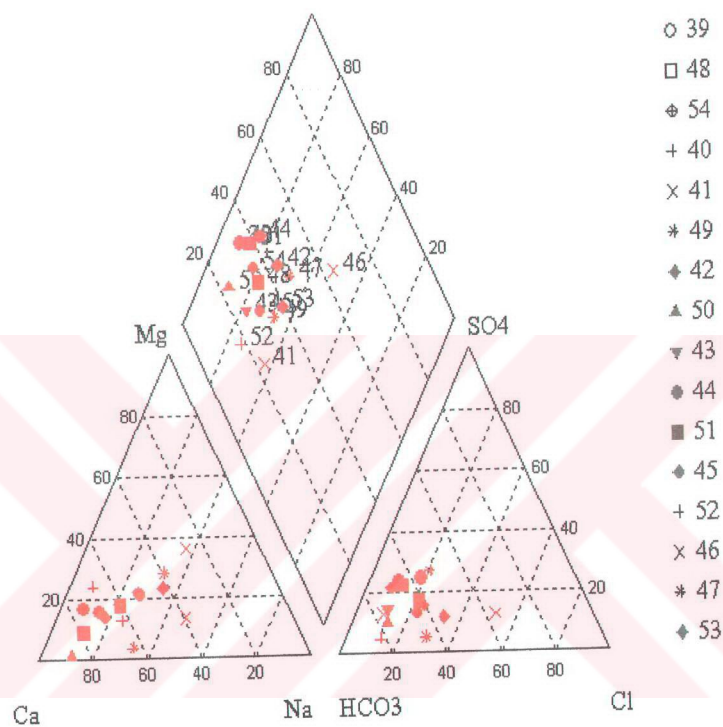


Şekil 3.6 Barlak ve Tarcan (1998); Köseoğlu ve Tarcan (1998); Baba ve diğerleri (2001) Sonuçlarına Ait Verilerden Oluşturulan Piper Diyagramı (Örnek Numaraları Tablo 3.1 ile aynıdır.)

Dereğim (mek/l)



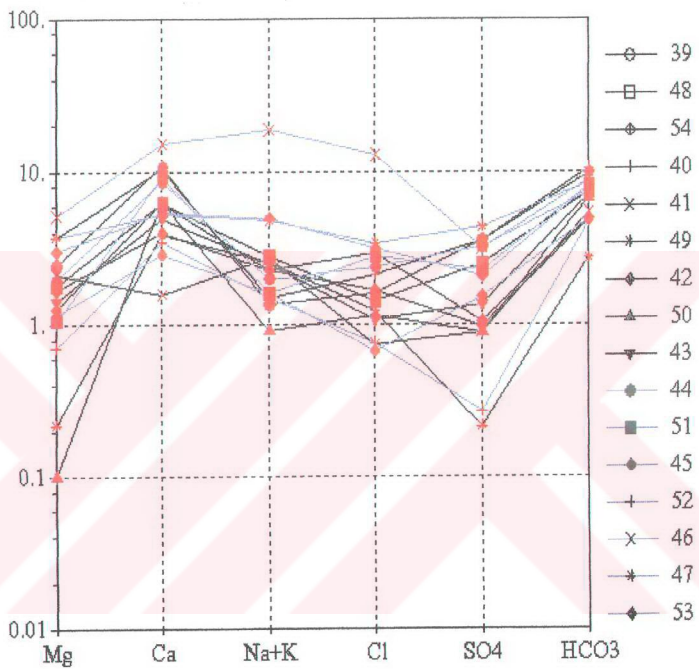
Şekil 3.7 Barlak ve Tarcan (1998); Köseoğlu ve Tarcan (1998); Baba ve diğerleri (2001) Sonuçlarına Ait Verilerden Oluşturulan Schoeller Diyagramı (Örnek Numaraları Tablo 3.1 ile aynıdır.)



Şekil 3.8 Yazara Ait Verilerden Oluşturulan Piper Diyagramı (Örnek Numaraları

Tablo 3.1 ile aynıdır.)

Derişim (mek/l)



Şekil 3.9 Yazara Ait Verilerden Oluşturulan Schoeller Diyagramı (Örnek Numaraları Tablo 3.1 ile aynıdır.)

3.6 Su Örneklerine Ait ABD Tuzluluk Diyagramının Değerlendirilmesi

Bu diyagramda sulama suları 16 ayrı sınıfa ayrılmıştır. Düşey eksende SAR değeri, yatay eksende EC değerleri bulunur. Bu diyagramda yer alan harflerin anlamı aşağıda kısaca açıklanmıştır:

Genel Tuzluluk Özellikleri :

C₁ (EC 250 μ mho/cm'den az), az tuzlu sular: Her toprakta, tüm bitkilerin sulamasına uygundur.

C₂ (EC 250-750 μ mho/cm arası), orta tuzlu sular: Orta ağaçlama özelliğindeki topraklarda, tuzluluk tehlikesi olmadan tüm bitkiler sulanabilir.

C₃ (EC 750-2250 μ mho/cm arası), tuzlu sular: Ağaçlaması kötü olan arazilerde sulamada kullanılmaz. Tuza dayanıklı bitkiler seçilmelidir.

C₄ (EC 2250 μ mho/cm'den büyük), çok tuzlu sular: Geçirgenliği ve ağaçlaması çok iyi topraklarda, zeminin yılanmasını sağlamak için bol su verilmelidir.

Genel Sodyum Tehlikesi Özellikleri:

S₁, (az sodyumlu sular): Tüm topraklarda sodyum tehlikesi yaratmadan kullanılabilir.

S₂, (orta sodyumlu sular): Geçirgen veya bol jipsli arazilerde kullanılabilir.

S₃,(yüksek sodyumlu sular): Birçok toprak cinsinde sodyum tehlikesi yaratabilir.

S₄, (çok yüksek sodyumlu sular): Genel olarak sulama için uygun değildir. Ancak suyun toplam tuz miktarı düşük ise, sulamada kullanılabilir.

Böylece C₁-S₁, C₂-S₁, C₃-S₁ her türlü sulamada, C₄-S₁, C₃-S₂ bazı özel koşullarda kullanılabilir. C₄-S₂, C₄-S₃ sulamada kullanılmaz. Suyun pH'sı sulamada önemlidir ve genel olarak pH 9'u aşmamalıdır (Şahinci, 1991).

Çalışma alanına ait ABD tuzluluk diyagramı Şekil 3.10'da gösterilmiştir. Diyagrama göre Tunalı (1980) ve Türkman'a (1981) ait sonuçlar birbirinden farklı değil ve C₂-S₁ sınıfında yer almaktadır.

Barlak ve Tarcan (1998) ile Köseoğlu ve Tarcan'a (1998) ait olan verilerde C₁-S₁ ve C₂-S₁ sınıfındadır.

Baba ve diğerleri'nin (2001) elde ettiği sonuçlarda ise C₂-S₁ ve C₃-S₁ sınıfında yer almaktadır. Önceki sonuçlara göre elektriksel iletkenlik değerlerleri ve SAR değerlerinde artışı ifade eden bir değişiklik bulunmaktadır.

Yazara ait verilerde C₂-S₁, C₃-S₁ ve C₄-S₂ sınıflamalarında bulunmaktadır. Baba ve diğerleri'nin (2001) elde ettiği sonuçlara nazaran sınıflamada elektriksel iletkenliğin ve SAR değerlerinin artışına doğru bir değişim mevcuttur.

Farlı yıllara ait verilerin, ABD tuzluluk diyagramında elektriksel iletkenlik değerlerinin arttığı yöne doğru değişimi deniz suyu girişimi ve/ veya sanayileşme ile şehirleşmeye bağlanabilir.

3.7 Su Örneklerinin Sertliği

Sertlik, su içinde çözülmüş halde bulunan Ca²⁺ ve Mg²⁺ bileşiklerinden ileri gelen bir özellikleir. Bu bileşiklerin çoğu Ca²⁺ ve Mg²⁺ iyonlarının oluşturduğu bikarbonatlar, sülfatlar, klorürler ve nitratlardır. Ca²⁺ ve Mg²⁺ bikarbonatlarından ileri gelen sertliğe geçici sertlik denir ve ısıtılmakla CaCO₃ ve MgCO₃ çökelerek bu sertlik giderilir. Suyun ısıtılarak geçici sertliğinin giderilmesinin oldukça pahalı olmasının

nedeni ile kimyasal yöntemler uygulanır. Suya amonyak ve sönmüş kireç katıldığında geçici sertlik karbonat tuzları şeklinde çökelir (Şahinci, 1991). Suda, kalıcı sertlik ise Ca ve Mg'un karbonatlardan başka tuzlarından ileri gelir ve ısıtılarak giderilemez. Bu sertliği azaltmak için suya Na_2CO_3 konur. Kalıcı ve geçici sertliklerin toplamı ise toplam sertliği oluşturur (Şahinci, 1991).

Suların sertliğini gidermek için, sulara ilave edilen boraks ($\text{Na}_2\text{BO}_3 \cdot 10\text{H}_2\text{O}$), trisodyum fosfat (Na_3PO_4), sodyum metasilikat ($\text{Na}_2\text{Si}_{13} \cdot 5\text{H}_2\text{O}$) gibi maddeler; bazik özellikleri nedeniyle, sudaki bikarbonatları ve karbonat tuzları; anyonları ise Ca iyonları ile birleşerek çözünmeyen çökeller meydana getirirler. Suların sertliğini ifade etmek için çeşitli yöntemler vardır. Bir Alman sertliği 1000ml Suda 10mg Ca miktarıdır. Bir Fransız sertliği 1000ml suda 10mg CaCO_3 olarak tanımlanır (Şahinci, 1991).

Suları sertliklerine göre sınıflamak mümkündür. Suların Fransız sertliğine göre sınıflaması Tablo 3.3'de verilmiştir.

Tablo 3.3 Suların Fransız sertliğine göre sınıflaması (Şahinci, 1991)

Fransız Sertliği	Suyun Sınıfı
0,0 – 7,2	Cok Yumuşak
7,2 – 14,5	Yumuşak
14,4 – 21,5	Az Sert
21,5 – 32,5	Oldukça Sert
32,5 – 54	Sert
54'ten fazla	Cok Sert

Tunalı'ya (1980) ait verilerin Fransız sertlikleri 25-40 arasında değişmektedir. Sular oldukça sert ve sert olarak sınıflanır.

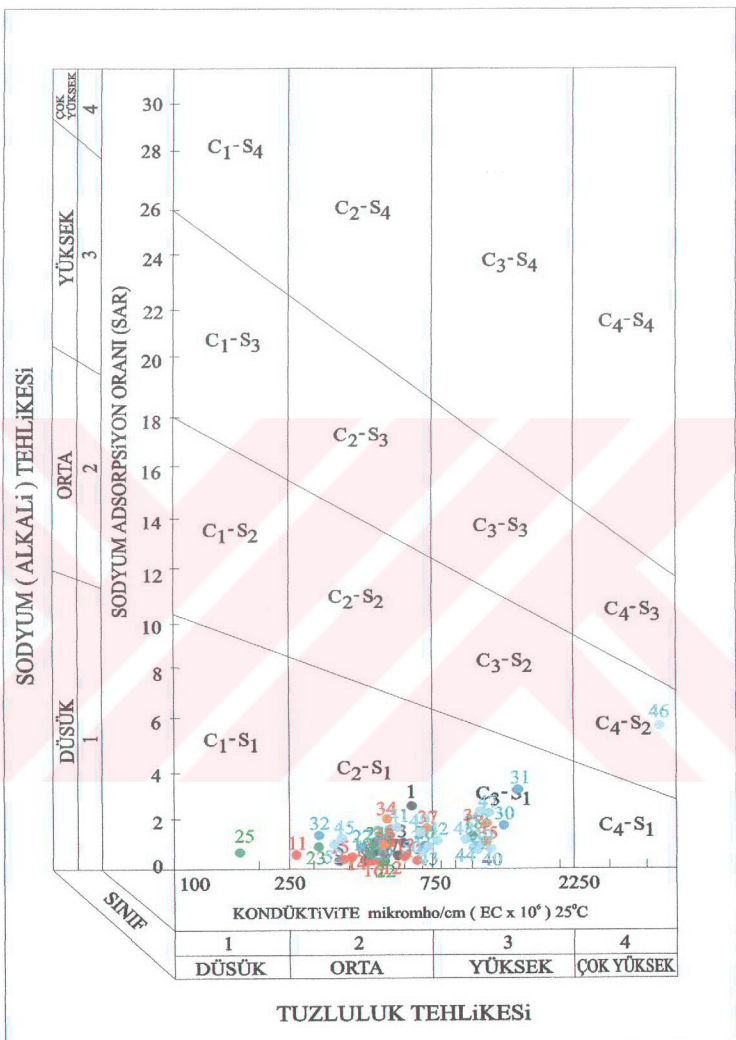
Türkman'a (19819 ait verilerin Fransız sertlikleri 10.25-35.25 arasında değişmektedir. Sular yumuşak, az sert, oldukça sert ve sert olarak sınıflanır.

Barlak ve Tarcan (1998) ile Köseoğlu ve Tarcan'a (1998) ait olan verilerin Fransız sertlikleri 8.95-46.6 arasında değişmektedir. Sular yumuşak, az sert, oldukça sert ve sert olarak sınıflanır.

Baba ve diğerleri'nin (2001) elde ettiği verilerin Fransız sertlikleri 25.47-62.49 arasında değişmektedir. Sular oldukça sert, sert ve çok sert olarak sınıflanır.

Yazara ait verilerin Fransız sertlikleri 18.48-101.89 arasında değişmektedir. Sular az sert, oldukça sert, sert ve çok sert olarak sınıflanır.

Sertlikler zamana bağlı incelenirse, yumuşak su sınıfında sular çalışma alanında bulunmasına rağmen sert suların daha yaygınlığı ve sertlik aralığının arttığı gözlelmektedir. Bu değişim deniz suyu girişimi ve/veya sanayileşme ile şehirleşmeye bağlanabilir.



Şekil 3.10 Suların ABD Tuzluluk Diyagramına Göre Sınıflandırılması

Bölüm 4

BÖLGENİN KIRLENEBİLİRLİĞİ

4.1 Kirlenebilirlik Kavramı

Kirlenebilirlik kavramı akiferin doğrudan ölçülebilen bir özelliği değildir. Ölçülebilen özelliklere göre belirlenmektedir ve göreceli değerlendirme olanağı sağlamaktadır. Çalışmanın sonuçları kirlenebilirlik haritası olarak isimlendirilmektedir. Akiferin farklı bir çok özelliğine göre (kirleticilerin akifere varış süresi akifer, akifer örtü tabakası, vb....) oluşturulabilmektedir (Vrba ve Zoporoze, 1994).

4.2 Kirlenebilirlik Haritası Yapımında Kullanılan Yöntemler

Haritanın hazırlanmasında, farklı yöntemler mevcuttur. Farklı yöntemlerin bulunması hem haritanın hazırlanmasında kullanılan hidrojeolojik değişkenler ile ilgili dir hem de, akiferin jeolojik şartları ile ilgilidir. Jeolojik şartlar, akiferin alüvyon ve ya karstik olup olmadığını ifade etmektedir. GOD (Foster, 1987) alüvyon ovalar için geliştirilmiş bir yöntem olmasına rağmen, DRASTIC (Aller ve diğerleri, 1987) farklı jeolojik şartlarda uygulanması açısından geniş bir literatüre sahiptir. EPIK yöntem ise karstik ortamlar için geliştirilmiştir (Doerfliger ve diğerleri, 1999). Bu yöntemler dışında lokal olarak kullanım için tasarlanmış olanlarda mevcuttur.

Carter ve diğerleri (1987) ve Palmer (1988) tarafından geliştirilen lokal kullanıma yönelik yöntemde akiferlerin sınırlanmasına bağlı olarak sızma sızma karakteristikleri dikkate alınmaktadır (Vrba ve Zoporoze, 1994).

EPIK yöntem, epikarst (epikarst), örtü tabaka (protective cover), sızma şartları (infiltration conditions) ve karstik dolaşım ağı (karst network development) paramet relerinin baş harflerinin kısaltılmasıdır (Doerfliger ve diğerleri, 1999). Yöntem, pa-

parametrelerin yöntemde kullanılan sayısal değerleri ve her bir parametreye ait, sabit ağırlık değerinden oluşur. Sonuç değer (kirlenebilirlik değeri) ne kadar yüksek ise o bölge daha az kirlenebilir demektir.

DRASTIC, yeraltı suyu derinliği (depth to water), beslenme miktarı (recharge), akifer ortamı (aquifer media), zemin (soil media), topoğrafya (topography), doygun olmayan ortam (vadose zone media), hidrolik iletkenlik (hydraulic conductivity) parametrelerinin İngilizce baş harflerinin kısaltılmasıdır (Aller ve diğerleri, 1987).

GOD yöntemi ise, yeraltı suyunun bulunusu (groundwater occurrence), akiferi oluştururan jeolojik ortam (overlying lithology) ve yeraltı suyu derinliği (depth to water) değişkenlerinin İngilizce baş harflerinin kısaltılmasıdır (Foster, 1987). GOD yönteminin çalışmada tercih edilmesi yöntemin ovalar için geliştirilmiş olması dışında, daha az ve belirlenmesi kolay parametreler içermesidir. Elde edilen sonuçlar hidrojeokimya sonuçları ile karşılaştırılmıştır.

4.3 Kirlenebilirlik Haritasının Hazırlanması

Haritanın yapılmasında Şekil 2.3'deki jeolojik kesitte gösterilen ve literatürde de değerlendirilmiş olan iki akiferin birbirlerine nazaran kirlenebilirlikleri belirlenmiştir. Haritanın yapılmasında GOD yönteminin üç farklı adımı kullanılmış ve her basamağa ait değişkenin araziye ait sayısal değeri bulunarak çarpım sonuçları elde edilmiştir.

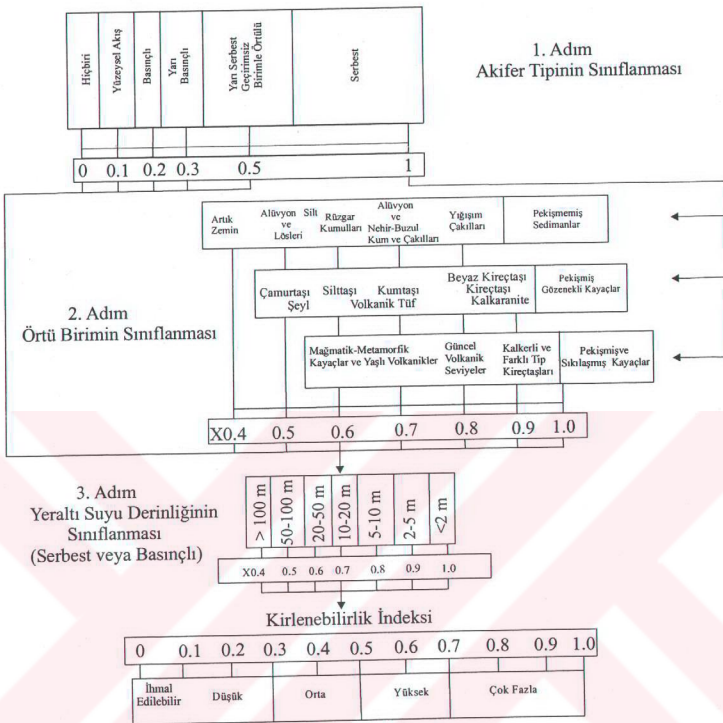
Çarpım sonucu kirlenebilirlik indeksi olarak tanımlanır ve kirlenebilirlik sınıflamasında nereye düştüğü belirlenerek kirlenebilirlik hakkında değerlendirme yapılabılır. GOD sisteminin şeması Şekil 4.1'de verilmiştir.

Çalışma alanındaki 1. ve 2. akiferin ilk adımdaki değerlendirmeleri yapılırken yüzeylendikleri alanda serbest akifer olduklarından dolayı her ikiside 1 katsayı ile değerlendirilmiştir. Ölçüt olarak yüzey alanının seçilmesi 2. akiferin serbest ve yarı serbest karakter göstermesi ve üzerinde bir akifer daha bulunmasıdır. Tüm alüvyonun

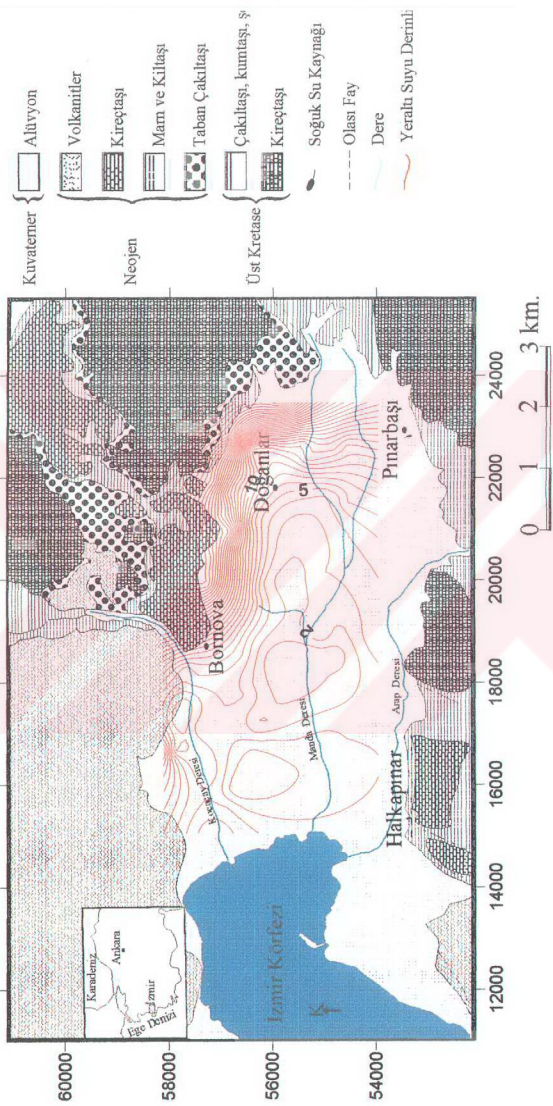
kirlenebilirlik haritasının yapılması amaçlandığı için 2. akiferi kendi içinde serbest ve yarı serbest olarak değerlendirmek veya her iki akiferi ele almak gerekmektedir. İlkinci akiferin serbest ve yarı basınçlı kararteristigi değerlendirmek için gerekli olan verilerin eksikliği nedeni ile iki akiferi birlikte değerlendirmek tercih edilmiştir.

İkinci adımda akiferi oluşturan jeolojik ortama göre belirli bir katsayı belirlenmiştir. Her iki akiferin malzemesi nehirlerin taşıdığı malzeme ile çöküntü alanına taşıdığı için alüvyona karşılık gelen 0.7 katsayı kullanılmıştır.

Üçüncü adım için gerekli olan su derinliği haritası, yeraltı suyu seviyesini gösteren harita (Şekil 3.5) ile topografik haritadan yararlanılarak çizilmiştir. Çizim işleminde öncelikle alanın topografik haritası ile su seviyesi haritası çakıştırılmıştır. Çakıştırma işleminde köşe kordinatları bilinen her iki harita aynı ölçüye getirilmek için boyutları Corel Draw çizim programı ile değiştirilmiştir. Aynı ölçek ve çakıştırma köşe koordinatlarına göre yapıldıktan sonra topografik yükseklikten su seviyesi yükseliği çıkartılarak su derinliği bulunmuştur. Elde edilen sonuç haritadan Surfer 8 yazılımı ile su derinliği bilinen noktaların kordinatları belirlenmiştir. Bunun yapılması için programda yer alan sayısallaştırma komutu (digitize) kullanılmıştır. Bu işlem sonucunda alanı temsil edecek olan su derinliği haritası için kontur çizilmiştir. Kontur çiziminde kriging (Cressie, 1990) yöntemi kullanılmıştır. Jeoloji haritası ve su derinliğini gösterir kontur haritası çakıştırılmıştır. Bunu için Surfer 8 yazılımda haritaları çakıştır (overlay map) komutu kullanılmıştır. Su derinliğini gösteren haritada GOD sistemindaki sınırlandırmaya uygun düşecek su derinlikleri belirtilmiştir (Şekil 4.2).



Şekil 4.1 GOD Sistemi (Foster, 1987)



Sekil 4.2 Bornova Ovası Eş Yeraltı Suyu Derinlik Haritası (Jeoloji Haritası Şahinci ve Önal'a (1988) aittir.)

Şekil 4.2'ye göre, 2m ve daha düşük su derinliğine sahip A alanı 1 katsayısı, 2m-5m arası su derinliğine sahip B alanı 0.9 katsayısı, 5m-10m arası su derinliğine sahip C alanı 0.8 katsayısı, 10m-20m arası su derinliğine sahip D alanı 0.7 katsayısı, ile değerlendirilmiştir.

Sonuç olarak;

2m ve daha düşük su derinliğine sahip A alanı: $1 \times 0.7 \times 1 = 0.7$

2m-5m arası su derinliğine sahip B alanı: $1 \times 0.7 \times 0.9 = 0.63$

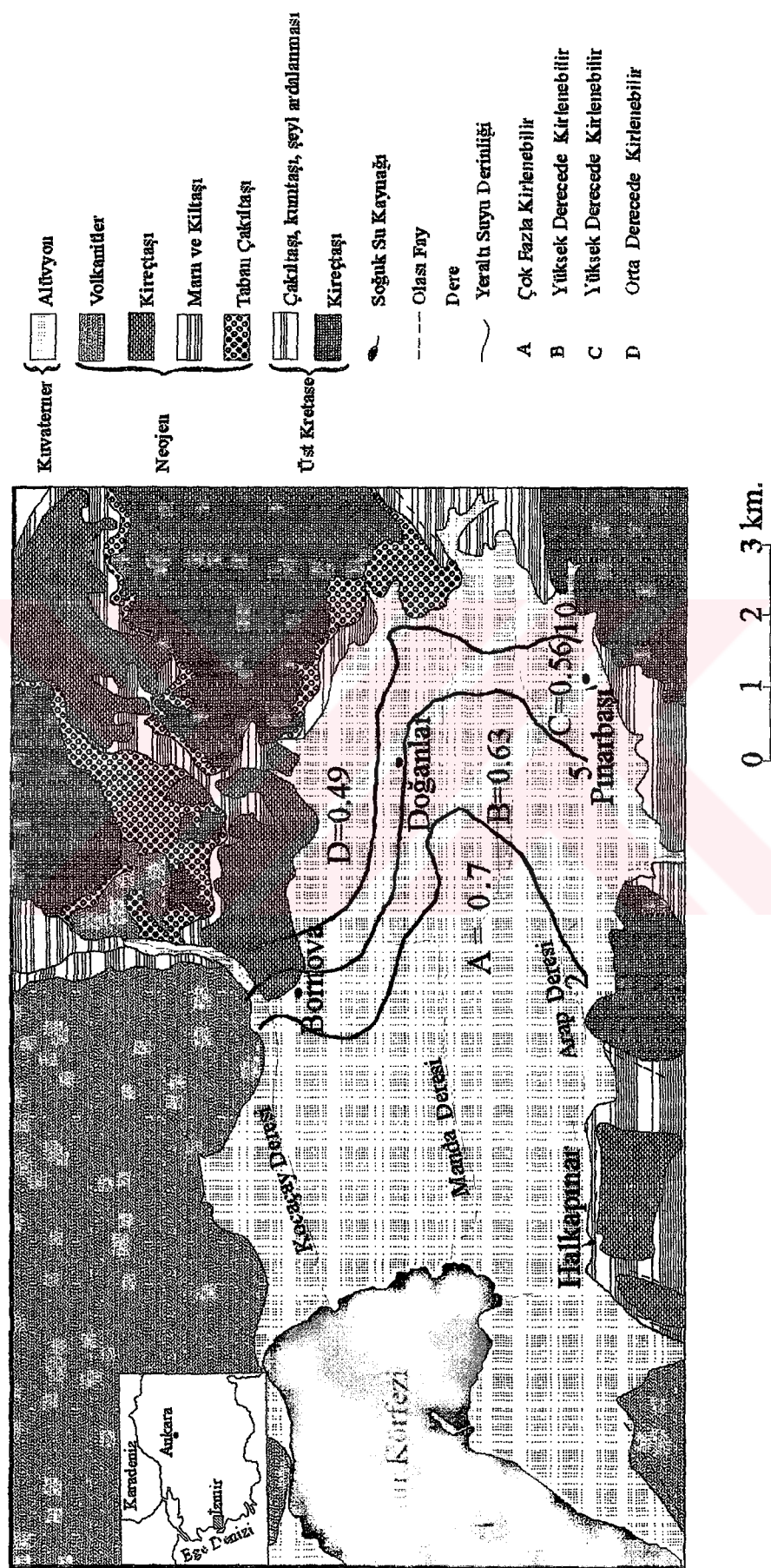
5m-10m arası su derinliğine sahip C alanı: $1 \times 0.7 \times 0.8 = 0.56$

10m-20m arası su derinliğine sahip D alanı: $1 \times 0.7 \times 0.7 = 0.49$

kirlenebilirlik indeksi değerlerine sahiptirler.

GOD kirlenebilirlik sınıflamasına göre; alüvyon alan çok fazla, yüksek ve orta derecede kirlenebilir alanlara ayrılmaktadır (Şekil 4.3).

Özellikle karışık su tiplerinin görüldüğü örnekleme noktalarının kirlenebilirliği çok yüksek olan bölgede bulunması bu örnekleme noktalarının diğer örnekleme noktalarına göre deniz suyu girişimi altında olması ve/veya kirletici kaynaklara yakın olması ile mümkündür. Genel olarak ve kıyıya yakın örnekleme noktalarının diğerlerine kıyasla; yüksek elektriksel iletkenlik değerlerine sahip olması, Piper diyagramında karışık su tipi fasiyesinin zamana bağlı olarak son yillardaki örneklerde görülmesi başka bir ifade ile su örneklerinin diyagramda daha homojen olmuş şekilde gözlenmesi, Na^+ , Ca^{2+} , Mg^{2+} , Cl^- değerlerinde artış, ABD tuzluluk diyagramında, örneklerin $\text{C}_2\text{-S}_1$ sınıflamasından elektriksel iletkenliğin daha yüksek olduğu $\text{C}_3\text{-S}_1$ ve $\text{C}_4\text{-S}_2$ sınıflamasına doğru farklılık göstermesi, sert ve çok sert suların yaygınlaşması bu değerlendirmeyi desteklemektedir.



Şekil 4.3 GOD Sistemine Göre Bornova Yeraltı Suyu Havzasının Kirlenebilirlik Haritası (Jeoloji Haritası Şahinci ve Önal'a (1988) aittir)

4.4 Kirlenebilirlik Haritasına Göre Koruma Alanlarının Değerlendirilmesi

Koruma alanlarına göre kirlenebilirlik haritasının değerlendirilmesinde su kirliliği kontrollü yönetmeliği esas alınmıştır. Yönetmelikte de濂ilen koruma alanlarının niteliğine aşağıda de濂ılmıştır:

Mutlak Koruma Alanı

Madde 17 - İçme ve kullanma suyu rezervuarlarının maksimum su seviyesinden itibaren 300 m genişlikteki şerit, mutlak koruma alanıdır. Söz konusu alanın sınırının su toplama havzası sınırını aşması halinde, mutlak koruma alanı havza sınırında son bulur. Bu alanda aşağıda belirtilen koruma tedbirleri alınır:

- A) Koruma alanı içinde kalan bölge, ilgili kanunun yetkili kıldığı İdarece kamulaştırılır. Kamulaştırma işlemlerinin, mevcut kent içi veya kent dışı yoğun yerleşimler nedeniyle olağanüstü yüksek harcamaları gerektirebileceği durumlarda, içmesuyu kaynağının koruması için idarece gerekli düzenlemeler yaptırılır,
- B) İçme ve kullanma suyu projesine ve mevcut yapıların kanalizasyon sistemlerinin ıslahına ait mecburi teknik tesisler hariç olmak üzere, bu alanda hiçbir yapı yapılamaz. Bu alanda kalan mevcut yapılar dondurulmuştur.
- C) Çevre düzeni ve amenajman planına uyularak, bu alan içinde gölden faydalama, piknik, yüzme, balık tutma ve avlanma ihtiyaçları için cepler teşkil edilir. Bu cepler su alma yapısına 300 m'den daha yakın olamaz.
- D) İdarece gerekli görülen yerlerde alan çitle çevrilir veya koruma alanı teşkil edilir.

Kısa Mesafeli Koruma Alanı

Madde 18 - İçme ve kullanma suyu rezervuarlarının mutlak koruma alanı sınırından itibaren 700 m genişliğindeki şerittir. Söz konusu alan sınırının, su toplama havzası sınırını aşması halinde, kısa mesafeli koruma alanı havza sınırında son bulur.

Kısa mesafeli koruma alanı içinde;

- A) Turizm, iskan ve sanayi yerleşmelerine izin verilemez.
- B) Çöp ve moloz birikintisine izin verilemez.

- C) Madde 17 B'de anılan mecburi teknik tesisler ile Kültür ve Tabiat Varlıklarını Koruma Kanunu kapsamına giren uygulamalar dışında hafriyat yapılamaz.
- D) Sıvı ve katı yakıt depolarına ve mezarlık kurulmasına izin verilemez. Bu alan-da kalan mevcut yapılar dondurulmuştur.
- E) (Değişik bent: R.G. : 1.7.1999/23742'de yayınlanan Yönetmelik m.2) Bu ala-nın rekreasyon ve piknik amacıyla kullanılmasına dönük kamu yararlı ve günü birlik turizm ihtiyacına cevap verecek, sökülüp takılabilir elemanlardan meydana gelen, geçici nitelikte kır kahvesi, büfe ve benzeri tek katlı yapılara, ilgili kuruluşların uy-gun görüşleri alınarak onanmış çevre düzeni ve uygulama planlarına ve plan kararla-rına uygun olarak izin verilebilir.
- F) (Değişik bent: R.G.: 01.07.1999/23742'de yayınlanan Yönetmelik, m.2) Bu a-landa yapılacak ifrazlardan sonra elde edilecek her parsel 10000 m²den küçük ola-maz. (E) bendinde belirtilen nitelikteki yapıların kapalı kısımlarının toplam alanı her parselde 100 m²'yi geçemez.
- G) (Değişik bent: R.G.: 01.07.1999/23742'de yayınlanan Yönetmelik, m.2) Yuka-rıda (E) bendinde belirtilen yapıların atık suları, Sağlık Bakanlığı'nın 19.03.1971 tarihli ve 13783 sayılı Resmi Gazete'de yayımlanarak yürürlüğe giren, "Lağım Mec-rası İnsaası Mümkün Olmayan Yerlerde Yapılacak Çukurlara Ait Yönetmelik" hü-kümlerine göre yapılacak olan sızdırmaz nitelikteki fosseptiklerde toplanır ve atıksu altyapı tesisine verilir.
- H) (Değişik bent: R.G.: 01.07.1999/23742'de yayınlanan Yönetmelik, m.2) Suni gübre ve tarım ilaçları kullanmamak şartıyla, hayvancılık ile ilgili yapılar hariç ol-mak üzere kontrollü otlatmaya ve diğer tarimsal faaliyetlere Tarım ve Köyişleri Ba-kanlığının kontrol ve denetiminde izin verilir. Ayrıca erozyonu azaltıcı metodların uygulanması esastır.
- I) İmar planı gereği yapılacak yolların bu alandan gececek olan kısımlarında sa-dece ulaşımıla ilgili fonkisyonlara izin verilir.

Orta Mesafeli Koruma Alanı

Madde 19 - İçme ve kullanma suyu rezervuarlarının kısa mesafeli koruma alanı sınırlarından itibaren 1 km genişliğindedeki şerittir. Söz konusu alan sınırının su toplama

havzası sınırını aşması halinde, orta mesafeli koruma alanı havza sınırında son bulur. Bu alanlardaki koruma tedbirleri aşağıda belirtilmiştir:

- A) Bu alanda hiçbir sanayi kuruluşuna ve ıskana izin verilemez.
- B) (Değişik bent: R.G. : 1.7.1999/23742'de yayınlanan Yönetmelik m.3) Bu alanda yapılacak ifrazlardan sonra elde edilecek her parsel 5000 m^2 'den küçük olamaz. Bu parsellerin tapu ve kadastro veya tapulama haritasında bulunan bir yola, yapılan ifrazdan sonra en az 25 m cephesi bulunması mecburidir.
- C) Bu alanda bulunan parsellerde sıhhi ve estetik mahzur bulunmadığı takdirde parsel sathının % 5'inden fazla yer işgal etmemek, inşaat alanları toplamı 2 katta 250 m^2 'yi, saçak seviyelerinin tabii zeminden yüksekliği $h = 6.50$ metreyi aşmamak, yola ve parsel sınırlarına 5 metreden fazla yaklaşmamak şartı ile, bir ailenin oturmasına mahsus bağ veya sayfiye evleri veya eğlence veya turizm tesisleri ile bu gibi tesislerin müstemilat binalarının yapılmasına izin verilebilir.

Bu alanda ayrıca, entegre tesis niteliğinde olmayan mandıra, kümes, ahır, ağıl, su ve yem depoları, hububat depoları, gübre ve silaj çukurları, arihaneler, balık üretim tesisleri ve un değirmenleri gibi konut dışı yapılar, mahreç aldığı yola 10 m. 'den, parsel hudutlarına 5 m. 'den fazla yaklaşmamak ve inşaat alanı kat sayısı % 55'i ve yapı yüksekliği $h = 6.50\text{ m.}$ 'yi geçmemek şartı ile yapılabılır. Beton temel ve çelik seralar yaklaşma mesafelerine uyulmak şartı ile inşaat alanı katsayısına tabi değildir.

Beton temel ve çelik çatı dışındaki basit örtü mahiyetindeki seralar ise yukarıda belirtilen çekme mesafeleri ve inşaat alanı katsayısına tabi değildir. Ayrıca bu tesisler hakkında Tarım Orman ve Köyişleri Bakanlığı Taşra Teşkilatının uygun görüşünün alınması ve başka bir amaçla kullanılmayacağı hususunda tesis sahiplerince ilgili idareye noterlikçe tasdikli yazılı taahhütte bulunulması gerekmektedir. Bu maddede anılan yapılar ilgili Bakanlık ve kuruluşlarca hazırlanmış bulunan 1/50 veya 1/100 ölçekli tip projeler üzerinden yapılabilir. Ayrıca tüm yapıların imar mevzuatına uygun olarak yapılması gereklidir.

- D) Atiksular, ancak "Teknik Usuller Tebliği"nde verilecek sulama suyu kalite kriterlerine uygun olarak arıtıldıkten sonra sulamada kullanılabilir.
- E) Hiç bir şekilde maden ocağı açılmasına ve işletilmesine izin verilmeyez.
- F) Bu yörede suni gübre ve tarım ilaçları kullanmamak şartı ile tarım yapılabilir.
- G) Bu yörede çöp dökme ve imha alanlarına izin verilmez.

H) (Ek bent: R.G.: 01.07.1999/23742'de yayınlanan Yönetmelik, m.3) Zorunlu hallerde, bu alandan geçirilecek yolların sadece ulaşımla ilgili fonksiyonlarına ancak gerekli tedbirlerin alınması şartı ile izin verilir.

Uzun Mesafeli Koruma Alanı

Madde 20 - (Değişik madde: R.G. : 1.7.1999/23742'de yayınlanan Yönetmelik m.4) İçme ve kullanma suyu rezervuarının yukarıda tanımlanan koruma alanlarının dışında kalan su toplama havzasının tümü uzun mesafeli koruma alanıdır. Bu alanda aşağıda belirtilen tedbirler alınır.

A) Bu alanın, orta mesafeli koruma alanı sınırlarından itibaren yatay olarak 3 km genişliğindedeki kısmında 31inci maddede belirtilen sanayi kuruluşları ileçop depolama alanlarına ve bertaraf tesislerine izin verilmez. Turizm ve iskana 19uncu maddede belirlendiği şekilde yapışma izni verilir.

B) Bu maddenin (A) bendinde belirtilen alanın bittiği yerden itibaren su toplama havzasının sınırlarına kadar olan alandaki faaliyetlere, oluşan atıksuların Yönetmelikteki Tablo 5'ten Tablo 21'e kadar olan deşarj standartlarını sağlayarak havza dışına çıkarılması veya geri dönüşümlü olarak kullanılması şartıyla, Çevre Bakanlığının uygun görüşü alınarak izin verilebilir. Ancak, 04.09.1988 tarihinden önce mevcut olan, uzun mesafeli koruma alanındaki tesislerin sıvı, gaz ve katı atıklarının ekonomik uygulanabilirliği ispatlanmış ileri teknoloji seviyesinde arıtma ve bertaraf teknikleri ile uzaklaştırılması ilgili idare tarafından istenen ve bu yükümlülüğü yerine getirmiş olanlar için bu esaslar aranmaz. Bu alanda çöp depolama ve bertaraf alanlarının kurulması ilgili idarece Çevre Bakanlığının uygun görüşü alınarak yapılabilir.

Çalışma alanının tümünde, özellikle kirliliğe karşı daha hassas olan yüksek kirlenebilir alanda yönetmelikte deñinilen koruma alanı ölçütlerinin hiçbirine uyulmaktadır. Bunun nedeni sanayi tesisleri ve yerleşim birimlerine ait kuyuların koruma alanı ölçütlerinin hiçbirine uygun olmayacak şekilde birbirlerine yakın olmasıdır. Bu durum dikkate alınarak, en düşük kirlenebilirliğe sahip alanda uygun koruma alanı yönetmelik çerçevesinde belirlenerek yetkili kurumlarca bu alandaki kuyuların işletilmesine ve sanayi ile konut ihtiyacı için kullanılmasına müsade edilmelidir.

Bölüm 5 SONUÇLAR ve ÖNERİLER

Yüksek lisans tezi kapsamında aşağıdaki sonuçlar elde edilmiştir ve önerilerde bulunulmuştur.

- Genel olarak ve kıyıya yakın örnekleme noktaları diğerlerine kıyasla; yüksek elektriksel iletkenlik değerlerine sahiptir.
- Bölgede $\text{Ca}^{2+}\text{HCO}_3^-$ su tipi bulunmasına rağmen, son yillardaki örneklerde Piper diyagramında karışık su tipi fasiyesi görülmektedir. Başka bir ifade ile bu su örnekleri diyagramda daha homojen olmuş şekilde dağılmaktadır.
- ABD tuzluluk diyagramında örnekler zamana bağlı olarak C₂-S₁ sınıflamasından elektriksel iletkenliğin daha yüksek olduğu C₃-S₁ ve C₄-S₂ sınıflamasına doğru farklılık göstermektedirler.
- Suların Fransız sertliği değerlerinin değişim aralığı zamanla artmaktadır, sert ve çok sert sular olarak sınıflandırılmaktadır.
- Kalsit ve Dolomit doygunluk indeksleri açısından bölgedeki sular doygundur ve havza genelinde çökeltici karakter gösterir. Bu sebeple kullanılan ekipman ve su tesisatı açısından zarar vericidir.
- Kirlenebilirliği en yüksek olan A alanında sanayi tesisleri ve konutlaşmanın bulunmaktadır nedeni ile sanayide kullanım sonucu ortaya atıksu, su arıtma tesislerinin kullanımı ile arıtmalı ve yeraltısu sistemine verilmelidir.

- Kirlenebilirlik haritası Belediyeler ve ilgili diğer kamu kurumlarında çevrenin korunması amacıyla kullanılabilir. Bölgedeki kirlenebilirlik haritalama yöntemine göre kirlenebilirliğe etki eden değişken diğer değişkenlerin alan içerisinde değişim göstermemesinden dolayı yeraltı suyu derinliğidir. Bu sebeple bölgede, var ise fosfotiklerin kullanımının engellenmesi, alt yapının yeraltı suyuna sızmaları engelleyecek şekilde onarımı ve/veya yenilenmesi gerekmektedir.
- Kıyıya yakın olan alanlar daha kirlenebilirdir. Yukarıdaki maddelerde bahsedilen deniz suyu girişimi ve/veya sanayileşme ile şehirleşmenin etkisini gösteren hidrokimyasal belirteçlerin değerlerindeki değişim kirlenebilirlik değerleri ile uyumlu olarak değerlendirilmiştir.
- Kıyıya yakın ve kirlenebilirliği yüksek olan alanlarda, sanayi tesislerinin varlığı nedeniyle de özellikle iz elementler için hidrokimyasal örneklemeye ve analiz yapılarak farklı kirletici kaynakları ve niteliği belirlenmelidir.
- Elde edilecek su kimyası sonuçları alüvyon akiferdeki hidrokimyasal fasyes değişimini anlamak amacıyla hidrojeokimyasal modellemede kullanılmalıdır. Modelleme sonuçları alüvyonun günümüzdeki kompozisyonunu anlamamızı sağlayacaktır.
- Farklı kirlenebilirlik haritalama yöntemleri kullanılarak, yöntem sonuçları bölgeye ait hidrokimyasal veriler ile değerlendirilmelidir.

KAYNAKLAR

- ALLER, L., BENNETT, T., LEHR, J.H., PETTY, R.J., HACKETT, G. (1987). DRASTIC: A Standardized System for Evaluating Ground Water Pollution Potential Using Hydrogeologic Settings, U.S Environmental Protection Agency, Oklahoma.
- ALPASLAN, A. (1974). Bornova Yeraltısuyu aşırı Çekimin Ssaptanması, Yüksek Lisans Tezi, Ege Üniversitesi İnşaat Mühendisliği, İzmir.
- BABA, A., BİRSOY, Y.K., ENSARI, E., ARDÎÇ, T., BAYKAL, A., LENGERANLI, Y. (2001). İzmir İli Yeraltısuyu Kalitesi, ÇEVJEO Sempozyumu 2001, s:149-158, İzmir.
- BARLAK, G., TARCAN, G. (1998). Bornova ve İzmir Çevresinin Hidrojeolojisi; Lisans Tezi, Dokuz Eylül Üniversitesi Jeoloji Mühendisliği, Bornova-İzmir.
- CAMP, H. (1971). Project Water Supply, DSİ, 1, İzmir.
- CARTE, A.D., PALMER, R.C., MONKHOUSE, R.A. (1987). Mapping the vulnerability of groundwater to pollution from agricultural practice , particularly with respect to nitrate, TNO Committee on Hydrological Research, Proceedings and Information, 38, p:333-342 The Hague.
- COREL DRAW (2000). Bilgisayar yazılımı, Version 10, Corel Corporation.
- CRESSIE, N. A. C. (1990). The Origins of Kriging, Mathematical Geology, 22, p. 239-252.

ÇONGAR, B. (1979). İzmir-Halkapınar Kaynağının Geliştirilmesi ve Su Bilançosunun Hazırlanması, Jeoloji Mühendisliği Birinci Bilimsel ve Teknik Kongresi, s:173-182, Ankara

DEUSTCH, W. (1997). Groundwater Chemistry Fundamentals and Applications to Contamination, Lewis Publishers, New York.

DOERFLIGER, N., JEANNİN, P.Y., ZWAHLEN, F. (1999). Water Vulnerability Assessment in Karst Environments: A New Method of Defining Protection Areas Using A Multi Attribute Approach and GIS Tools, Environmental Geology, 39 (2), p: 165-176.

D.S.İ. (1968). İzmir Körfezi- Bornova Ovası Yeraltı Suyu Rezerv Raporu. İzmir.

ERDOĞAN, B. (1990). İzmir - Ankara Zonu'nun, İzmir İle Seferihisar Arasındaki Bölgede Stratigrafik Özellikleri ve Tektonik Evrimi, TPJD Bülteni, 2/1, s:1-20.

ERGUUVANLI, K., YÜZER, E. (1973). Yeraltı Suları Jeolojisi (Hidrojeolojisi), İ.T.Ü. Tatbiki Jeoloji Kürsüsü, İstanbul

FİLİZ, Ş. (1993). İzmir ve Çevresinde Hidrojeolojik Sorunlar İzmir ve Çevresinin Jeoteknik Sorunları Sempozyumu, s:13-15, İzmir

FORD, D.C., Williams, P.W. (1989). Karst geomorphology and hydrology. Unwin Hyman Ltd., London.

FOSTER, S.S.D. (1987). Fundamentals Concepts in Aquifer Vulnerabilitiy, TNO Committee on Hydrological Research, 38, p:69-86

HELGESON, H.C., KIRKHAM, D.H. FLOWER, G.C. (1981). Theoretical prediction of the behaviour of aqueous electrolytes at high pressures and temperatures: Calculation of activity coefficients, osmotic coefficients, and apparent molal and standard and relative partial molal properties to 600°C and 5 kb, American Journal of Science, 281, p:1249-1516.

HEM, J. (1989). Study and Interpretation of the Chemical Characteristics of Natural Waters, U.S. Geological Survey

KAYA, O. (1993). İzmir ve Çevresinin Jeoteknik Sorunları Sempozyumu, s:1-4, İzmir

KAYAN, İ. (1999). Holocene Stratigraphy and Geomorphological Evolution of The Aegean Coastal Plains of Anatolia, The Late Quaternary in The Eastern Mediterranean Region, Quaternary Science Reviews, 18, p:541-548

KAYAN, İ. (2000). İzmir ve Çevresinin Morfotektonik Birimleri ve Alüvyal Jeomorfolojisi, , BADSEM Bildiriler, s: 103-111, İzmir

KOCA, T., TÜRK, N. (1995). Influence of Weathering on the Engineering Properties of Andesitic Rock Around İzmir, Western Turkey, International Earth Sciences Colloquium on the Aegean Region, Volume 2, p:711-738, İzmir

KONUK, T. (1977). Bornova Flişinin Yaşı hakkında, Ege Üniversitesi Fen Fakültesi Dergisi, 1, İzmir

KOÇ, F., TANSUĞ, Z., ERHAN, N., SATIR, M. (1968). İzmir Körfezi Bornova Ovası Yeraltı Suyu Rezerv Raporu, İzmir

KÖSEOĞLU, B., TARCAN, G. (1998). Salhane ve Bayraklı Çevresinin Hidrojeolojisi; Lisans Tezi, Dokuz Eylül Üniversitesi Jeoloji Mühendisliği, Bornova-İzmir.

PALMER, R.C. (1988). Groundwater Vulnerability, Map 5 Lichfield, Soil Survey and Land Research Centre, Cranfield, UK.

PIPÉR, A.M. (1944). A Graphic Procedure in The Geochemical Interpretation of water analyses, AGU Trans., 25, 914-923.

SCHOELLER. (1955). Geochimie des Eaux Souterraines, Rev. Inst. Franc. Petrole, Paris, 10, p:181-231, 4, 219-246.

SOMAY, M. (2000). İzmir Kuş Cenneti'nin Hidrolojisi, Hidrojeolojisi ve Hidrojeokimyası, Doktora Tezi, Dokuz Eylül Üniversitesi Fen Bilimleri Enstitüsü, Bornova-İzmir.

SURFER. (2002). Surface Mapping System, Version 8, Scientific Software.

ŞAHİNÇİ, A., ÖNAL, M. (1988). Bornova (İZMİR) Yöresi Hidrojeoloji İncelemesi, I. Ulusal Hidrojeoloji Sempozyumu, s:37-43, Ankara.

ŞAHİNÇİ, A. (1991). Yeraltı Suları Jeokimyası, Reform Matbaacılık, İzmir.

TARCAN, G. (2003). Jeotermal Su Kimyası, Jeotermalde Yerbilimsel Uygulamalar, Yaz Okulu Ders Kitabı - JENARUM. D.E.Ü., Mühendislik Fakültesi, İzmir Yayın No: 306, s:198-245.

TSE266, (1997). Türk Standardı: Sular- İçme ve Kullanma Suları, 1. Baskı, Ankara.

TUNALI, B. (1980). Bornova Ovasına Yeraltı Suyuna Matematiksel Model Uygunlaması; Yüksek Lisans Tezi, Ege Üniversitesi Yer Bilimleri Fakültesi Mühendilik Jeolojisi Bölümü, Bornova-İzmir.

TÜRKMAN, A. (1981). Yeraltısuyunda Çözünmüşt Maddelerin Kimyasal İlgilerinin Belirlenmesi ve Kirlenem Sorunun İncelenmesi, Doktora Tezi, Ege Üniversitesi İnşaat Fakültesi Çevre Mühendisliği, İzmir.

ULUTÜRK, A. (1980). Kavaklıdere Köyü ve Çevresinin Jeolojisi ve Hidrojeolojik Özellikleri, Ege Üniversitesi Yer Bilimleri Fakültesi, İzmir.

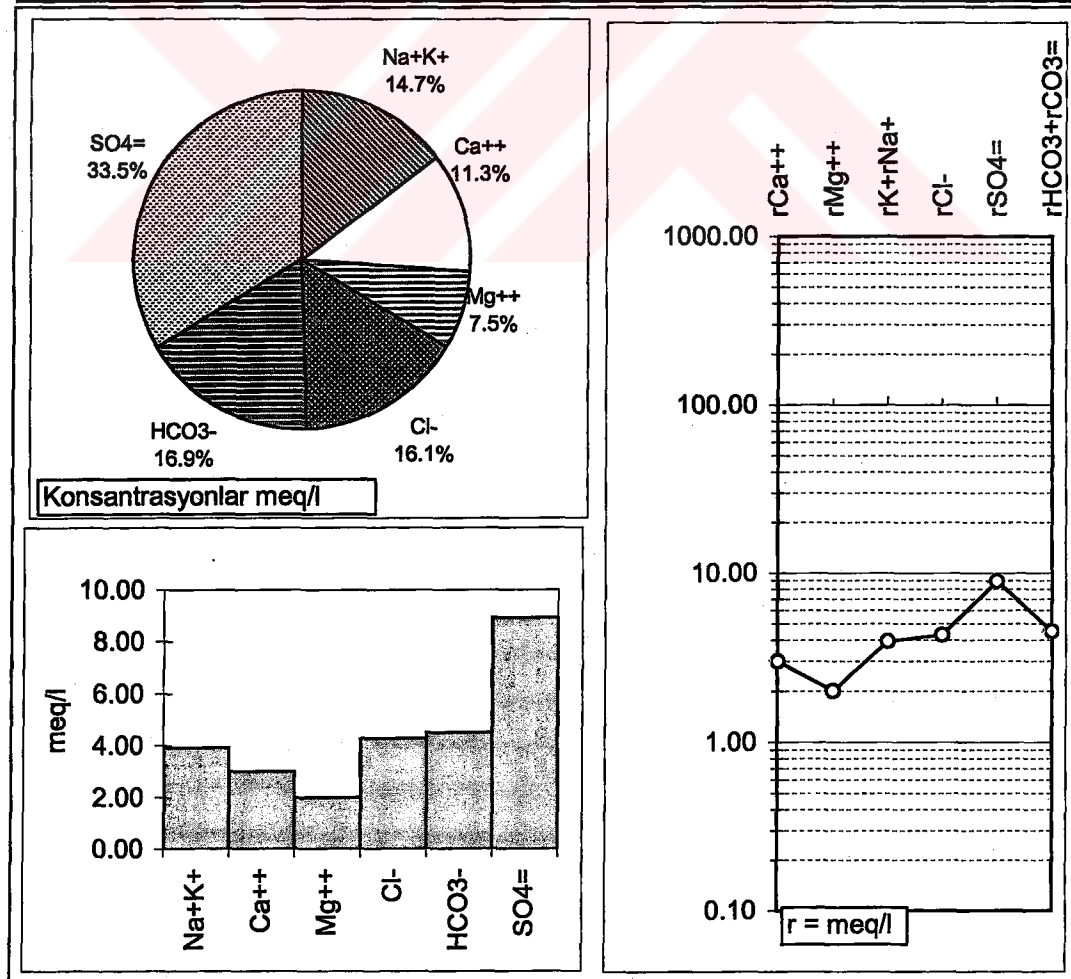
VRBA, J., ZOPOROZEC, A. (1994). Guidebook on Mapping Groundwater Vulnerability, IAH Publications, 16, Hannover.

EK

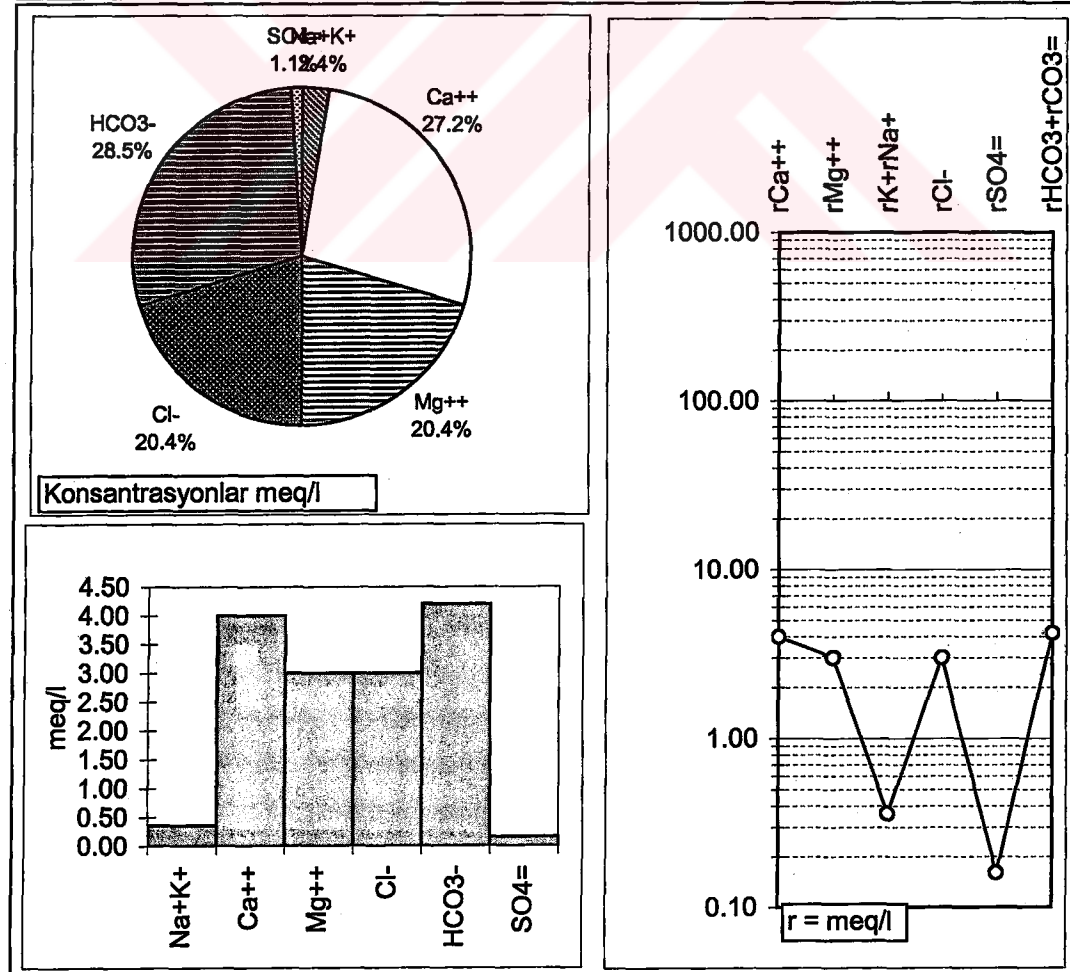
İNCELEME ALANINA AİT ÖRNEKLEME NOKTALARININ KİMYASAL ANALİZ SONUÇLARI



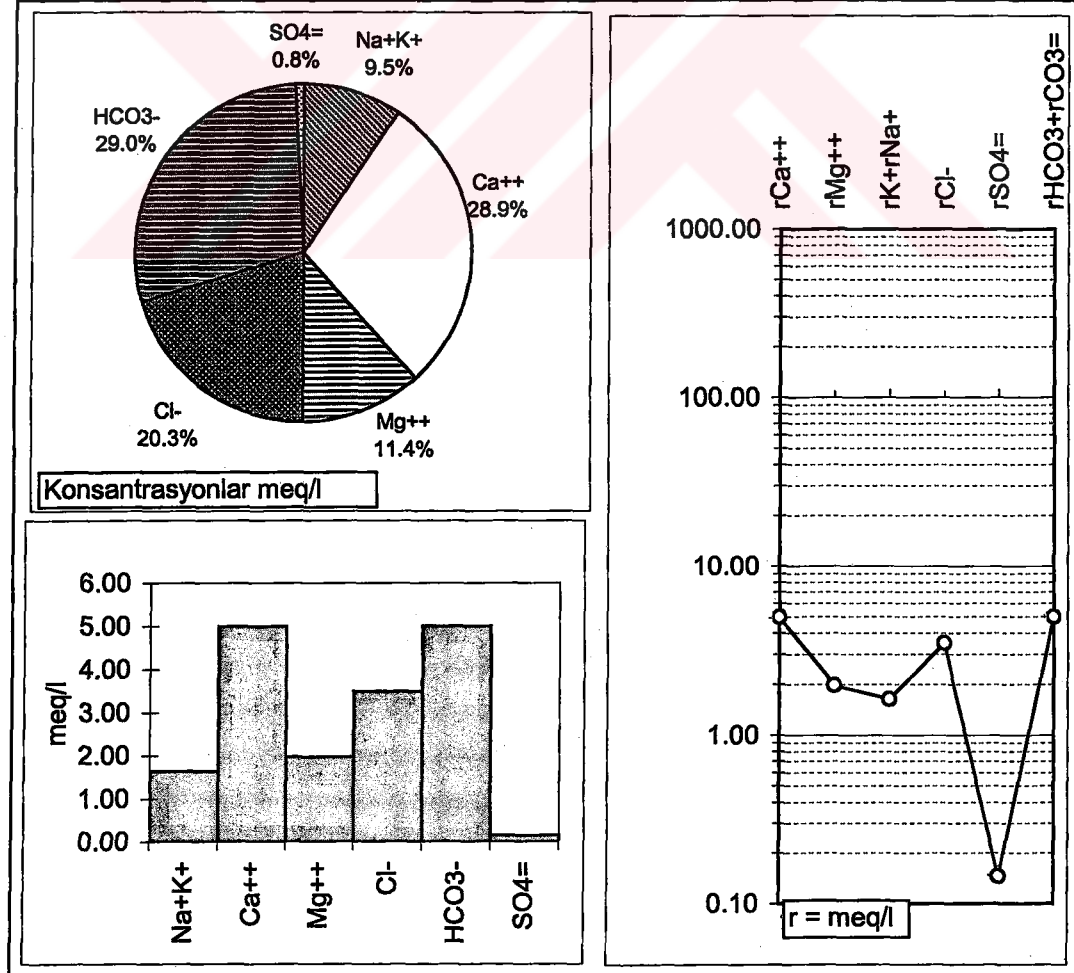
Örnek Adı ve Yeri (X/Y) : 1			15704/56703			pH(-logH)		7.9
Örnekleme Tarihi ve Kaynak:			1980		Tunah (1980)		EC(μmho/cm)	
İYON	mg/l	meq/l	% meq/l	% mg/l	C (mol/l)	.5CZ ²	F	AC
Na ⁺	90	3.90	43.71	51.3	0.00390	0.0019	0.87	0.0034
K ⁺	1	0.02	0.22	0.4	0.00002	0.0000	0.86	0.0000
Ca ⁺⁺	60	3.00	33.65	34.4	0.00150	0.0030	0.59	0.0009
Mg ⁺⁺	24	2.00	22.42	13.9	0.00100	0.0020	0.62	0.0006
Cl ⁻	152	4.28	24.17	17.8	0.00428	0.0021	0.86	0.0037
HCO ₃ ⁻	275	4.50	25.44	32.1	0.00450	0.0023	0.87	0.0039
SO ₄ ⁼	428	8.92	50.39	50.1	0.00446	0.0089	0.57	0.0025
Toplam Katyon Miktarı (meq/l)			8.917	Toplam Katyon Miktarı (mg/l)		174.8		
Toplam Anyon Miktarı (meq/l)			17.694	Toplam Anyon Miktarı (mg/l)		854.3		
Toplam İyon Miktarı (meq/l)			26.611	Toplam İyon Miktarı (mg/l)		1029.1		
İyonlaşma Gücü (mol/l)			0.020	% e (Hata Yüzdesi)		-32.99		
SAR (Sodyum Ad. Oranı) (%)			2.465	Sertlik (Fr)		25.00		
rCl / (rSO ₄ +rHCO ₃) Oranı			0.319	rCa/rMg Oranı		1.50		
SIc (Kalsit Doygunluk İndeksi)			0.602	SIj(Jips Doygunluk İndeksi)		-1.03		
SID(Dolomit Doygunluk İndeksi)			0.532	LogPCO ₂ (CO ₂) Kısımlı Basıncı		-2.49		
Fo (Köpürme Katsayısı)			243.2	Si (mg / l)				
Hidrokimyasal fasiyes tipi: Na-Ca-SO ₄ -HCO ₃ -Cl			B ⁺⁺⁺ (mg / l)					



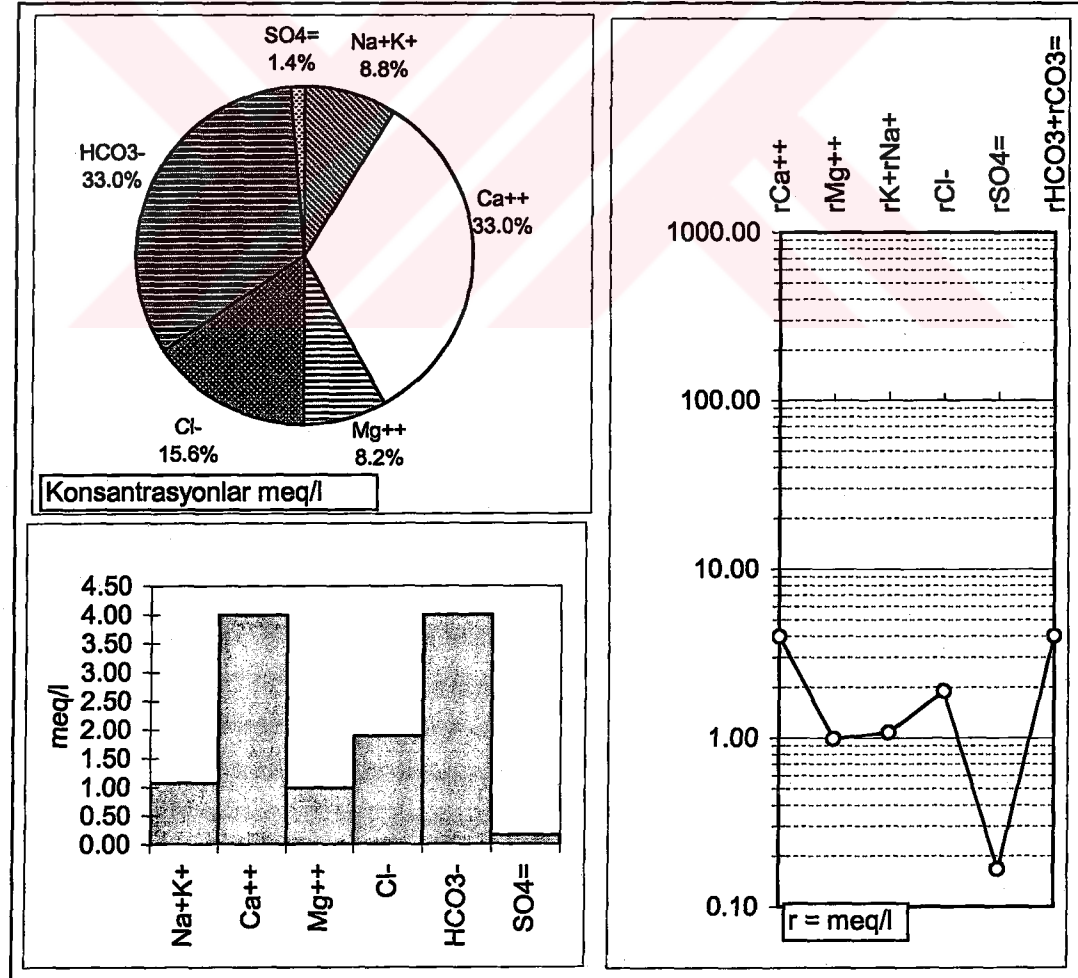
Örnek Adı ve Yeri (X/Y) : 2	21273/54611					pH(-logH)	7.2	
Örnekleme Tarihi ve Kaynak :	1979 Tunali (1980)			EC(µmho/cm)			603	
İYON	mg/l	meq/l	% meq/l	% mg/l	C (mol/l)	.5CZ ²	F	AC
Na ⁺	8	0.34	4.62	6.2	0.00034	0.0002	0.90	0.0003
K ⁺	1	0.02	0.27	0.6	0.00002	0.0000	0.90	0.0000
Ca ⁺⁺	80	4.00	54.35	64.0	0.00200	0.0040	0.67	0.0013
Mg ⁺⁺	36	3.00	40.75	29.1	0.00150	0.0030	0.68	0.0010
Cl ⁻	106	3.00	40.74	28.7	0.00300	0.0015	0.90	0.0027
HCO ₃ ⁻	256	4.20	57.08	69.2	0.00420	0.0021	0.90	0.0038
SO ₄ =	8	0.16	2.17	2.1	0.00008	0.0002	0.65	0.0001
Toplam Katyon Miktarı (meq/l)	7.359			Toplam Katyon Miktarı (mg/l)	125.2			
Toplam Anyon Miktarı (meq/l)	7.358			Toplam Anyon Miktarı (mg/l)	370.3			
Toplam İyon Miktarı (meq/l)	14.718			Toplam İyon Miktarı (mg/l)	495.5			
İyonlaşma Gücü (mol/l)	0.011			% e (Hata Yüzdesi)	0.01			
SAR (Sodyum Ad. Oranı) (%)	0.182			Sertlik (Fr)	35.00			
rCl / (rSO ₄ +rHCO ₃) Oranı	0.687			rCa/rMg Oranı	1.33			
SLc (Kalsit Doygunluk İndeksi)	0.061			SLj (Jips Doygunluk İndeksi)	-2.55			
SLd (Dolomit Doygunluk İndeksi)	0.014			LogPCO ₂ (CO ₂) Kısımlı Basıncı	-1.80			
Fo (Köptürme Katsayısı)	22.6			Si (mg / l)				
Hidrokimyasal fasiyes tipi: Ca-Mg-HCO ₃ -Cl	B ⁺⁺⁺ (mg / l)							



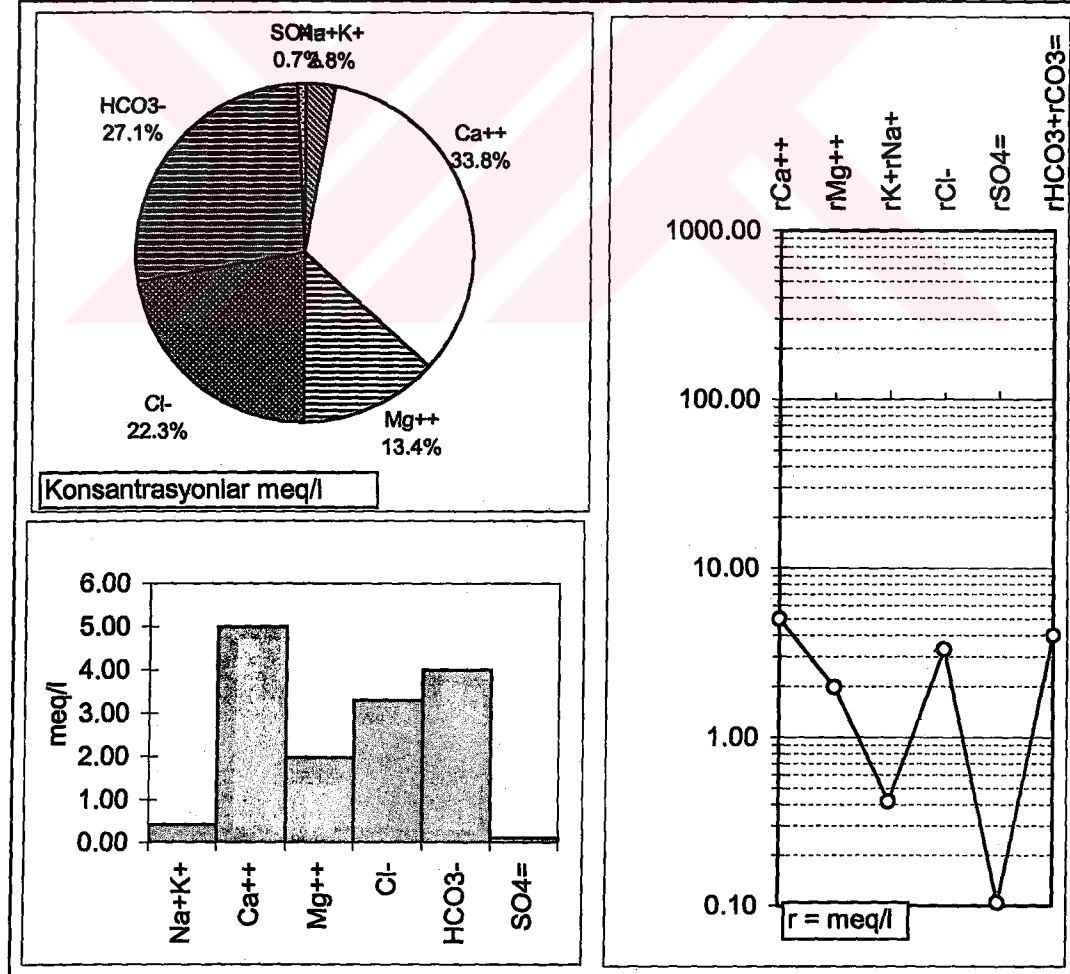
Örnek Adı ve Yeri (X/Y) : 3 17424/55667						pH(-logH)		7.7
Örnekleme Tarihi ve Kaynak :			1979	Tunah (1980)		EC(µmho/cm)		639
İYON	mg/l	meq/l	% meq/l	% mg/l	C (mol/l)	.5CZ ²	F	AC
Na ⁺	37	1.61	18.72	22.8	0.00161	0.0008	0.89	0.0014
K ⁺	1	0.03	0.30	0.6	0.00003	0.0000	0.89	0.0000
Ca ⁺⁺	100	4.99	58.03	61.7	0.00250	0.0050	0.65	0.0016
Mg ⁺⁺	24	1.97	22.95	14.8	0.00099	0.0020	0.67	0.0007
Cl ⁻	124	3.50	40.45	28.4	0.00350	0.0017	0.89	0.0031
HCO ₃ ⁻	305	5.00	57.86	70.0	0.00500	0.0025	0.89	0.0045
SO ₄ ⁼	7	0.15	1.69	1.6	0.00007	0.0001	0.64	0.0000
Toplam Katyon Miktarı (meq/l)				8.599	Toplam Katyon Miktarı (mg/l)		162.0	
Toplam Anyon Miktarı (meq/l)				8.641	Toplam Anyon Miktarı (mg/l)		436.0	
Toplam İyon Miktarı (meq/l)				17.240	Toplam İyon Miktarı (mg/l)		598.0	
İyonlaşma Gücü (mol/l)				0.012	% e (Hata Yüzdesi)		-0.24	
SAR (Sodyum Ad. Oranı) (%)				0.862	Sertlik (Fr)		34.82	
rCl / (rSO ₄ +rHCO ₃) Oranı				0.679	rCa/rMg Oranı		2.53	
SIc (Kalsit Doygunluk İndeksi)				0.723	SIj(Jips Doygunluk İndeksi)		-2.51	
SID(Dolomit Doygunluk İndeksi)				0.537	LogPCO ₂ (CO ₂) Kısımlı Basıncı		-2.23	
Fo (Köpürme Katsayısı)				101.8	Si (mg / l)			
Hidrokimyasal fasiyes tipi: Ca-Mg-HCO ₃ -Cl				B ⁺⁺⁺ (mg / l)				



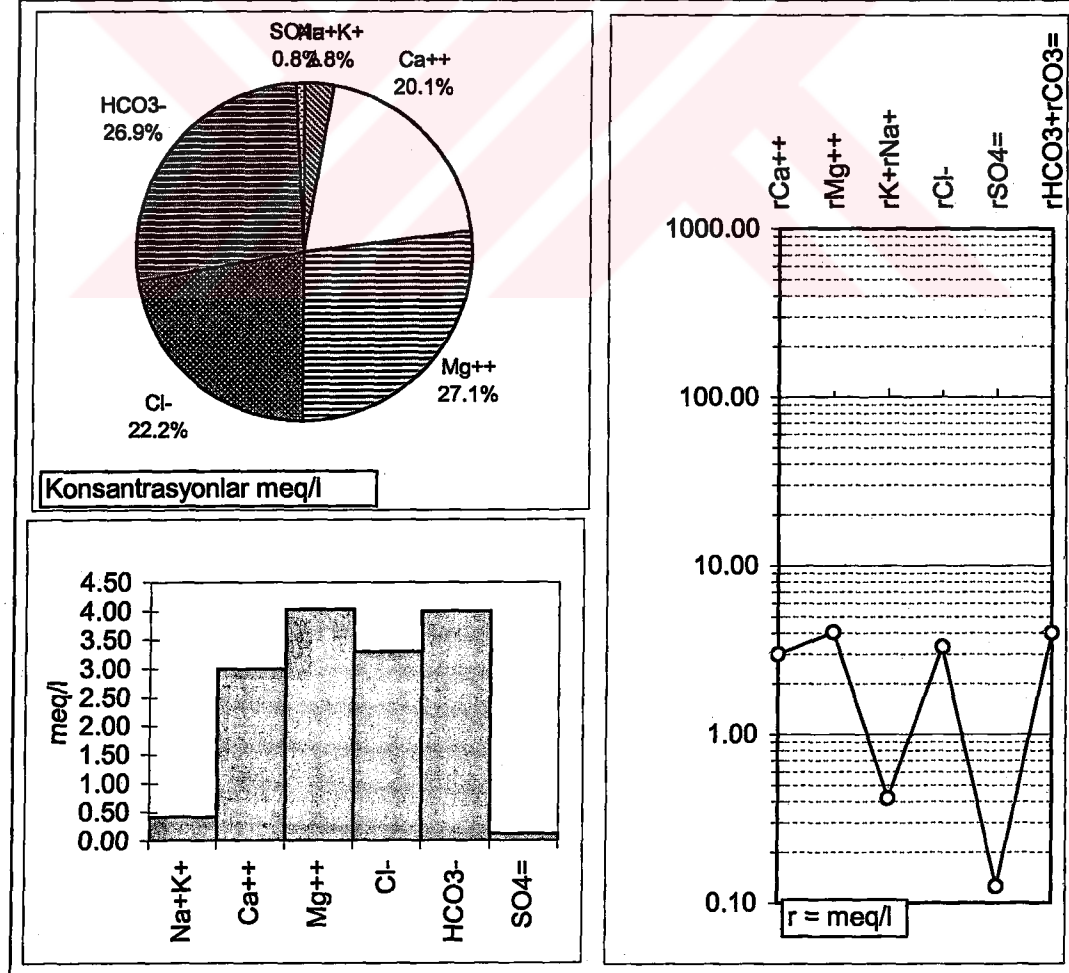
Örnek Adı ve Yeri (X/Y) : 4	15747/55232				pH(-logH)	7.6	
Örnekleme Tarihi ve Kaynak :	1979		Tunali (1980)		EC($\mu\text{mho}/\text{cm}$)	557	
İYON	mg/l	meq/l	% meq/l	% mg/l	C (mol/l)	.5CZ ²	F
Na ⁺	24	1.04	17.26	20.5	0.00104	0.0005	0.91
K ⁺	1	0.03	0.42	0.9	0.00003	0.0000	0.91
Ca ⁺⁺	80	3.99	66.00	68.4	0.00200	0.0040	0.69
Mg ⁺⁺	12	0.99	16.32	10.3	0.00049	0.0010	0.71
Cl ⁻	67	1.89	31.19	21.0	0.00189	0.0009	0.91
HCO ₃ ⁻	244	4.00	66.06	76.5	0.00400	0.0020	0.91
SO ₄ ⁼	8	0.17	2.75	2.5	0.00008	0.0002	0.68
Toplam Katyon Miktarı (meq/l)	6.048			Toplam Katyon Miktarı (mg/l)	117.0		
Toplam Anyon Miktarı (meq/l)	6.055			Toplam Anyon Miktarı (mg/l)	319.0		
Toplam İyon Miktarı (meq/l)	12.104			Toplam İyon Miktarı (mg/l)	436.0		
İyonlaşma Gücü (mol/l)	0.009			% e (Hata Yüzdesi)	-0.06		
SAR (Sodyum Ad. Oranı) (%)	0.662			Sertlik (Fr)	24.89		
rCl / (rSO ₄ +rHCO ₃) Oranı	0.453			rCa/rMg Oranı	4.05		
SIc (Kalsit Doygunluk İndeksi)	0.461			SIj (Jips Doygunluk İndeksi)	-2.50		
SID (Dolomit Doygunluk İndeksi)	0.171			LogPCO ₂ (CO ₂) Kısımlı Basıncı	-2.22		
Fo (Köpürme Katsayısı)	66.7			Si (mg/l)			
Hidrokimyasal fasiyes tipi: Ca-HCO ₃ -Cl	B ⁺⁺⁺ (mg/l)						



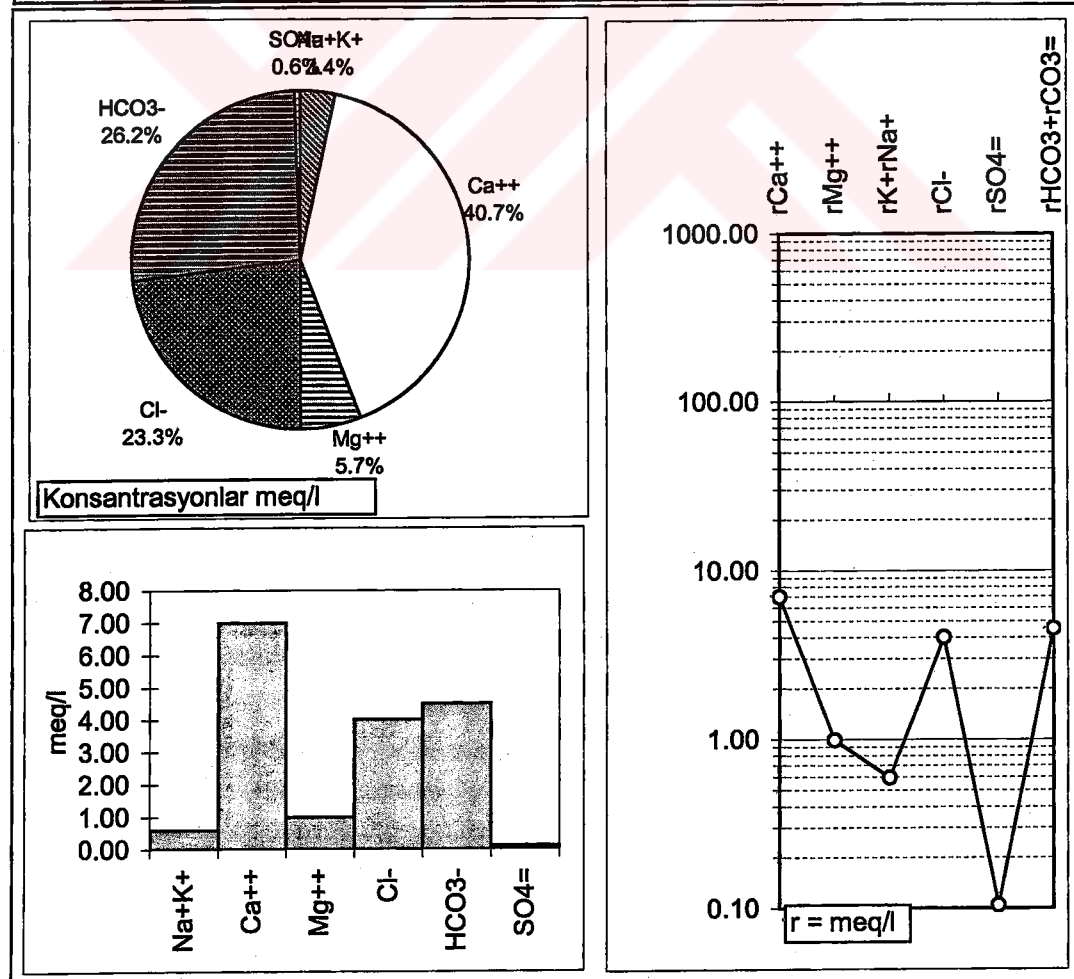
Örnek Adı ve Yeri (X/Y) : 5	22789/55878		pH(-logH)	7.7
Örnekleme Tarihi ve Kaynak:	1979	Tunalı (1980)	EC(µmho/cm)	421
İYON	mg/l	meq/l	% meq/l	% mg/l
Na ⁺	9	0.39	5.30	6.7
K ⁺	1	0.03	0.35	0.7
Ca ⁺⁺	100	4.99	67.61	74.6
Mg ⁺⁺	24	1.97	26.74	17.9
Cl ⁻	117	3.30	44.55	32.0
HCO ₃ ⁻	244	4.00	54.04	66.7
SO ₄ ⁼	5	0.10	1.41	1.4
Toplam Katyon Miktarı (meq/l)	7.381	Toplam Katyon Miktarı (mg/l)	134.0	
Toplam Anyon Miktarı (meq/l)	7.402	Toplam Anyon Miktarı (mg/l)	366.0	
Toplam İyon Miktarı (meq/l)	14.783	Toplam İyon Miktarı (mg/l)	500.0	
İyonlaşma Gücü (mol/l)	0.011	% e (Hata Yüzdesi)	-0.14	
SAR (Sodyum Ad. Oranı) (%)	0.210	Sertlik (Fr)	34.82	
rCl / (rSO ₄ +rHCO ₃) Oranı	0.804	rCa/rMg Oranı	2.53	
SIc (Kalsit Doygunluk İndeksi)	0.636	SIj(Jips Doygunluk İndeksi)	-2.64	
SID(Dolomit Doygunluk İndeksi)	0.450	LogPCO ₂ (CO ₂) Kısımlı Basıncı	-2.32	
Fo (Köpürme Katsayısı)	26.3	Si (mg / l)		
Hidrokimyasal fasiyes tipi: Ca-Mg-HCO ₃ -Cl	B ⁺⁺⁺ (mg / l)			



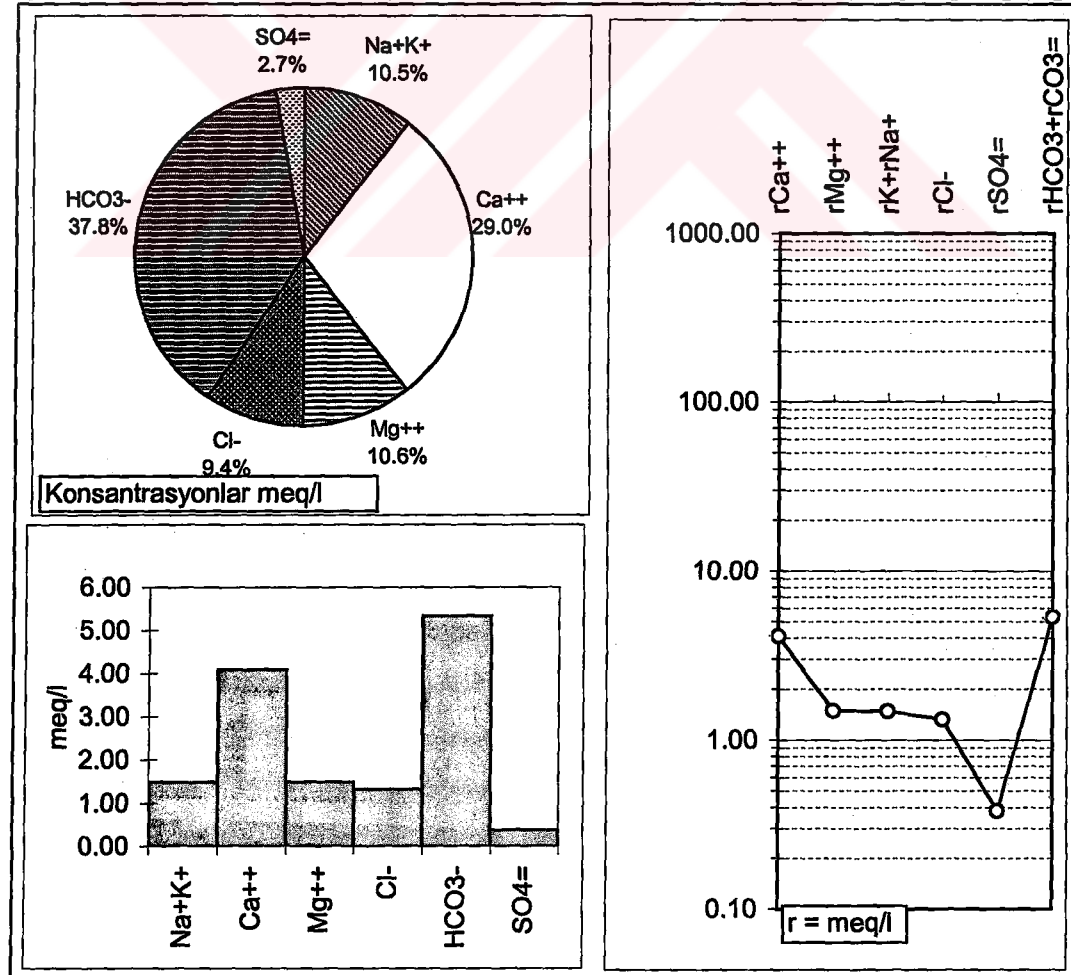
Örnek Adı ve Yeri (X/Y) : 6	23602/54679				pH(-logH)	7.5		
Örnekleme Tarihi ve Kaynak :	1980		Tunah (1980)		EC(µmho/cm)	510		
İYON	mg/l	meq/l	% meq/l	% mg/l	C (mol/l)	.5CZ ²	F	AC
Na ⁺	9	0.39	5.26	7.6	0.00039	0.0002	0.90	0.0004
K ⁺	1	0.03	0.34	0.8	0.00003	0.0000	0.89	0.0000
Ca ⁺⁺	60	2.99	40.24	50.4	0.00150	0.0030	0.67	0.0010
Mg ⁺⁺	49	4.03	54.16	41.2	0.00201	0.0040	0.68	0.0014
Cl ⁻	117	3.30	44.43	31.9	0.00330	0.0016	0.89	0.0030
HCO ₃ ⁻	244	4.00	53.89	66.5	0.00400	0.0020	0.90	0.0036
SO ₄ ⁼	6	0.13	1.68	1.6	0.00006	0.0001	0.65	0.0000
Toplam Katyon Miktarı (meq/l)				7.441	Toplam Katyon Miktarı (mg/l)			119.0
Toplam Anyon Miktarı (meq/l)				7.423	Toplam Anyon Miktarı (mg/l)			367.0
Toplam İyon Miktarı (meq/l)				14.863	Toplam İyon Miktarı (mg/l)			486.0
İyonlaşma Gücü (mol/l)				0.011	% e (Hata Yüzdesi)			0.12
SAR (Sodyum Ad. Oranı) (%)				0.209	Sertlik (Fr)			35.12
rCl / (rSO ₄ +rHCO ₃) Oranı				0.799	rCa/rMg Oranı			0.74
SIc (Kalsit Doygunluk İndeksi)				0.214	SIj(Jips Doygunluk İndeksi)			-2.78
SId(Dolomit Doygunluk İndeksi)				0.293	LogPCO ₂ (CO ₂) Kısımlı Basıncı			-2.12
Fo (Köpürme Katsayısı)				26.3	Si (mg / l)			
Hidrokimyasal fasyes tipi: Mg-Ca-HCO ₃ -Cl				B ⁺⁺⁺ (mg / l)				



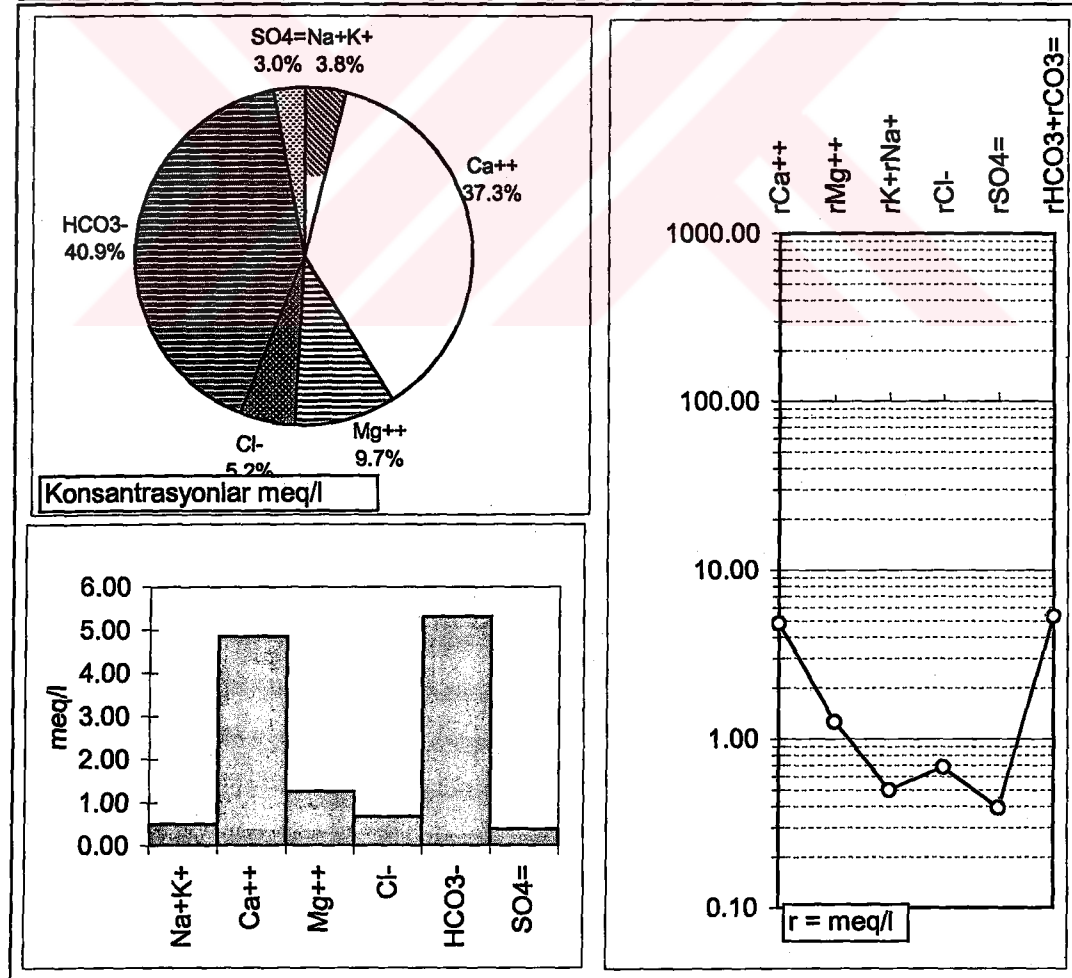
Örnek Adı ve Yeri (X/Y) : 7			19254/56672		pH(-logH)		7.4
Örnekleme Tarihi ve Kaynak :			1979	Tunalı (1980)	EC(µmho/cm)		635
İYON	mg/l	meq/l	% meq/l	% mg/l	C (mol/l)	.5CZ ²	F
Na ⁺	13	0.57	6.60	7.8	0.00057	0.0003	0.89
K ⁺	1	0.03	0.30	0.6	0.00003	0.0000	0.89
Ca ⁺⁺	140	6.99	81.57	84.3	0.00349	0.0070	0.65
Mg ⁺⁺	12	0.99	11.52	7.2	0.00049	0.0010	0.67
Cl ⁻	142	4.00	46.50	33.7	0.00400	0.0020	0.89
HCO ₃ ⁻	275	4.50	52.29	65.1	0.00450	0.0023	0.89
SO ₄ =	5	0.10	1.21	1.2	0.00005	0.0001	0.63
Toplam Katyon Miktarı (meq/l)			8.564	Toplam Katyon Miktarı (mg/l)		166.0	
Toplam Anyon Miktarı (meq/l)			8.607	Toplam Anyon Miktarı (mg/l)		421.5	
Toplam İyon Miktarı (meq/l)			17.171	Toplam İyon Miktarı (mg/l)		587.5	
İyonlaşma Gücü (mol/l)			0.013	% e (Hata Yüzdesi)		-0.25	
SAR (Sodyum Ad. Oranı) (%)			0.283	Sertlik (Fr)		39.86	
rCl / (rSO ₄ +rHCO ₃) Oranı			0.869	rCa/rMg Oranı		7.08	
SIc (Kalsit Doygunluk İndeksi)			0.520	SIj (Jips Doygunluk İndeksi)		-2.52	
SID (Dolomit Doygunluk İndeksi)			0.110	LogPCO ₂ (CO ₂) Kısımlı Basıncı		-1.98	
Fo (Köpürme Katsayısı)			37.1	Si (mg / l)			
Hidrokimyasal fasiyes tipi: Ca-HCO ₃ -Cl			B ⁺⁺⁺ (mg / l)				



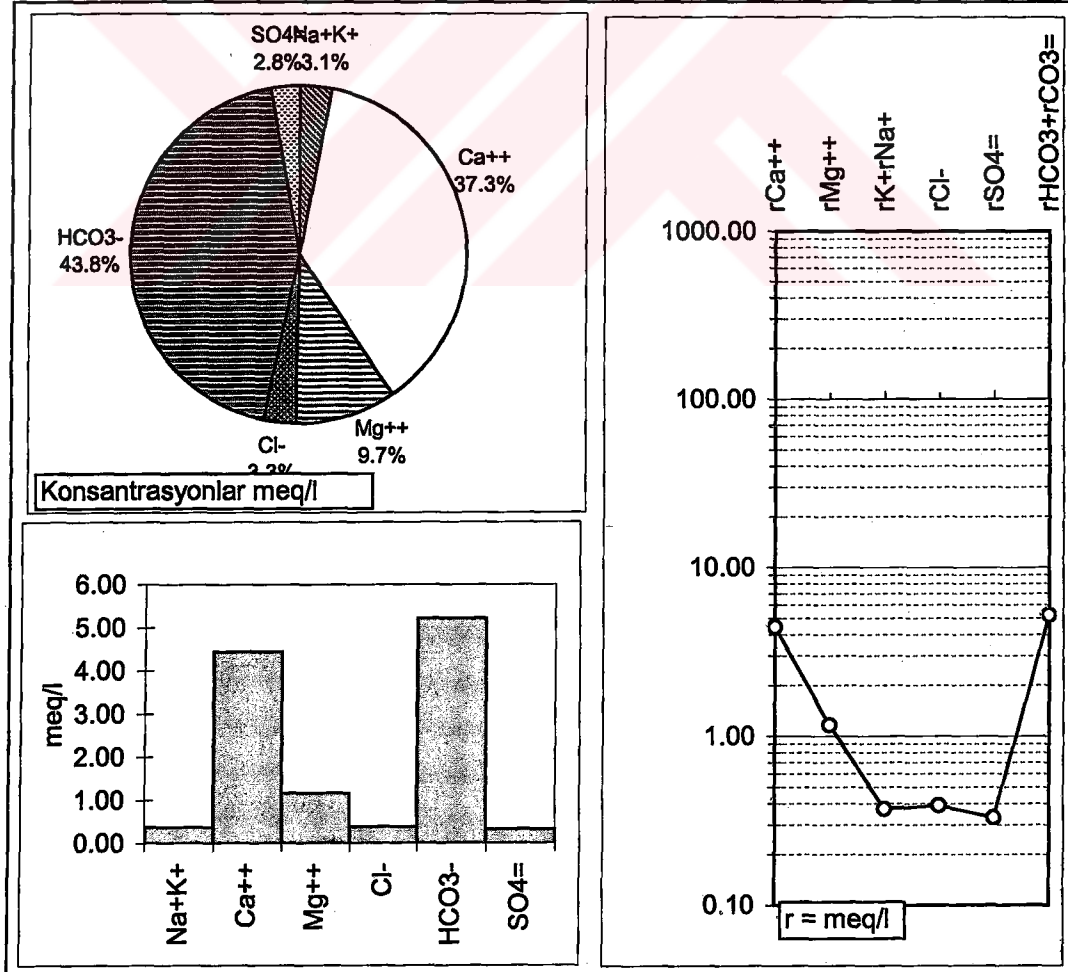
Örnek Adı ve Yeri (X/Y) : 8	15788/55397		pH(-logH)	7.5
Örnekleme Tarihi v Kaynak :	1981	Türkman (1981)	EC(µmho/cm)	622
İYON	mg/l	meq/l	% meq/l	% mg/l
Na ⁺	31	1.37	19.38	23.2
K ⁺	4	0.11	1.56	3.2
Ca ⁺⁺	82	4.09	57.97	60.4
Mg ⁺⁺	18	1.49	21.09	13.3
Cl ⁻	47	1.32	18.76	12.0
HCO ₃ ⁻	325	5.33	75.83	83.3
SO ₄ =	18	0.38	5.41	4.7
Toplam Katyon Miktarı (meq/l)	7.059	Toplam Katyon Miktarı (mg/l)	135.9	
Toplam Anyon Miktarı (meq/l)	7.030	Toplam Anyon Miktarı (mg/l)	390.2	
Toplam İyon Miktarı (meq/l)	14.088	Toplam İyon Miktarı (mg/l)	526.1	
İyonlaşma Gücü (mol/l)	0.010	% e (Hata Yüzdesi)	0.20	
SAR (Sodyum Ad. Oranı) (%)	0.819	Sertlik (Fr)	27.90	
rCl / (rSO ₄ +rHCO ₃) Oranı	0.231	rCa/rMg Oranı	2.75	
SIc (Kalsit Doygunluk İndeksi)	0.483	SIj (Jips Doygunluk İndeksi)	-2.15	
SID (Dolomit Doygunluk İndeksi)	0.278	LogPCO ₂ (CO ₂) Kismi Basıncı	-2.00	
Fo (Köpürme Katsayısı)	93.4	Si (mg / l)		
Hidrokimyasal fasiyes tipi: Ca-Mg-HCO ₃	B ⁺⁺⁺ (mg / l)			



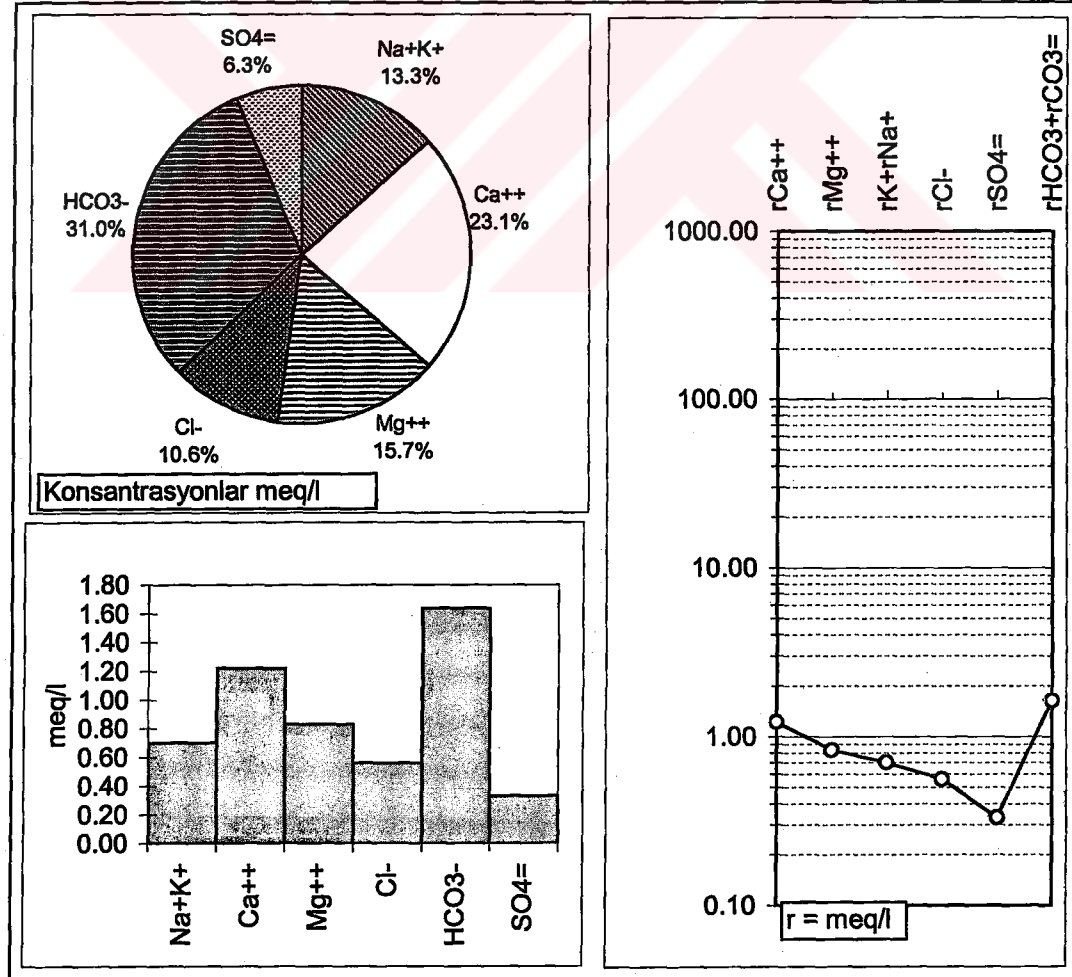
Örnek Adı ve Yeri (X/Y) : 9				22787/54669		pH(-logH)		7.4
Örnekleme Tarihi ve Kaynak :				1981	Türkman (1981)	EC(µmho/cm)	595	
İYON	mg/l	meq/l	% meq/l	% mg/l	C (mol/l)	.5CZ ²	F	AC
Na ⁺	11	0.48	7.26	8.9	0.00048	0.0002	0.90	0.0004
K ⁺	1	0.02	0.30	0.6	0.00002	0.0000	0.90	0.0000
Ca ⁺⁺	97	4.85	73.39	78.2	0.00242	0.0048	0.68	0.0016
Mg ⁺⁺	15	1.26	19.05	12.3	0.00063	0.0013	0.69	0.0004
Cl ⁻	24	0.68	10.65	6.6	0.00068	0.0003	0.90	0.0006
HCO ₃ ⁻	324	5.31	83.23	88.3	0.00531	0.0027	0.90	0.0048
SO ₄ =	19	0.39	6.12	5.1	0.00020	0.0004	0.66	0.0001
Toplam Katyon Miktarı (meq/l)				6.609	Toplam Katyon Miktarı (mg/l)		124.3	
Toplam Anyon Miktarı (meq/l)				6.380	Toplam Anyon Miktarı (mg/l)		366.8	
Toplam İyon Miktarı (meq/l)				12.989	Toplam İyon Miktarı (mg/l)		491.1	
İyonlaşma Gücü (mol/l)				0.010	% e (Hata Yüzdesi)		1.76	
SAR (Sodyum Ad. Oranı) (%)				0.275	Sertlik (Fr)		30.54	
rCl / (rSO ₄ +rHCO ₃) Oranı				0.119	rCa/rMg Oranı		3.85	
SIc (Kalsit Doygunluk İndeksi)				0.457	SIj (Jips Doygunluk İndeksi)		-2.06	
SId(Dolomit Doygunluk İndeksi)				0.179	LogPCO ₂ (CO ₂) Kısımlı Basıncı		-1.90	
Fo (Köpürme Katsayısı)				31.3	Si (mg / l)			
Hidrokimyasal fasiyes tipi: Ca-HCO ₃				B ⁺⁺⁺ (mg / l)				



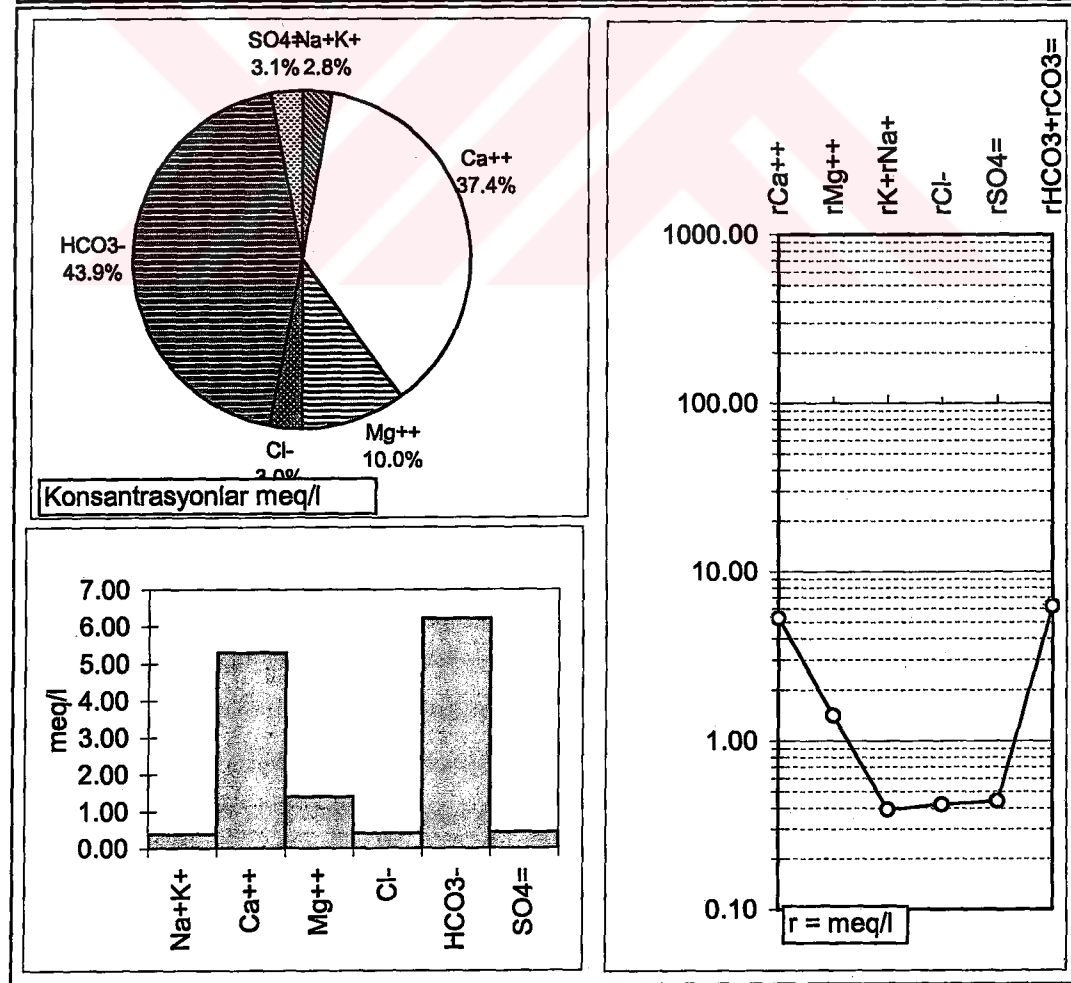
Örnek Adı ve Yeri (X/Y) : 10	23927/53762			pH(-logH)		7.5	
Örneklemme Tarihi ve Kaynak :	1981		Türkman (1981)	EC(umho/cm)		523	
İYON	mg/l	meq/l	1981	% mg/l	C (mol/l)	.5CZ ²	F
Na ⁺	8	0.33	5.53	6.8	0.00033	0.0002	0.91
K ⁺	2	0.04	0.67	1.4	0.00004	0.0000	0.90
Ca ⁺⁺	89	4.44	74.38	79.3	0.00222	0.0044	0.69
Mg ⁺⁺	14	1.16	19.42	12.6	0.00058	0.0012	0.70
Cl ⁻	14	0.39	6.57	4.0	0.00039	0.0002	0.90
HCO ₃ ⁻	318	5.21	87.86	91.5	0.00521	0.0026	0.91
SO ₄ ⁼	16	0.33	5.57	4.6	0.00017	0.0003	0.67
Toplam Katyon Miktarı (meq/l)			5.970	Toplam Katyon Miktarı (mg/l)			112.2
Toplam Anyon Miktarı (meq/l)			5.931	Toplam Anyon Miktarı (mg/l)			347.5
Toplam İyon Miktarı (meq/l)			11.900	Toplam İyon Miktarı (mg/l)			459.8
İyonlaşma Gücü (mol/l)			0.009	% e (Hata Yüzdesi)			0.33
SAR (Sodyum Ad. Oranı) (%)			0.197	Sertlik (Fr)			28.00
rCl / (rSO ₄ +rHCO ₃) Oranı			0.070	rCa/rMg Oranı			3.83
SiC (Kalsit Doygunluk İndeksi)			0.519	SiJ (Jips Doygunluk İndeksi)			-2.16
SiD (Dolomit Doygunluk İndeksi)			0.241	LogPCO ₂ (CO ₂) Kısımlı Basıncı			-2.01
Fo (Köpürme Katsayısı)			23.6	Si (mg / l)			
Hidrokimyasal fasiyes tipi: Ca-HCO ₃				B ⁺⁺⁺ (mg / l)			



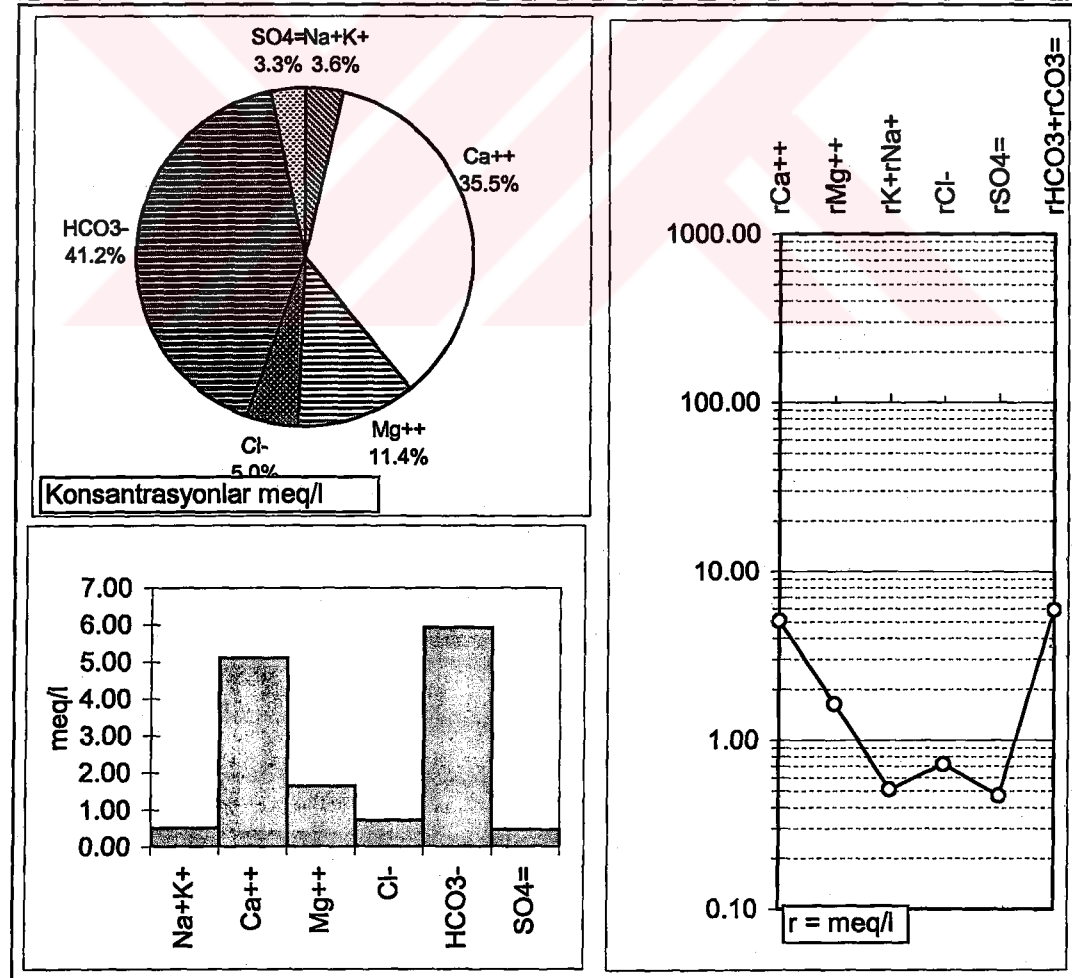
Örnek Adı ve Yeri (X/Y) : 11 19899/57708						pH(-logH)		6.9
Örnekleme Tarihi ve Kaynak :				1981	Türkman (1981)	EC($\mu\text{mho}/\text{cm}$)	257	
İYON	mg/l	meq/l	1981	% mg/l	C (mol/l)	.5CZ ²	F	AC
Na ⁺	12	0.51	18.54	21.8	0.00051	0.0003	0.94	0.0005
K ⁺	7	0.19	6.93	13.8	0.00019	0.0001	0.93	0.0002
Ca ⁺⁺	24	1.22	44.36	45.5	0.00061	0.0012	0.77	0.0005
Mg ⁺⁺	10	0.83	30.17	18.8	0.00041	0.0008	0.78	0.0003
Cl ⁻	20	0.56	22.14	14.6	0.00056	0.0003	0.93	0.0005
HCO ₃ ⁻	100	1.64	64.80	73.7	0.00164	0.0008	0.94	0.0015
SO ₄ ⁼	16	0.33	13.07	11.7	0.00017	0.0003	0.77	0.0001
Toplam Katyon Miktarı (meq/l)	2.750					Toplam Katyon Miktarı (mg/l)	53.7	
Toplam Anyon Miktarı (meq/l)	2.527					Toplam Anyon Miktarı (mg/l)	135.6	
Toplam İyon Miktarı (meq/l)	5.278					Toplam İyon Miktarı (mg/l)	189.3	
İyonlaşma Gücü (mol/l)	0.004					% e (Hata Yüzdesi)	4.22	
SAR (Sodyum Ad. Oranı) (%)	0.504					Sertlik (Fr)	10.25	
rCl / (rSO ₄ +rHCO ₃) Oranı	0.284					rCa/rMg Oranı	1.47	
Slc (Kalsit Doygunluk İndeksi)	-1.082					Slj(Jips Doygunluk İndeksi)	-2.62	
SlD(Dolomit Doygunluk İndeksi)	-1.153					LogPCO ₂ (CO ₂) Kısımlı Basıncı	-1.89	
Fo (Köpürme Katsayısı)	46.5					Si (mg / l)		
Hidrokimyasal fasiyes tipi: Ca-Mg-HCO ₃ -Cl	B ⁺⁺⁺ (mg / l)							



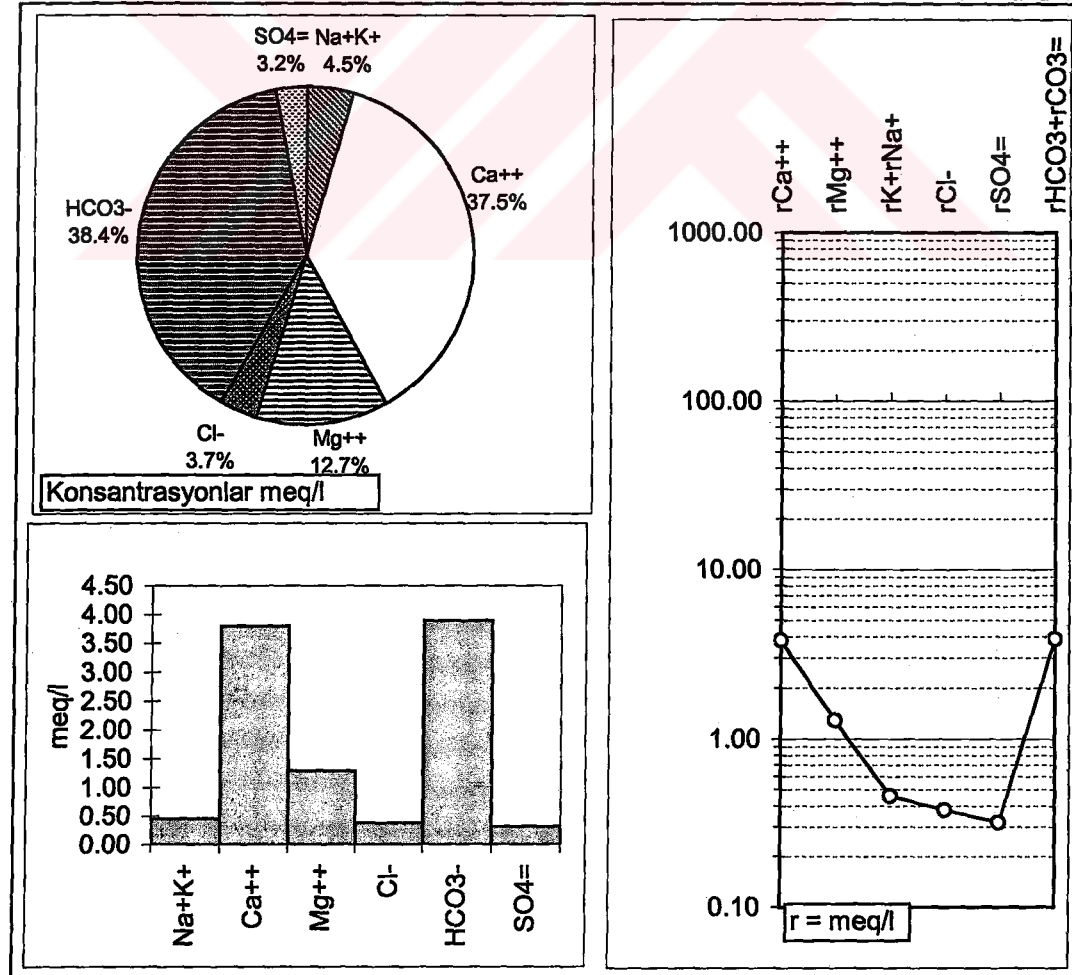
Örnek Adı ve Yeri (X/Y) : 12			21004/54454		pH(-logH)			7.4
Örnekleme Tarihi ve Kaynak :			1981	Türkman (1981)	EC(µmho/cm)			601
İYON	mg/l	meq/l	meq/l	% mg/l	C (mol/l)	.5CZ ²	F	AC
Na ⁺	9	0.37	5.22	6.4	0.00037	0.0002	0.90	0.0003
K ⁺	1	0.02	0.28	0.6	0.00002	0.0000	0.90	0.0000
Ca ⁺⁺	106	5.29	74.61	80.0	0.00264	0.0053	0.67	0.0018
Mg ⁺⁺	17	1.41	19.88	12.9	0.00070	0.0014	0.68	0.0005
Cl ⁻	15	0.42	5.94	3.6	0.00042	0.0002	0.90	0.0004
HCO ₃ ⁻	379	6.21	87.84	91.3	0.00621	0.0031	0.90	0.0056
SO ₄ ⁼	21	0.44	6.23	5.1	0.00022	0.0004	0.65	0.0001
Toplam Katyon Miktarı (meq/l)			7.090	Toplam Katyon Miktarı (mg/l)			132.4	
Toplam Anyon Miktarı (meq/l)			7.071	Toplam Anyon Miktarı (mg/l)			414.9	
Toplam İyon Miktarı (meq/l)			14.160	Toplam İyon Miktarı (mg/l)			547.3	
İyonlaşma Gücü (mol/l)			0.011	% e (Hata Yüzdesi)			0.13	
SAR (Sodyum Ad. Oranı) (%)			0.202	Sertlik (Fr)			33.50	
rCl / (rSO ₄ +rHCO ₃) Oranı			0.063	rCa/rMg Oranı			3.75	
SIc (Kalsit Doygunluk İndeksi)			0.555	SIj(Jips Doygunluk İndeksi)			-1.98	
SId(Dolomit Doygunluk İndeksi)			0.283	LogPCO ₂ (CO ₂) Kısımlı Basıncı			-1.83	
Fo (Köptürme Katsayısı)			24.5	Si (mg / l)				
Hidrokimyasal fasiyes tipi: Ca-HCO ₃				B ⁺⁺⁺ (mg / l)				



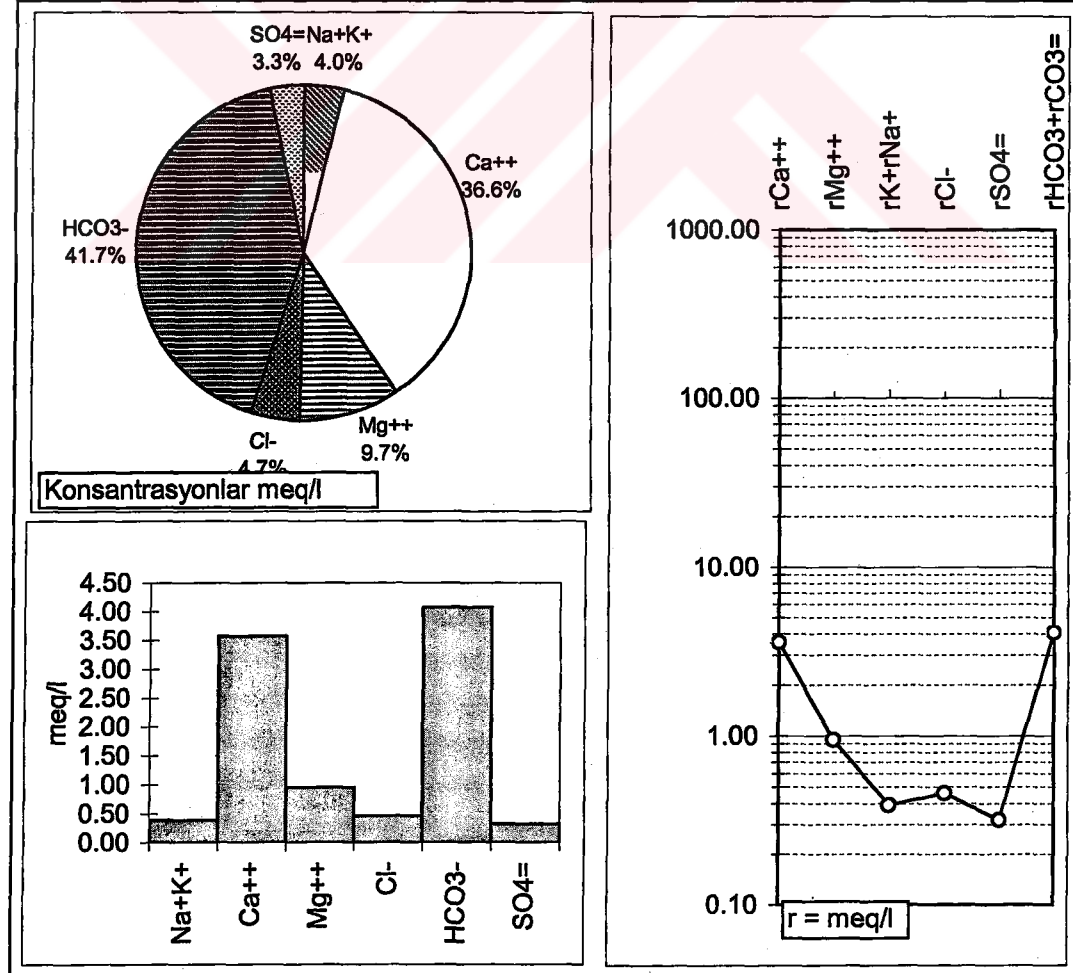
Örnek Adı ve Yeri (X/Y) : 13	19836/54697			pH(-logH)			7.4	
Örnekleme Tarihi ve Kaynak :	1981		Türkman (1981)	EC(µmho/cm)			640	
İYON	mg/l	meq/l	meq/l	% mg/l	C (mol/l)	.SCZ ²	F	AC
Na ⁺	11	0.48	6.62	8.2	0.00048	0.0002	0.90	0.0004
K ⁺	1	0.03	0.41	0.9	0.00003	0.0000	0.90	0.0000
Ca ⁺⁺	102	5.10	70.35	76.1	0.00255	0.0051	0.67	0.0017
Mg ⁺⁺	20	1.64	22.61	14.8	0.00082	0.0016	0.68	0.0006
Cl ⁻	26	0.72	10.12	6.2	0.00072	0.0004	0.90	0.0006
HCO ₃ ⁻	361	5.92	83.27	88.2	0.00592	0.0030	0.90	0.0053
SO ₄ ⁼	23	0.47	6.61	5.5	0.00024	0.0005	0.65	0.0002
Toplam Katyon Miktarı (meq/l)	7.249			Toplam Katyon Miktarı (mg/l)	134.3			
Toplam Anyon Miktarı (meq/l)	7.111			Toplam Anyon Miktarı (mg/l)	409.3			
Toplam İyon Miktarı (meq/l)	14.360			Toplam İyon Miktarı (mg/l)	543.6			
İyonlaşma Gücü (mol/l)	0.011			% e (Hata Yüzdesi)	0.96			
SAR (Sodyum Ad. Oranı) (%)	0.262			Sertlik (Fr)	33.69			
rCl / (rSO ₄ +rHCO ₃) Oranı	0.113			rCa/rMg Oranı	3.11			
Slc (Kalsit Doygunluk İndeksi)	0.517			Slj (Jips Doygunluk İndeksi)	-1.97			
SlD (Dolomit Doygunluk İndeksi)	0.285			LogPCO ₂ (CO ₂) Kısımlı Basıncı	-1.85			
Fo (Köpürme Katsayısı)	32.1			Si (mg / l)				
Hidrokimyasal fasiyes tipi: Ca-Mg-HCO ₃	B ⁺⁺⁺ (mg / l)							



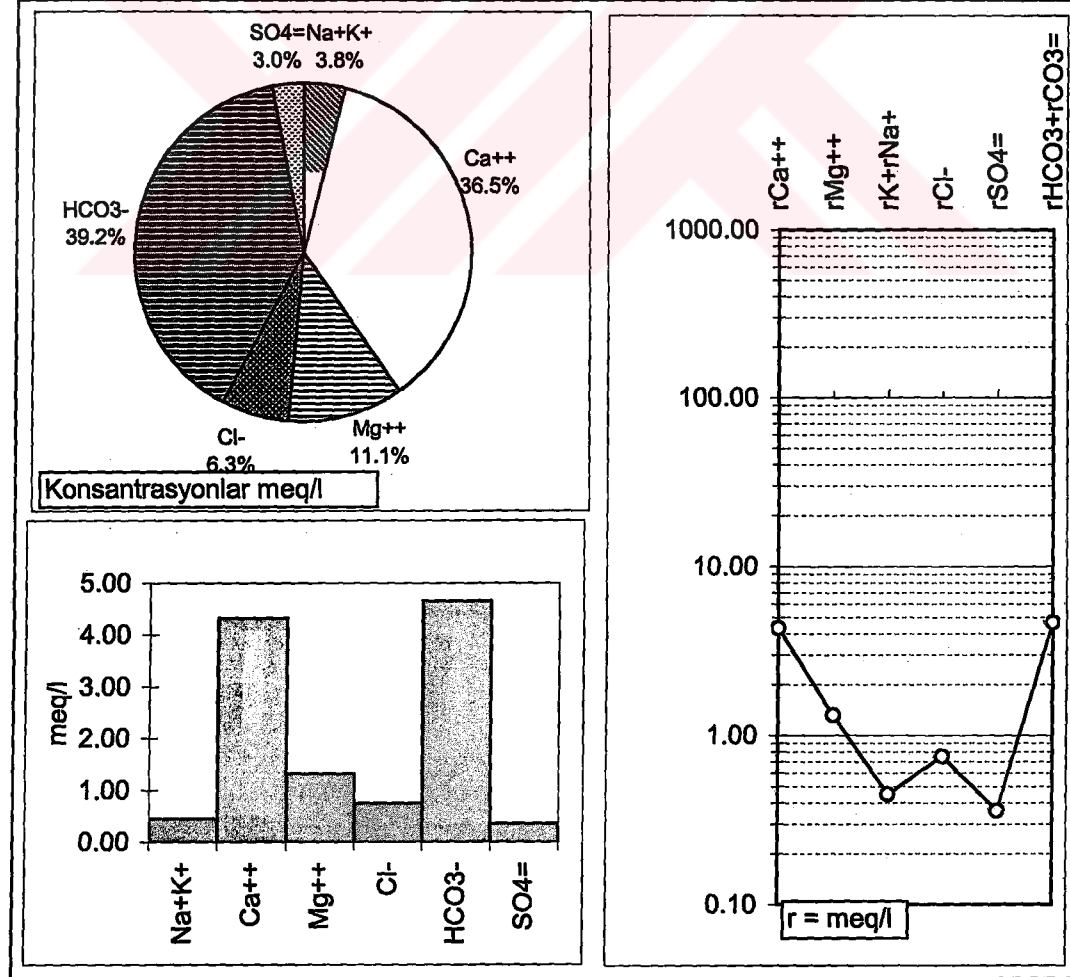
Örnek Adı ve Yeri (X/Y) : 14			17228/55464			pH(-logH)		7.6
Örnekleme Tarihi ve Kaynak :			1981	Türkman (1981)			EC(μmho/cm)	485
İYON	mg/l	meq/l	meq/l	% mg/l	C (mol/l)	.5CZ ²	F	AC
Na ⁺	10	0.44	7.92	9.8	0.00044	0.0002	0.91	0.0004
K ⁺	1	0.02	0.36	0.8	0.00002	0.0000	0.91	0.0000
Ca ⁺⁺	76	3.80	68.48	74.1	0.00190	0.0038	0.70	0.0013
Mg ⁺⁺	16	1.29	23.24	15.3	0.00064	0.0013	0.72	0.0005
Cl ⁻	13	0.38	8.27	5.1	0.00038	0.0002	0.91	0.0003
HCO ₃ ⁻	237	3.89	84.76	89.2	0.00389	0.0019	0.91	0.0035
SO ₄ =	15	0.32	6.97	5.8	0.00016	0.0003	0.69	0.0001
Toplam Katyon Miktarı (meq/l)			5.549	Toplam Katyon Miktarı (mg/l)			102.7	
Toplam Anyon Miktarı (meq/l)			4.591	Toplam Anyon Miktarı (mg/l)			266.2	
Toplam İyon Miktarı (meq/l)			10.140	Toplam İyon Miktarı (mg/l)			368.9	
İyonlaşma Gücü (mol/l)			0.008	% e (Hata Yüzdesi)			9.45	
SAR (Sodyum Ad. Oranı) (%)			0.276	Sertlik (Fr)			25.45	
rCl / (rSO ₄ +rHCO ₃) Oranı			0.090	rCa/rMg Oranı			2.95	
Slc (Kalsit Doygunluk İndeksi)			0.436	Slj(Jips Doygunluk İndeksi)			-2.22	
SId(Dolomit Doygunluk İndeksi)			0.215	LogPCO ₂ (CO ₂) Kısımlı Basıncı			-2.23	
Fo (Köpürme Katsayısı)			28.8	Si (mg / l)				
Hidrokimyasal fasiyes tipi: Ca-Mg-HCO ₃			B ⁺⁺⁺ (mg / 1)					



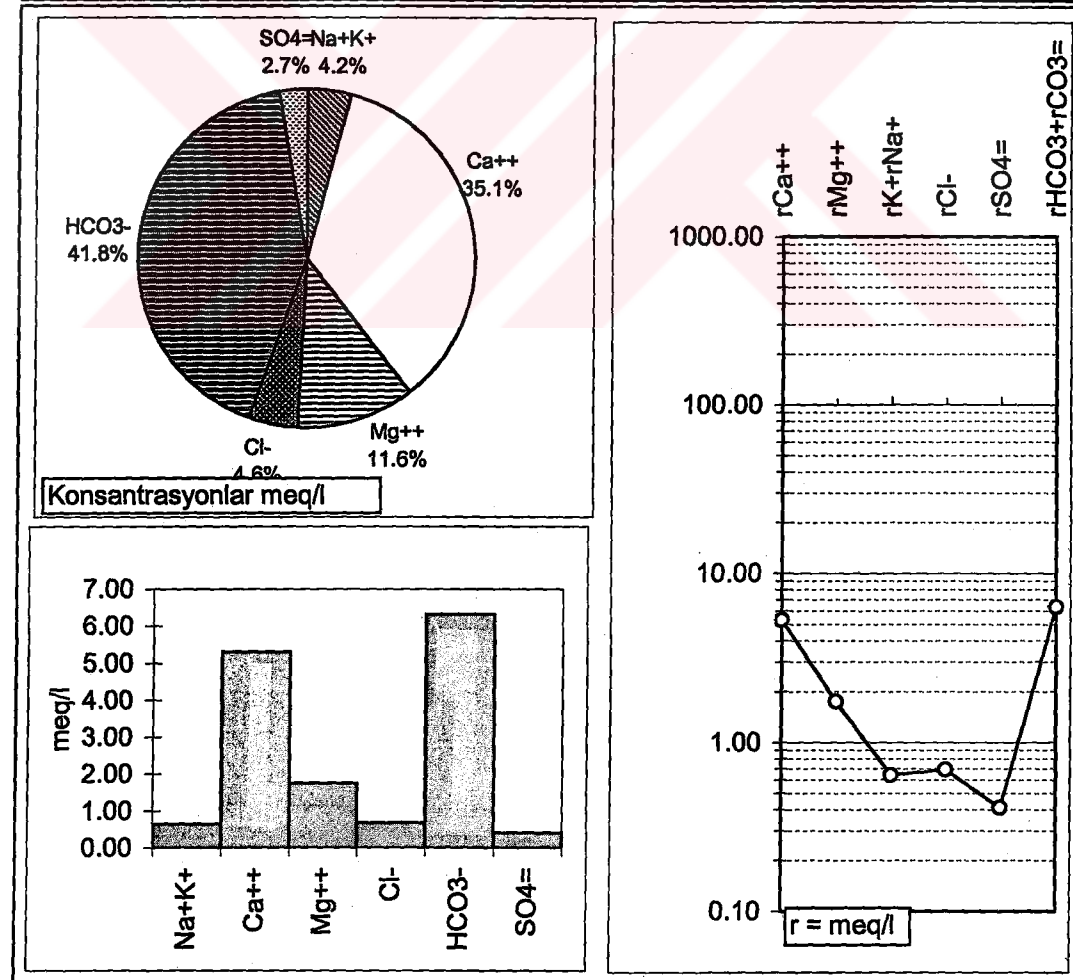
Örnek Adı ve Yeri (X/Y) : 15		20000/56386				pH(-logH)		7.4
Örnekleme Tarihi ve Kaynak :		1981		Türkman (1981)		EC($\mu\text{mho}/\text{cm}$)		442
İYON	mg/l	meq/l	meq/l	% mg/l	C (mol/l)	.SCZ ²	F	AC
Na ⁺	9	0.37	7.54	9.2	0.00037	0.0002	0.91	0.0003
K ⁺	1	0.02	0.41	0.8	0.00002	0.0000	0.91	0.0000
Ca ⁺⁺	72	3.57	72.71	77.4	0.00178	0.0036	0.71	0.0013
Mg ⁺⁺	12	0.95	19.35	12.5	0.00047	0.0009	0.72	0.0003
Cl ⁻	16	0.46	9.48	5.8	0.00046	0.0002	0.91	0.0004
HCO ₃ ⁻	248	4.07	83.92	88.7	0.00407	0.0020	0.91	0.0037
SO ₄ ⁼	15	0.32	6.60	5.5	0.00016	0.0003	0.70	0.0001
Toplam Katyon Miktarı (meq/l)			4.910	Toplam Katyon Miktarı (mg/l)				92.4
Toplam Anyon Miktarı (meq/l)			4.850	Toplam Anyon Miktarı (mg/l)				280.0
Toplam İyon Miktarı (meq/l)			9.760	Toplam İyon Miktarı (mg/l)				372.4
İyonlaşma Gücü (mol/l)			0.007	% e (Hata Yüzdesi)				0.61
SAR (Sodyum Ad. Oranı) (%)			0.246	Sertlik (Fr)				22.60
rCl / (rSO ₄ +rHCO ₃) Oranı			0.105	rCa/rMg Oranı				3.76
SIc (Kalsit Doygunluk İndeksi)			0.234	SIj(Jips Doygunluk İndeksi)				-2.24
SI _d (Dolomit Doygunluk İndeksi)			-0.040	LogPCO ₂ (CO ₂) Kısımlı Basıncı				-2.01
Fo (Köptürme Katsayısı)			24.5	Si (mg / l)				
Hidrokimyasal fasiyes tipi: Ca-HCO ₃				B ⁺⁺⁺ (mg / l)				



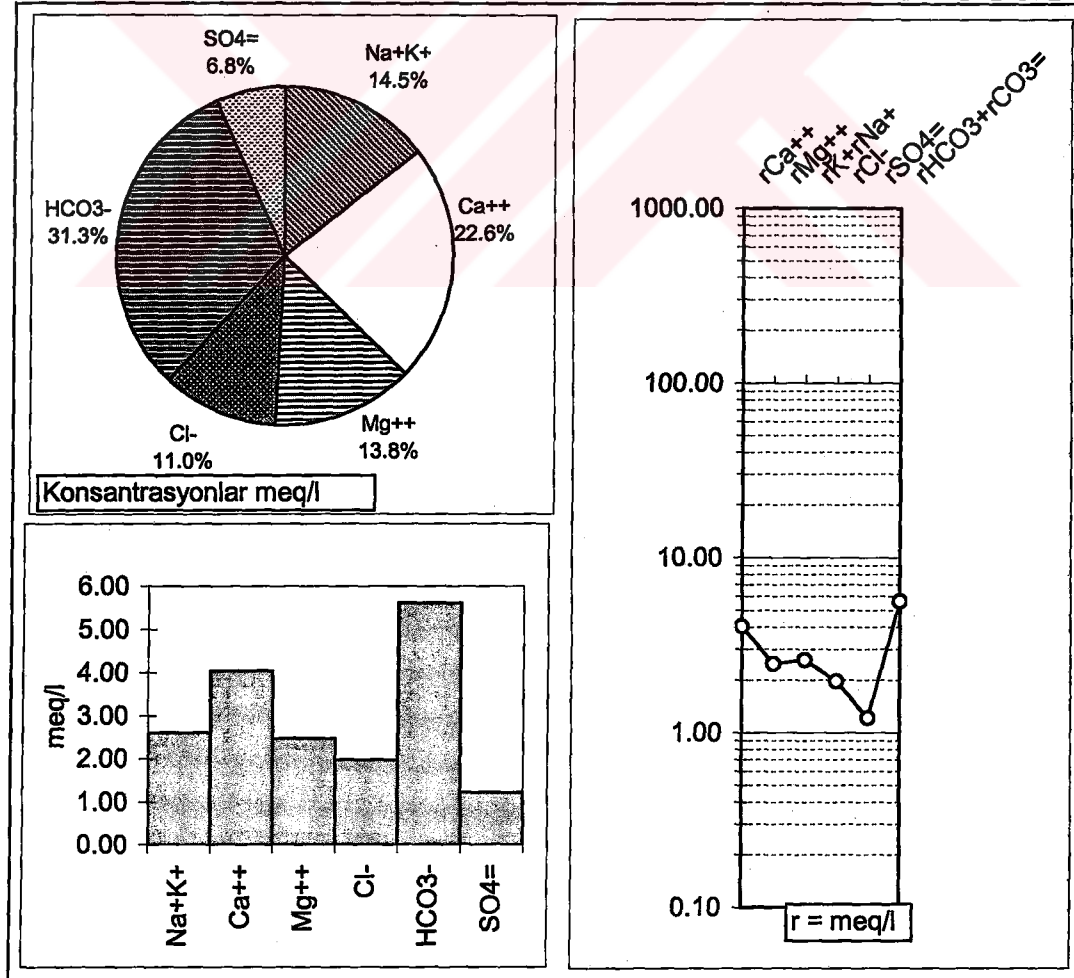
Örnek Adı ve Yeri (X/Y) : 16			19745/55815		pH(-logH)			7.4
Örnekleme Tarihi ve Kaynak :			1981	Türkman (1981)	EC(µmho/cm)			552
İYON	mg/l	meq/l	meq/l	% mg/l	C (mol/l)	.5CZ ²	F	AC
Na ⁺	10	0.43	7.06	8.7	0.00043	0.0002	0.91	0.0004
K ⁺	1	0.02	0.33	0.7	0.00002	0.0000	0.90	0.0000
Ca ⁺⁺	87	4.32	70.95	76.4	0.00216	0.0043	0.69	0.0015
Mg ⁺⁺	16	1.32	21.66	14.2	0.00066	0.0013	0.70	0.0005
Cl ⁻	27	0.75	13.01	8.1	0.00075	0.0004	0.90	0.0007
HCO ₃ ⁻	284	4.65	80.74	86.6	0.00465	0.0023	0.91	0.0042
SO ₄ ⁼	17	0.36	6.25	5.3	0.00018	0.0004	0.67	0.0001
Toplam Katyon Miktarı (meq/l)			6.089	Toplam Katyon Miktarı (mg/l)			113.3	
Toplam Anyon Miktarı (meq/l)			5.760	Toplam Anyon Miktarı (mg/l)			327.6	
Toplam İyon Miktarı (meq/l)			11.849	Toplam İyon Miktarı (mg/l)			440.8	
İyonlaşma Gücü (mol/l)			0.009	% e (Hata Yüzdesi)			2.77	
SAR (Sodyum Ad. Oranı) (%)			0.256	Sertlik (Fr)			28.19	
rCl / (rSO ₄ +rHCO ₃) Oranı			0.150	rCa/rMg Oranı			3.27	
SIc (Kalsit Doygunluk İndeksi)			0.357	SIj(Jips Doygunluk İndeksi)			-2.13	
SID(Dolomit Doygunluk İndeksi)			0.114	LogPCO ₂ (CO ₂) Kısımlı Basıncı			-1.96	
Fo (Köpürme Katsayısı)			28.2	Si (mg / l)				
Hidrokimyasal fasiyes tipi: Ca-Mg-HCO ₃			B ⁺⁺⁺ (mg / l)					



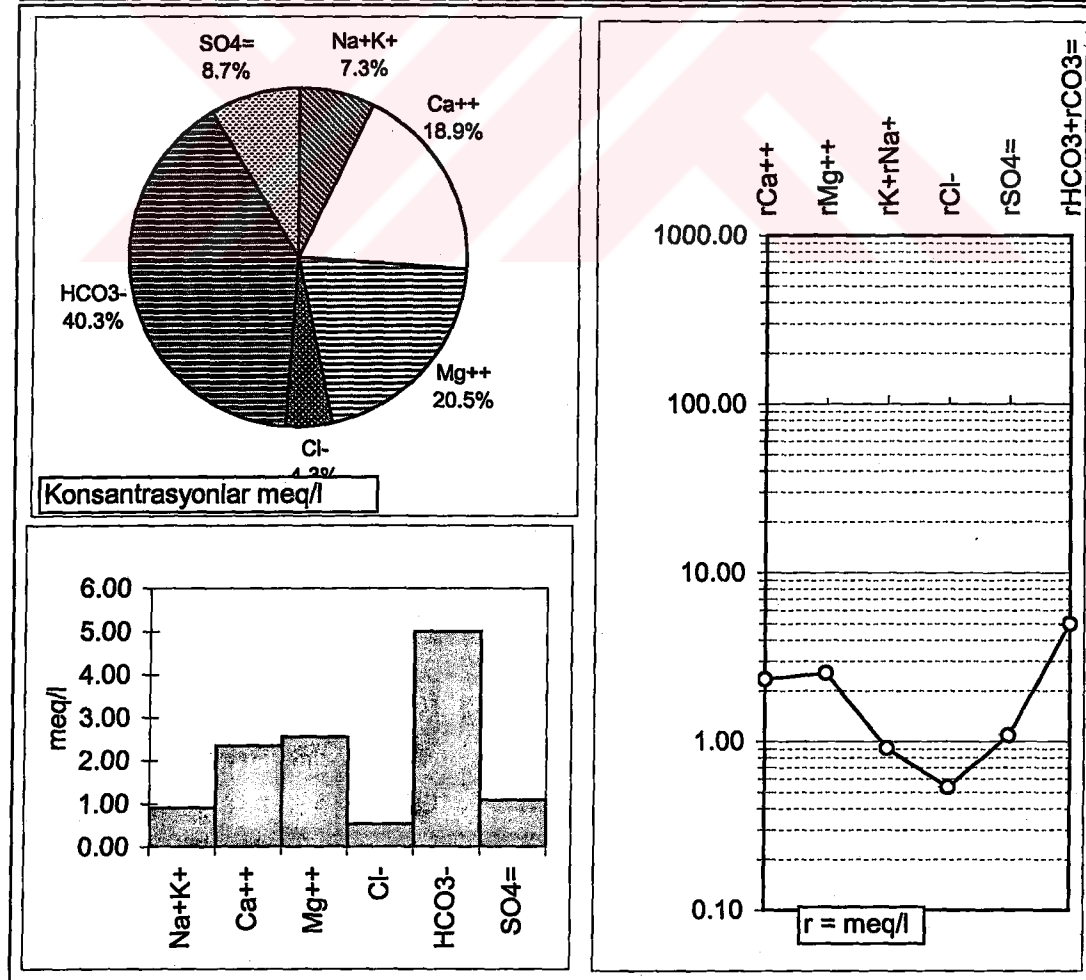
Örnek Adı ve Yeri (X/Y) : 17	19899/53657		pH(-logH)	7.4
Örnekleme Tarihi ve Kaynak :	1981	Türkman (1981)	EC(μmho/cm)	679
İYON	mg/l	meq/l	meq/l	% mg/l
Na ⁺	14	0.61	7.93	9.8
K ⁺	1	0.03	0.39	0.8
Ca ⁺⁺	106	5.30	68.93	74.4
Mg ⁺⁺	21	1.75	22.75	14.9
Cl ⁻	24	0.69	9.30	5.7
HCO ₃ ⁻	385	6.31	85.16	89.7
SO ₄ ⁼	20	0.41	5.54	4.6
Toplam Katyon Miktarı (meq/l)		7.689	Toplam Katyon Miktarı (mg/l)	142.7
Toplam Anyon Miktarı (meq/l)		7.410	Toplam Anyon Miktarı (mg/l)	429.1
Toplam İyon Miktarı (meq/l)		15.099	Toplam İyon Miktarı (mg/l)	571.8
İyonlaşma Gücü (mol/l)		0.011	% e (Hata Yüzdesi)	1.84
SAR (Sodyum Ad. Oranı) (%)		0.325	Sertlik (Fr)	35.25
rCl / (rSO ₄ +rHCO ₃) Oranı		0.103	rCa/rMg Oranı	3.03
SiC (Kalsit Doygunluk İndeksi)		0.557	SIj(Jips Doygunluk İndeksi)	-2.02
SiD(Dolomit Doygunluk İndeksi)		0.332	LogPCO ₂ (CO ₂) Kısımlı Basıncı	-1.83
Fo (Köpürme Katsayısı)		40.1	Si (mg / l)	
Hidrokimyasal fasiyes tipi: Ca-Mg-HCO ₃		B ⁺⁺⁺ (mg / l)		



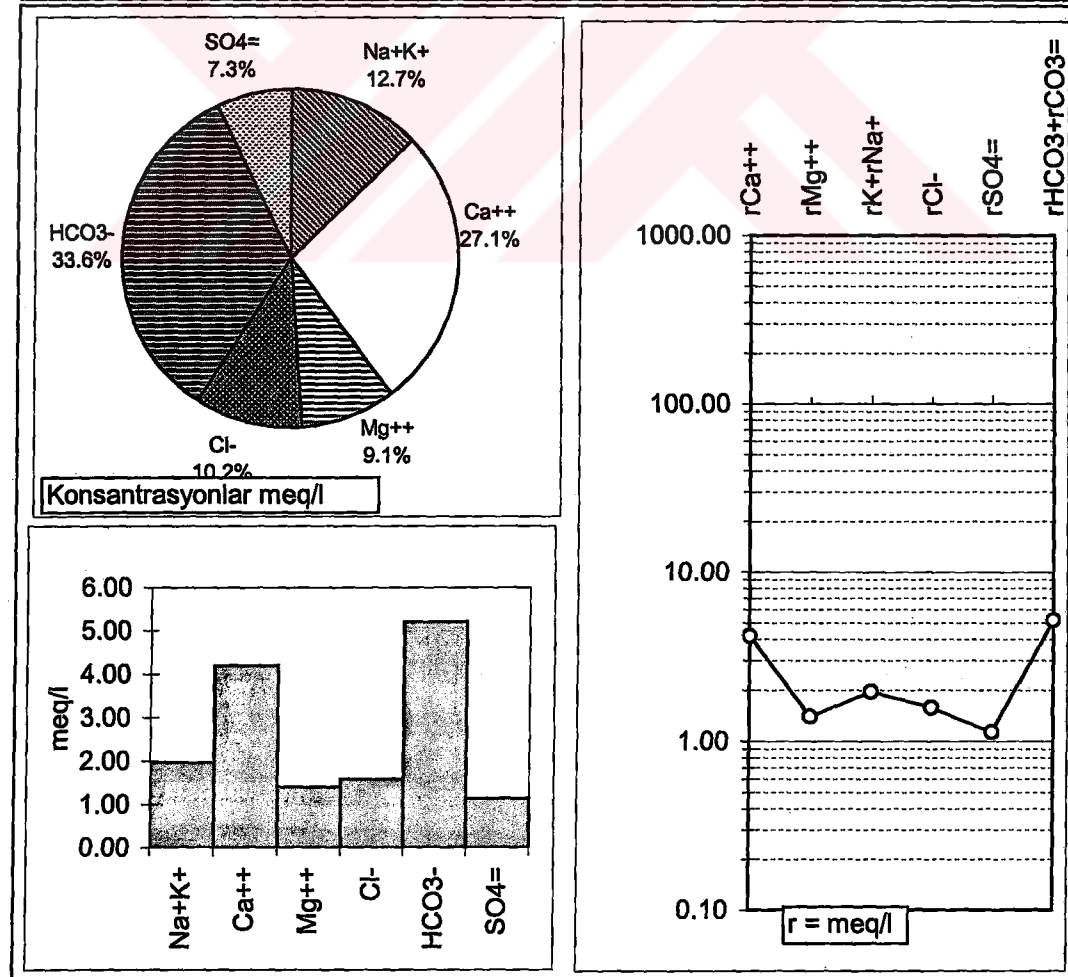
Örnek Adı ve Yeri (X/Y) : 18			19919/57952		pH(-logH)			6.9
Örneklemme Tarihi ve Kaynak :			1997	Barlak ve Tarcan (1998)			EC(µmho/cm)	900
İYON	mg/l	meq/l	meq/l	% mg/l	C (mol/l)	.5CZ ²	F	AC
Na ⁺	58	2.52	27.66	33.7	0.00252	0.0013	0.89	0.0022
K ⁺	3	0.08	0.88	1.8	0.00008	0.0000	0.89	0.0001
Ca ⁺⁺	81	4.04	44.35	47.1	0.00202	0.0040	0.65	0.0013
Mg ⁺⁺	30	2.47	27.10	17.4	0.00123	0.0025	0.66	0.0008
Cl ⁻	70	1.97	22.40	14.9	0.00197	0.0010	0.89	0.0017
HCO ₃ ⁻	342	5.61	63.83	72.8	0.00561	0.0028	0.89	0.0050
SO ₄ ⁼	58	1.21	13.77	12.4	0.00061	0.0012	0.63	0.0004
Toplam Katyon Miktarı (meq/l)			9.109	Toplam Katyon Miktarı (mg/l)				172.0
Toplam Anyon Miktarı (meq/l)			8.790	Toplam Anyon Miktarı (mg/l)				470.2
Toplam İyon Miktarı (meq/l)			17.898	Toplam İyon Miktarı (mg/l)				642.2
İyonlaşma Gücü (mol/l)			0.013	% e (Hata Yüzdesi)				1.78
SAR (Sodyum Ad. Oranı) (%)			1.397	Sertlik (Fr)				32.54
rCl ⁻ / (rSO ₄ ⁼ +rHCO ₃ ⁻) Oranı			0.289	rCa/rMg Oranı				1.64
Slc (Kalsit Doygunluk İndeksi)			-0.124	Si _j (Jips Doygunluk İndeksi)				-1.69
SlD(Dolomit Doygunluk İndeksi)			-0.215	LogPCO ₂ (CO ₂) Kısımlı Basıncı				-1.38
Fo (Köptürme Katsayısı)			162.5	Si (mg / l)				
Hidrokimyasal fasıyes tipi: Ca-Na-Mg-HCO ₃ -Cl			B ⁺⁺⁺ (mg / l)					



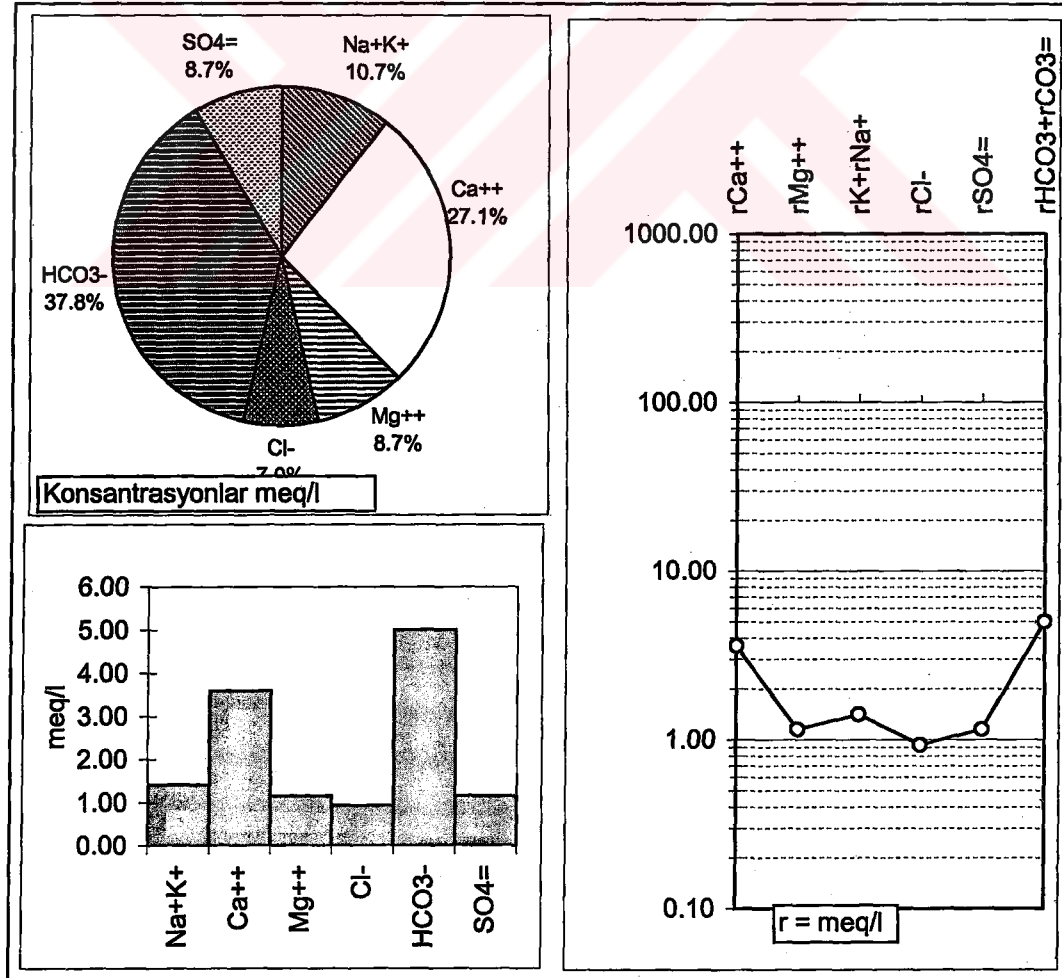
Örnek Adı ve Yeri (X/Y) : 19	19803/55411		pH(-logH)	7.1
Örnekleme Tarihi ve Kaynak :	1997	Barlak ve Tarcan (1998)	EC(µmho/cm)	525
İYON	mg/l	meq/l	meq/l	% mg/l
Na ⁺	19	0.83	14.25	19.0
K ⁺	3	0.08	1.38	3.1
Ca ⁺⁺	47	2.35	40.43	46.9
Mg ⁺⁺	31	2.55	43.94	31.0
Cl ⁻	19	0.54	8.09	5.1
HCO ₃ ⁻	305	5.00	75.54	81.1
SO ₄ =	52	1.08	16.37	13.8
Toplam Katyon Miktarı (meq/l)		5.801	Toplam Katyon Miktarı (mg/l)	100.1
Toplam Anyon Miktarı (meq/l)		6.619	Toplam Anyon Miktarı (mg/l)	376.0
Toplam İyon Miktarı (meq/l)		12.420	Toplam İyon Miktarı (mg/l)	476.1
İyonlaşma Gücü (mol/l)		0.009	% e (Hata Yüzdesi)	-6.58
SAR (Sodyum Ad. Oranı) (%)		0.528	Sertlik (Fr)	24.47
rCl / (rSO ₄ +rHCO ₃) Oranı		0.088	rCa/rMg Oranı	0.92
SIc (Kalsit Doygunluk İndeksi)		-0.179	SIj (Jips Doygunluk İndeksi)	-1.92
SLd (Dolomit Doygunluk İndeksi)		-0.147	LogPCO ₂ (CO ₂) Kısımlı Basıncı	-1.62
Fo (Köptürme Katsayısı)		57.5	Si (mg / l)	
Hidrokimyasal fasiyes tipi: Mg-Ca-HCO ₃		B ⁺⁺⁺ (mg / l)		



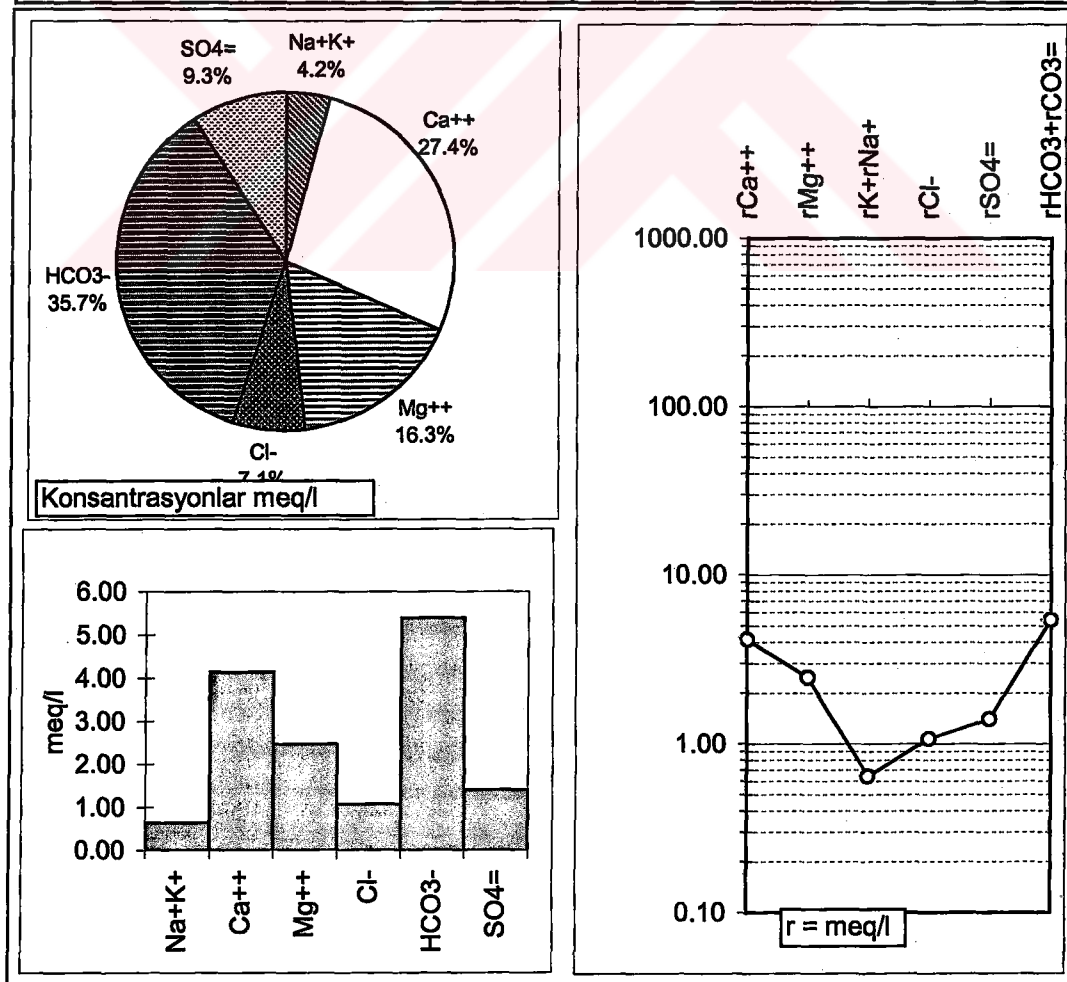
Örnek Adı ve Yeri (X/Y) : 20	18488/57262		pH(-logH)	7.2
Örnekleme Tarihi ve Kaynak :	1997	Barlak ve Tarcan (1998)	EC(µmho/cm)	703
İYON	mg/l	meq/l	meq/l	% mg/l
Na ⁺	35	1.52	20.13	22.8
K ⁺	17	0.44	5.84	11.2
Ca ⁺⁺	84	4.19	55.49	54.8
Mg ⁺⁺	17	1.40	18.54	11.1
Cl ⁻	56	1.58	19.96	13.1
HCO ₃ ⁻	317	5.20	65.75	74.2
SO ₄ =	54	1.13	14.29	12.7
Toplam Katyon Miktarı (meq/l)	7.551	Toplam Katyon Miktarı (mg/l)	153.1	
Toplam Anyon Miktarı (meq/l)	7.910	Toplam Anyon Miktarı (mg/l)	427.5	
Toplam İyon Miktarı (meq/l)	15.461	Toplam İyon Miktarı (mg/l)	580.7	
İyonlaşma Gücü (mol/l)	0.011	% e (Hata Yüzdesi)	-2.33	
SAR (Sodyum Ad. Oranı) (%)	0.909	Sertlik (Fr)	27.95	
rCl / (rSO ₄ +rHCO ₃) Oranı	0.249	rCa/rMg Oranı	2.99	
SIc (Kalsit Doygunluk İndeksi)	0.173	SLj(Jips Doygunluk İndeksi)	-1.68	
SID(Dolomit Doygunluk İndeksi)	-0.050	LogPCO ₂ (CO ₂) Kısımlı Basıncı	-1.71	
Fo (Köpürme Katsayısı)	128.6	Si (mg / l)		
Hidrokimyasal fasiyes tipi: Ca-HCO ₃ -Cl	B ⁺⁺⁺ (mg / l)			



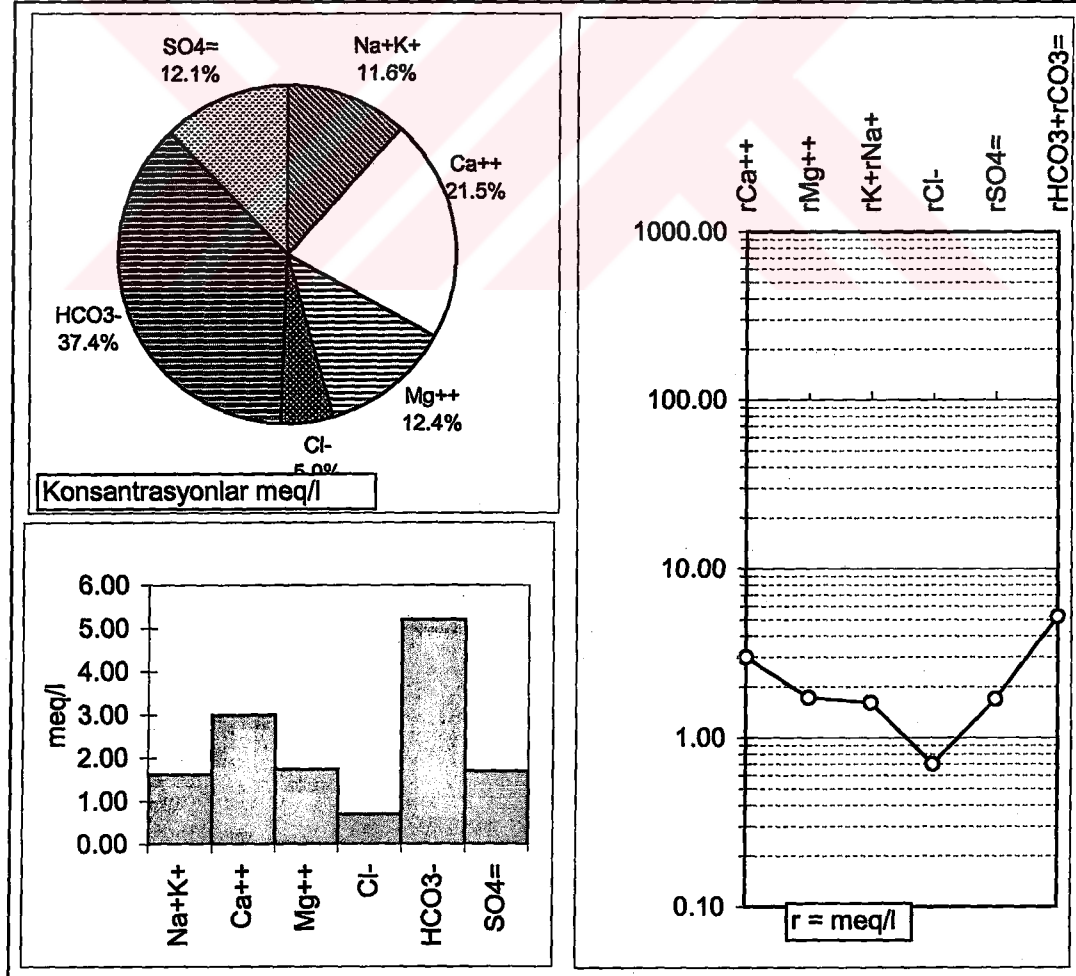
Örnek Adı ve Yeri (X/Y) : 21	18268/57449		pH(-logH)	6.9
Örnekleme Tarihi ve Kaynak :	1997	Barlak ve Tarcan (1998)	EC(µmho/cm)	580
İYON	mg/l	meq/l	meq/l	% mg/l
Na ⁺	29	1.26	20.49	24.0
K ⁺	6	0.15	2.44	4.9
Ca ⁺⁺	72	3.59	58.37	59.6
Mg ⁺⁺	14	1.15	18.69	11.6
Cl ⁻	33	0.93	13.12	8.4
HCO ₃ ⁻	305	5.00	70.63	77.6
SO ₄ ⁼	55	1.15	16.25	14.0
Toplam Katyon Miktarı (meq/l)	6.150	Toplam Katyon Miktarı (mg/l)	120.8	
Toplam Anyon Miktarı (meq/l)	7.081	Toplam Anyon Miktarı (mg/l)	393.2	
Toplam İyon Miktarı (meq/l)	13.230	Toplam İyon Miktarı (mg/l)	514.0	
İyonlaşma Gücü (mol/l)	0.010	% e (Hata Yüzdesi)	-7.03	
SAR (Sodyum Ad. Oranı) (%)	0.819	Sertlik (Fr)	23.70	
rCl / (rSO ₄ +rHCO ₃) Oranı	0.151	rCa/rMg Oranı	3.12	
SIc (Kalsit Doygunluk İndeksi)	-0.198	SIj (Jips Doygunluk İndeksi)	-1.72	
SID (Dolomit Doygunluk İndeksi)	-0.431	LogPCO ₂ (CO ₂) Kısımlı Basıncı	-1.42	
Fo (Köpürme Katsayısı)	89.8	Si (mg / l)		
Hidrokimyasal fasyes tipi: Ca-HCO ₃	B ⁺⁺⁺ (mg / l)			



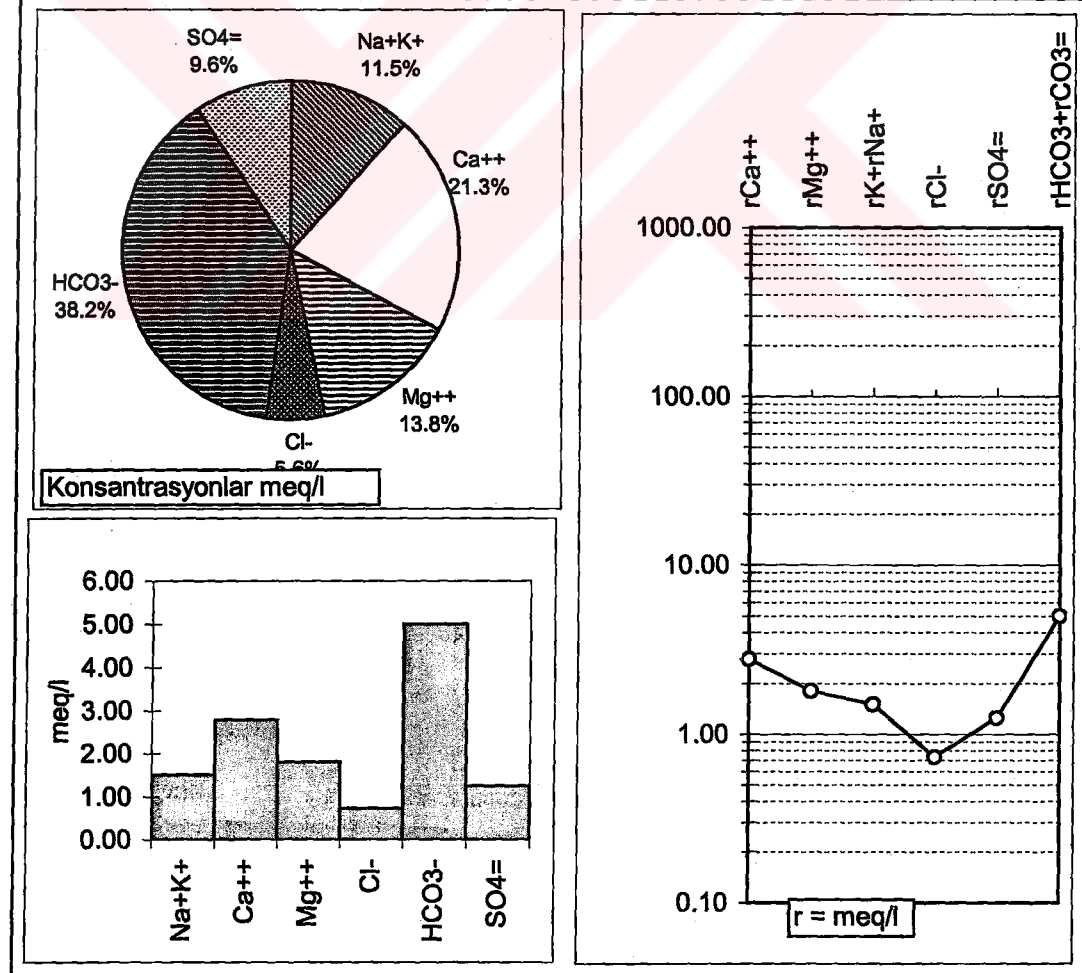
Örnek Adı ve Yeri (X/Y) : 22			20728/57604		pH(-logH)			7
Örnekleme Tarihi ve Kaynak :			1997	Barlak ve Tarcan (1998)			EC(µmho/cm)	610
İYON	mg/l	meq/l	meq/l	% mg/l	C (mol/l)	.5CZ ²	F	AC
Na ⁺	14	0.61	8.41	10.9	0.00061	0.0003	0.90	0.0005
K ⁺	1	0.03	0.41	0.9	0.00003	0.0000	0.89	0.0000
Ca ⁺⁺	83	4.14	57.11	64.7	0.00207	0.0041	0.66	0.0014
Mg ⁺⁺	30	2.47	34.06	23.4	0.00123	0.0025	0.68	0.0008
Cl ⁻	38	1.07	13.60	8.7	0.00107	0.0005	0.89	0.0010
HCO ₃ ⁻	329	5.39	68.58	75.8	0.00539	0.0027	0.90	0.0048
SO ₄ =	67	1.40	17.82	15.5	0.00070	0.0014	0.64	0.0005
Toplam Katyon Miktarı (meq/l)			7.248	Toplam Katyon Miktarı (mg/l)			128.2	
Toplam Anyon Miktarı (meq/l)			7.861	Toplam Anyon Miktarı (mg/l)			434.0	
Toplam İyon Miktarı (meq/l)			15.109	Toplam İyon Miktarı (mg/l)			562.2	
İyonlaşma Gücü (mol/l)			0.012	% e (Hata Yüzdesi)			-4.05	
SAR (Sodyum Ad. Oranı) (%)			0.335	Sertlik (Fr)			33.04	
rCl / (rSO ₄ +rHCO ₃) Oranı			0.157	rCa/rMg Oranı			1.68	
SIc (Kalsit Doygunluk İndeksi)			-0.021	SIj(Jips Doygunluk İndeksi)			-1.60	
SID(Dolomit Doygunluk İndeksi)			-0.118	LogPCO ₂ (CO ₂) Kısımlı Basıncı			-1.50	
Fo (Köpürme Katsayısı)			40.1	Si (mg / l)				
Hidrokimyasal fasiyes tipi: Ca-Mg-HCO ₃			B ⁺⁺⁺ (mg / l)					



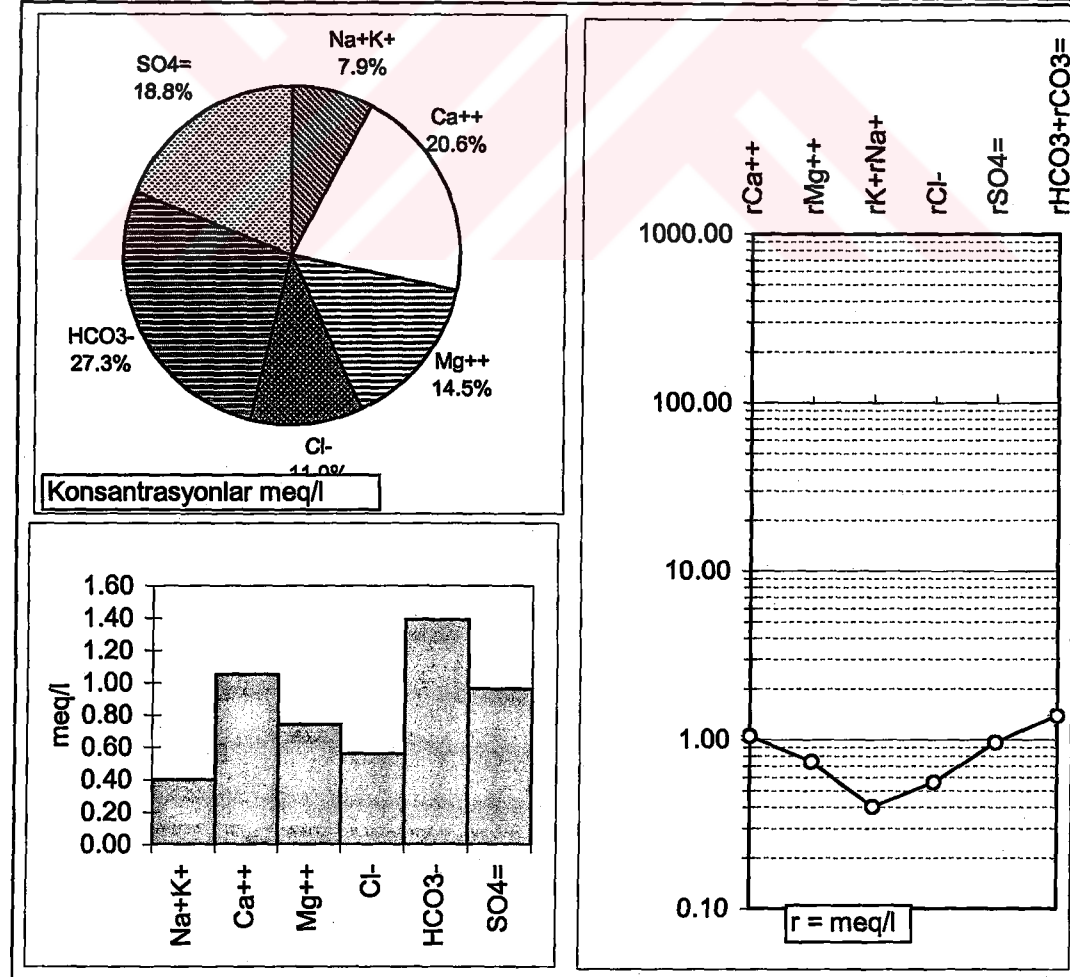
Örnek Adı ve Yeri (X/Y) : 23	19293/57354		pH(-logH)	7.4
Örnekleme Tarihi ve Kaynak :	1997	Barlak ve Tarcan (1998)	EC(µmho/cm)	330
İYON	mg/l	meq/l	meq/l	% mg/l
Na ⁺	27	1.17	18.48	21.5
K ⁺	17	0.44	6.97	13.8
Ca ⁺⁺	60	2.99	47.23	47.9
Mg ⁺⁺	21	1.73	27.32	16.8
Cl ⁻	25	0.70	9.22	5.9
HCO ₃ ⁻	317	5.20	68.51	75.0
SO ₄ =	81	1.69	22.28	19.2
Toplam Katyon Miktarı (meq/l)	6.331	Toplam Katyon Miktarı (mg/l)	125.1	
Toplam Anyon Miktarı (meq/l)	7.591	Toplam Anyon Miktarı (mg/l)	423.2	
Toplam İyon Miktarı (meq/l)	13.922	Toplam İyon Miktarı (mg/l)	548.3	
İyonlaşma Gücü (mol/l)	0.010	% e (Hata Yüzdesi)	-9.06	
SAR (Sodyum Ad. Oranı) (%)	0.762	Sertlik (Fr)	23.60	
rCl / (rSO ₄ +rHCO ₃) Oranı	0.102	rCa/rMg Oranı	1.73	
SIc (Kalsit Doygunluk İndeksi)	0.235	SIj (Jips Doygunluk İndeksi)	-1.64	
SID (Dolomit Doygunluk İndeksi)	0.130	LogPCO ₂ (CO ₂) Kısımlı Basıncı	-1.91	
Fo (Köpürme Katsayısı)	106.9	Si (mg / l)		
Hidrokimyasal fasiyes tipi: Ca-Mg-HCO ₃ -SO ₄	B ⁺⁺⁺ (mg / l)			



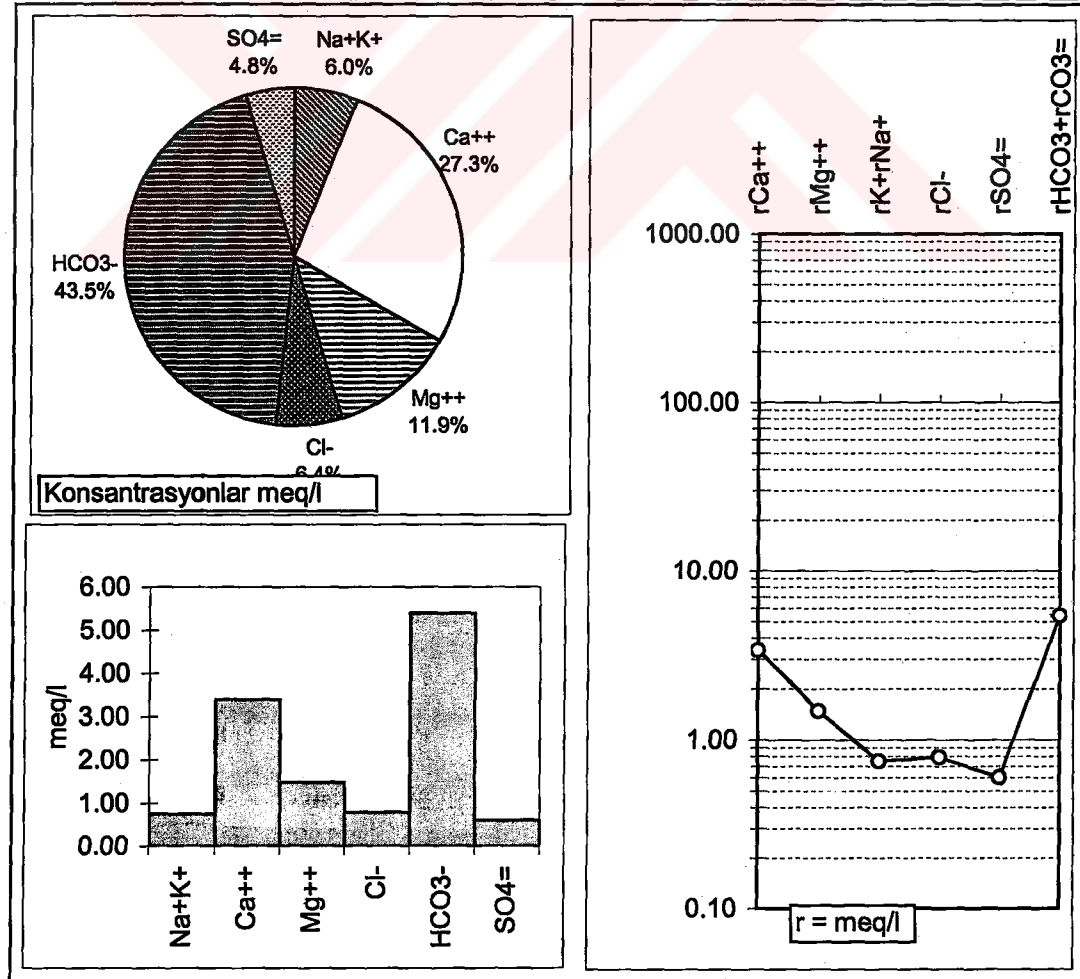
Örnek Adı ve Yeri (X/Y) : 24	19101/57960		pH(-logH)	7.1
Örnekleme Tarihi ve Kaynak :	1997	Barlak ve Tarcan (1998)	EC(µmho/cm)	530
İYON	mg/l	meq/l	meq/l % mg/l	C (mol/l) .5CZ ² F AC
Na ⁺	26	1.13	18.49 21.9	0.00113 0.0006 0.90 0.0010
K ⁺	15	0.38	6.24 12.5	0.00038 0.0002 0.90 0.0003
Ca ⁺⁺	56	2.79	45.66 47.1	0.00139 0.0028 0.68 0.0010
Mg ⁺⁺	22	1.81	29.61 18.5	0.00090 0.0018 0.70 0.0006
Cl ⁻	26	0.73	10.45 6.6	0.00073 0.0004 0.90 0.0007
HCO ₃ ⁻	305	5.00	71.64 78.0	0.00500 0.0025 0.90 0.0045
SO ₄ ⁼	60	1.25	17.92 15.4	0.00063 0.0013 0.67 0.0004
Toplam Katyon Miktarı (meq/l)		6.110	Toplam Katyon Miktarı (mg/l)	118.8
Toplam Anyon Miktarı (meq/l)		6.981	Toplam Anyon Miktarı (mg/l)	391.0
Toplam İyon Miktarı (meq/l)		13.091	Toplam İyon Miktarı (mg/l)	509.7
İyonlaşma Gücü (mol/l)		0.009	% e (Hata Yüzdesi)	-6.65
SAR (Sodyum Ad. Oranı) (%)		0.745	Sertlik (Fr)	23.00
rCl / (rSO ₄ +rHCO ₃) Oranı		0.117	rCa/rMg Oranı	1.54
Slc (Kalsit Doygunluk İndeksi)		-0.106	SIj (Jips Doygunluk İndeksi)	-1.79
SlD (Dolomit Doygunluk İndeksi)		-0.186	LogPCO ₂ (CO ₂) Kısımlı Basıncı	-1.62
Fo (Köpürme Katsayısı)		99.8	Si (mg / l)	
Hidrokimyasal fasiyes tipi: Ca-Mg-HCO ₃		B ⁺⁺⁺ (mg / l)		



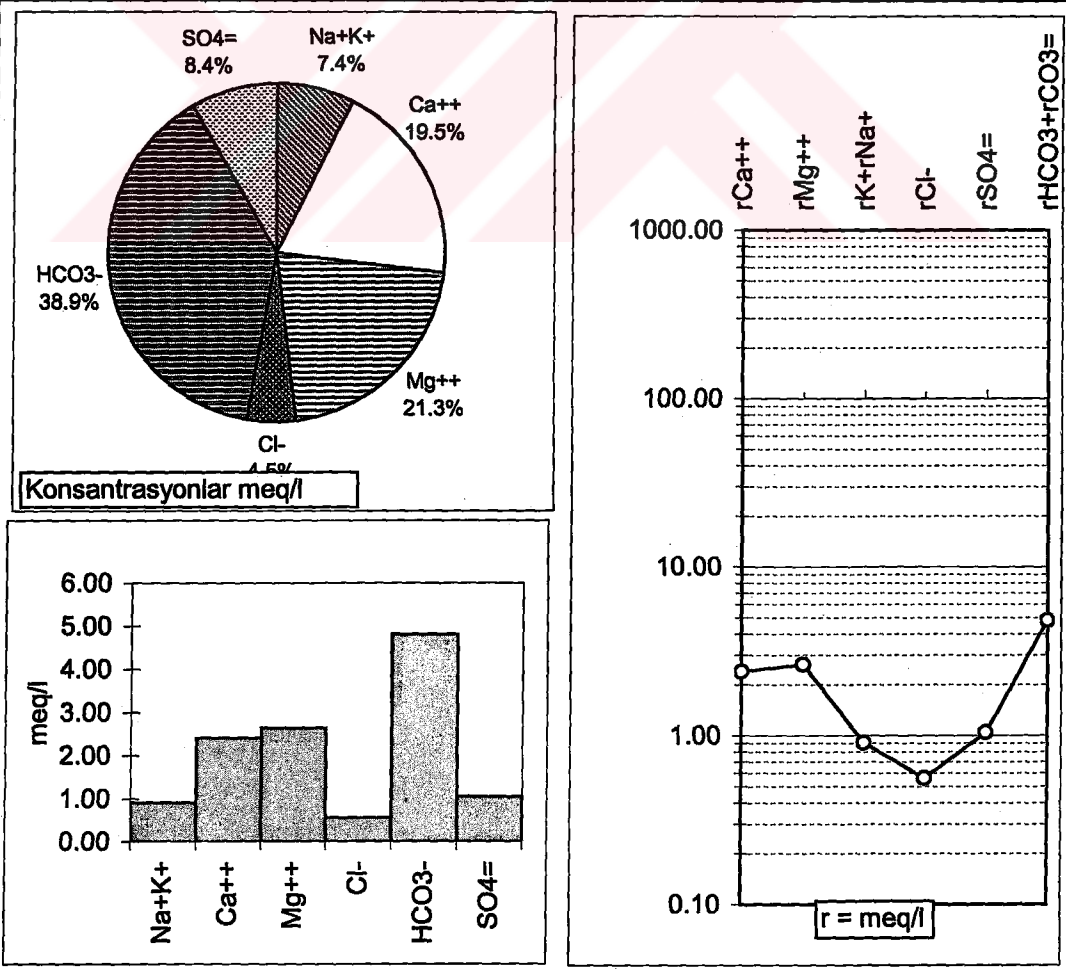
Örnek Adı ve Yeri (X/Y) : 25	19549/58880		pH(-logH)	7.1
Örnekleme Tarihi ve Kaynak :	1997	Barlak ve Tarcan (1998)	EC($\mu\text{mho}/\text{cm}$)	180
İYON	mg/l	meq/l	meq/l	% mg/l
Na ⁺	8	0.35	15.99	20.1
K ⁺	2	0.05	2.30	4.9
Ca ⁺⁺	21	1.05	47.95	52.5
Mg ⁺⁺	9	0.74	33.76	22.5
Cl ⁻	20	0.56	19.22	13.2
HCO ₃ ⁻	85	1.39	47.77	56.2
SO ₄ ⁼	46	0.96	33.01	30.6
Toplam Katyon Miktarı (meq/l)	2.190	Toplam Katyon Miktarı (mg/l)	40.0	
Toplam Anyon Miktarı (meq/l)	2.910	Toplam Anyon Miktarı (mg/l)	150.8	
Toplam İyon Miktarı (meq/l)	5.100	Toplam İyon Miktarı (mg/l)	190.8	
İyonlaşma Gücü (mol/l)	0.004	% e (Hata Yüzdesi)	-14.13	
SAR (Sodyum Ad. Oranı) (%)	0.370	Sertlik (Fr)	8.95	
rCl / (rSO ₄ +rHCO ₃) Oranı	0.238	rCa/rMg Oranı	1.42	
SIc (Kalsit Doygunluk İndeksi)	-1.020	SIj (Jips Doygunluk İndeksi)	-2.22	
SI _d (Dolomit Doygunluk İndeksi)	-1.084	LogPCO ₂ (CO ₂) Kısımlı Basıncı	-2.17	
Fo (Köpürme Katsayısı)	25.6	Si (mg / l)		
Hidrokimyasal fasiyes tipi: Ca-Mg-HCO ₃ -SO ₄ -Cl	B ⁺⁺⁺ (mg / l)			



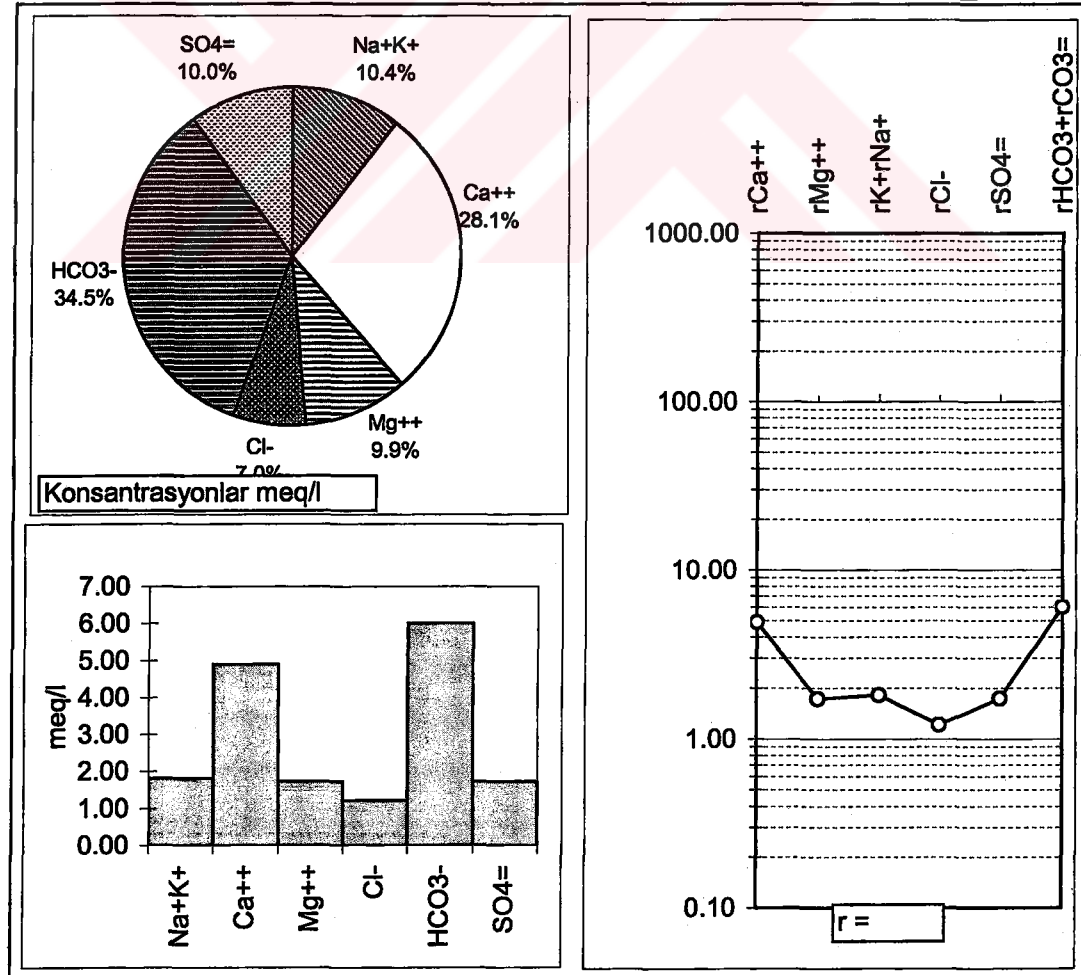
Örnek Adı ve Yeri (X/Y) : 26			20205/56736		pH(-logH)			7.5
Örnekleme Tarihi ve Kaynak :			1997	Barlak ve Tarcan (1998)		EC(µmho/cm)		550
İYON	mg/l	meq/l	meq/l	% mg/l	C (mol/l)	.5CZ ²	F	AC
Na ⁺	16	0.70	12.45	15.5	0.00070	0.0003	0.91	0.0006
K ⁺	2	0.05	0.89	1.9	0.00005	0.0000	0.90	0.0000
Ca ⁺⁺	68	3.39	60.33	65.3	0.00170	0.0034	0.69	0.0012
Mg ⁺⁺	18	1.48	26.33	17.3	0.00074	0.0015	0.70	0.0005
Cl ⁻	28	0.79	11.64	7.3	0.00079	0.0004	0.90	0.0007
HCO ₃ ⁻	329	5.39	79.50	85.3	0.00539	0.0027	0.91	0.0049
SO ₄ =	29	0.60	8.85	7.5	0.00030	0.0006	0.67	0.0002
Toplam Katyon Miktarı (meq/l)			5.620	Toplam Katyon Miktarı (mg/l)		104.0		
Toplam Anyon Miktarı (meq/l)			6.781	Toplam Anyon Miktarı (mg/l)		385.7		
Toplam İyon Miktarı (meq/l)			12.400	Toplam İyon Miktarı (mg/l)		489.6		
İyonlaşma Gücü (mol/l)			0.009	% e (Hata Yüzdesi)		-9.36		
SAR (Sodyum Ad. Oranı) (%)			0.449	Sertlik (Fr)		24.35		
rCl / (rSO ₄ +rHCO ₃) Oranı			0.132	rCa/rMg Oranı		2.29		
SIc (Kalsit Doygunluk İndeksi)			0.416	SIj (Jips Doygunluk İndeksi)		-2.02		
SID(Dolomit Doygunluk İndeksi)			0.250	LogPCO ₂ (CO ₂) Kısımlı Basıncı		-1.99		
Fo (Köpürme Katsayısı)			47.3	Si (mg / l)				
Hidrokimyasal fasyes tipi: Ca-Mg-HCO ₃			B ⁺⁺⁺ (mg / l)					



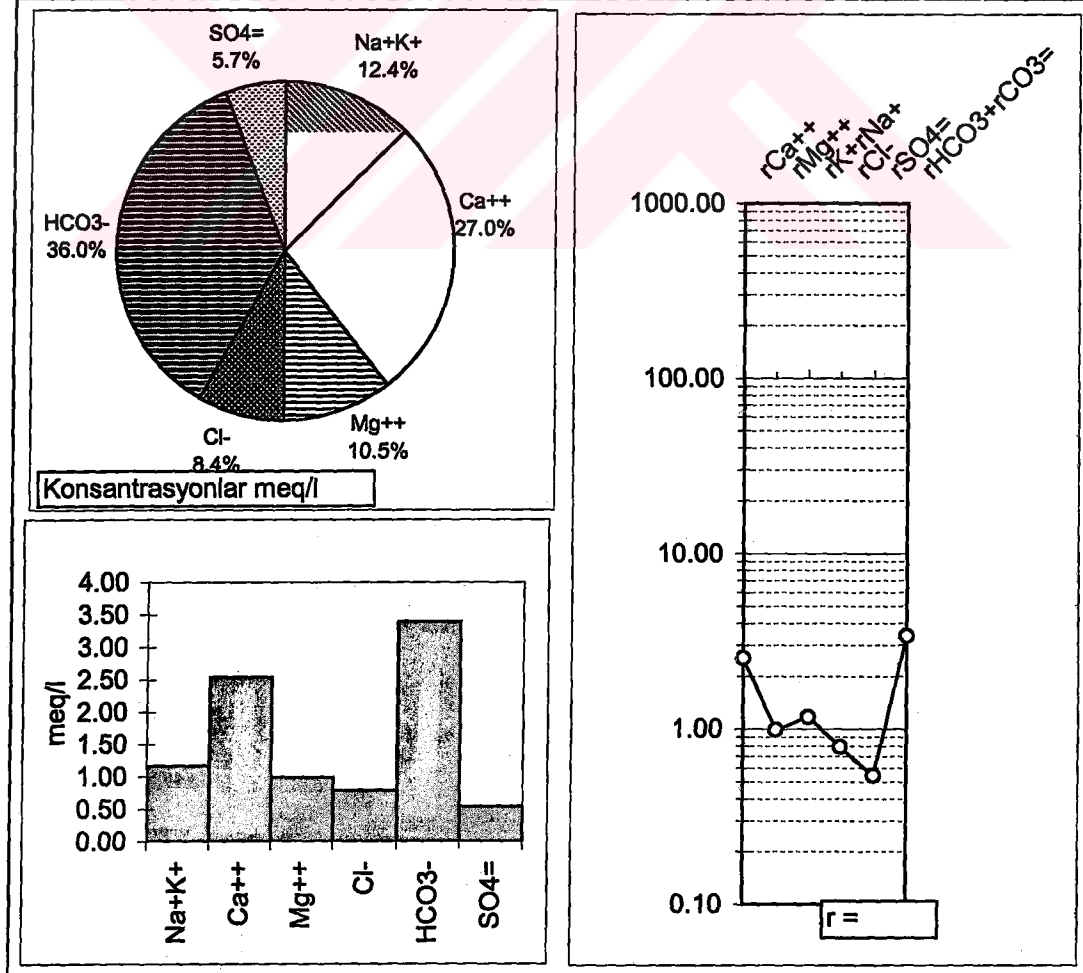
Örnek Adı ve Yeri (X/Y) : 27	17941/56074		pH(-logH)	7.5
Örnekleme Tarihi ve Kaynak :	1997	Köseoğlu ve Tarcan (1998)	EC(µmho/cm)	500
İYON	mg/l	meq/l	meq/l	% mg/l
Na ⁺	19	0.83	13.97	18.7
K ⁺	3	0.08	1.35	3.1
Ca ⁺⁺	48	2.40	40.41	47.0
Mg ⁺⁺	32	2.63	44.26	31.3
Cl ⁻	20	0.56	8.74	5.5
HCO ₃ ⁻	293	4.80	75.00	80.8
SO ₄ ⁼	50	1.04	16.26	13.8
Toplam Katyon Miktarı (meq/l)		5.939	Toplam Katyon Miktarı (mg/l)	102.3
Toplam Anyon Miktarı (meq/l)		6.401	Toplam Anyon Miktarı (mg/l)	362.6
Toplam İyon Miktarı (meq/l)		12.340	Toplam İyon Miktarı (mg/l)	464.9
İyonlaşma Gücü (mol/l)		0.009	% e (Hata Yüzdesi)	-3.74
SAR (Sodyum Ad. Oranı) (%)		0.523	Sertlik (Fr)	25.15
rCl / (rSO ₄ +rHCO ₃) Oranı		0.096	rCa/rMg Oranı	0.91
SIc (Kalsit Doygunluk İndeksi)		0.213	SIj (Jips Doygunluk İndeksi)	-1.93
SID (Dolomit Doygunluk İndeksi)		0.247	LogPCO ₂ (CO ₂) Kısımlı Basıncı	-2.04
Fo (Köpürme Katsayısı)		57.7	Si (mg / l)	
Hidrokimyasal fasyes tipi: Mg-Ca-HCO ₃		B ⁺⁺⁺ (mg / l)		



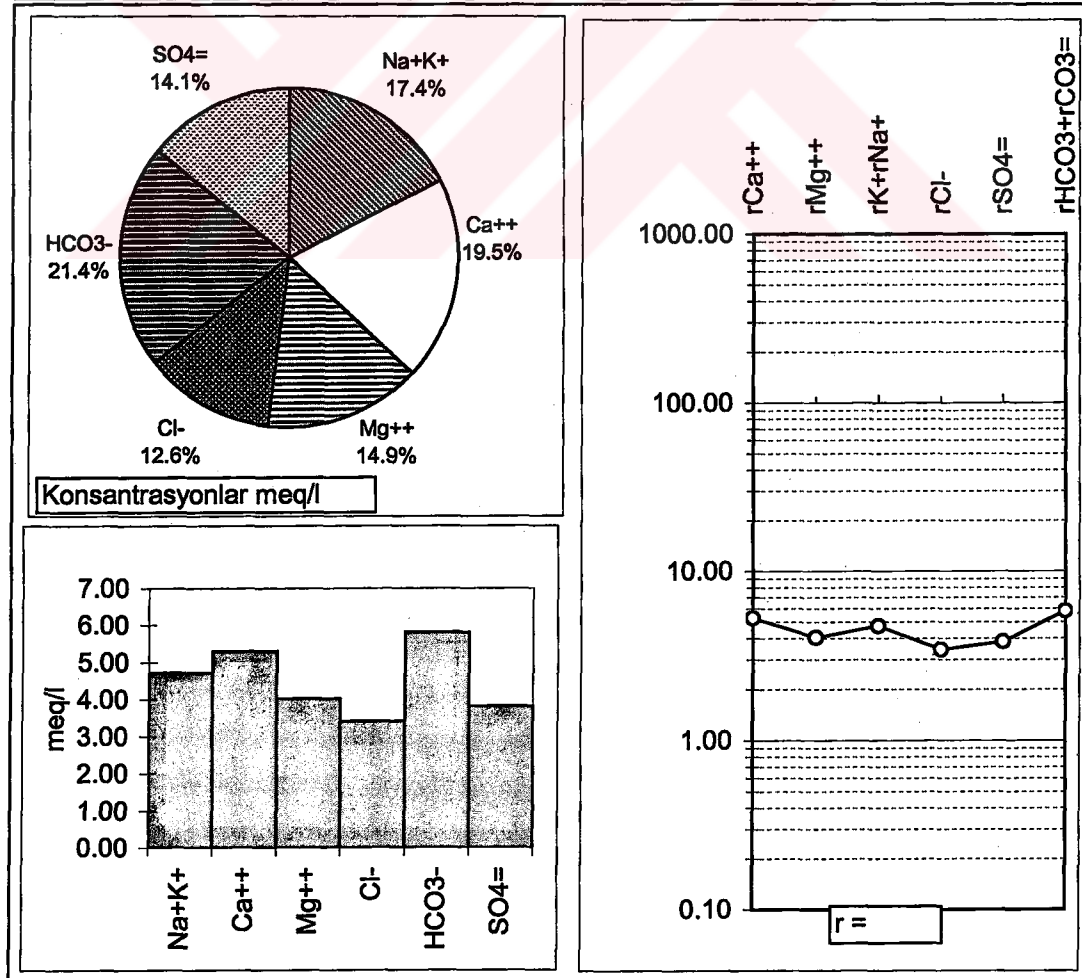
Örnek Adı ve Yeri (X/Y) : 28	17580/57533				pH(-logH)	7.4	
Örnekleme Tarihi ve Kaynak:	1997	Köseoglu ve Tarcan (1998)			EC(µmho/cm)	550	
İYON	mg/l	meq/l	meq/l	% mg/l	C (mol/l)	.5CZ ²	F
Na ⁺	37	1.61	19.09	22.6	0.00161	0.0008	0.89
K ⁺	8	0.21	2.43	4.9	0.00021	0.0001	0.89
Ca ⁺⁺	98	4.89	58.00	59.8	0.00245	0.0049	0.65
Mg ⁺⁺	21	1.73	20.48	12.8	0.00086	0.0017	0.66
Cl ⁻	43	1.21	13.56	8.7	0.00121	0.0006	0.89
HCO ₃ ⁻	366	6.00	67.11	74.4	0.00600	0.0030	0.89
SO ₄ =	83	1.73	19.34	16.9	0.00086	0.0017	0.63
Toplam Katyon Miktarı (meq/l)	8.432	Toplam Katyon Miktarı (mg/l)				164.0	
Toplam Anyon Miktarı (meq/l)	8.941	Toplam Anyon Miktarı (mg/l)				492.0	
Toplam İyon Miktarı (meq/l)	17.373	Toplam İyon Miktarı (mg/l)				656.0	
İyonlaşma Gücü (mol/l)	0.013	% e (Hata Yüzdesi)				-2.93	
SAR (Sodyum Ad. Oranı) (%)	0.885	Sertlik (Fr)				33.09	
rCl / (rSO ₄ +rHCO ₃) Oranı	0.157	rCa/rMg Oranı				2.83	
SIc (Kalsit Doygunluk İndeksi)	0.488	SIj(Jips Doygunluk İndeksi)				-1.45	
SID(Dolomit Doygunluk İndeksi)	0.277	LogPCO ₂ (CO ₂) Kısıtlı Basıncı				-1.85	
Fo (Köpürme Katsayısı)	115.8	Si (mg / l)					
Hidrokimyasal fasiyes tipi: Ca-HCO ₃		B ⁺⁺⁺ (mg / l)					



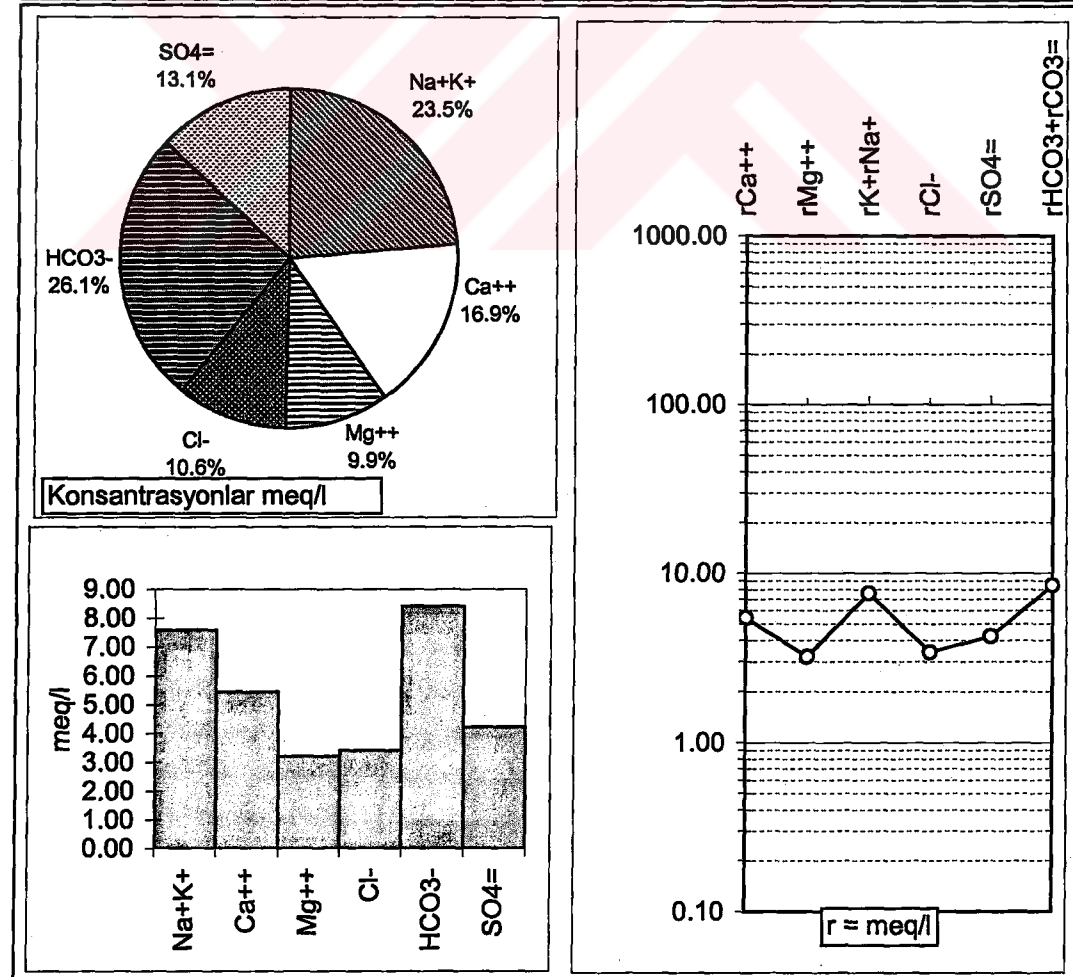
Örnek Adı ve Yeri (X/Y) : 29	14571/56947		pH(-logH)	7.4
Örnekleme Tarihi ve Kaynak :	1997	Köseoğlu ve Tarcan (1998)	EC(µmho/cm)	550
İYON	mg/l	meq/l	meq/l	% mg/l
Na ⁺	24	1.04	22.13	26.0
K ⁺	5	0.13	2.77	5.5
Ca ⁺⁺	51	2.54	54.05	55.4
Mg ⁺⁺	12	0.99	21.05	13.1
Cl ⁻	28	0.79	16.72	10.7
HCO ₃ ⁻	207	3.39	71.83	79.3
SO ₄ ⁼	26	0.54	11.45	9.9
Toplam Katyon Miktarı (meq/l)	4.700	Toplam Katyon Miktarı (mg/l)	91.9	
Toplam Anyon Miktarı (meq/l)	4.720	Toplam Anyon Miktarı (mg/l)	260.8	
Toplam İyon Miktarı (meq/l)	9.420	Toplam İyon Miktarı (mg/l)	352.7	
İyonlaşma Gücü (mol/l)	0.007	% e (Hata Yüzdesi)	-0.22	
SAR (Sodyum Ad. Oranı) (%)	0.783	Sertlik (Fr)	17.65	
rCl / (rSO ₄ +rHCO ₃) Oranı	0.201	rCa/rMg Oranı	2.57	
SIc (Kalsit Doygunluk İndeksi)	0.013	SIj (Jips Doygunluk İndeksi)	-2.15	
SID (Dolomit Doygunluk İndeksi)	-0.179	LogPCO ₂ (CO ₂) Kısımlı Basıncı	-2.09	
Fo (Köpürme Katsayısı)	74.6	Si (mg / l)		
Hidrokimyasal fasyes tipi: Ca-Na-Mg-HCO ₃	B ⁺⁺⁺ (mg / l)			



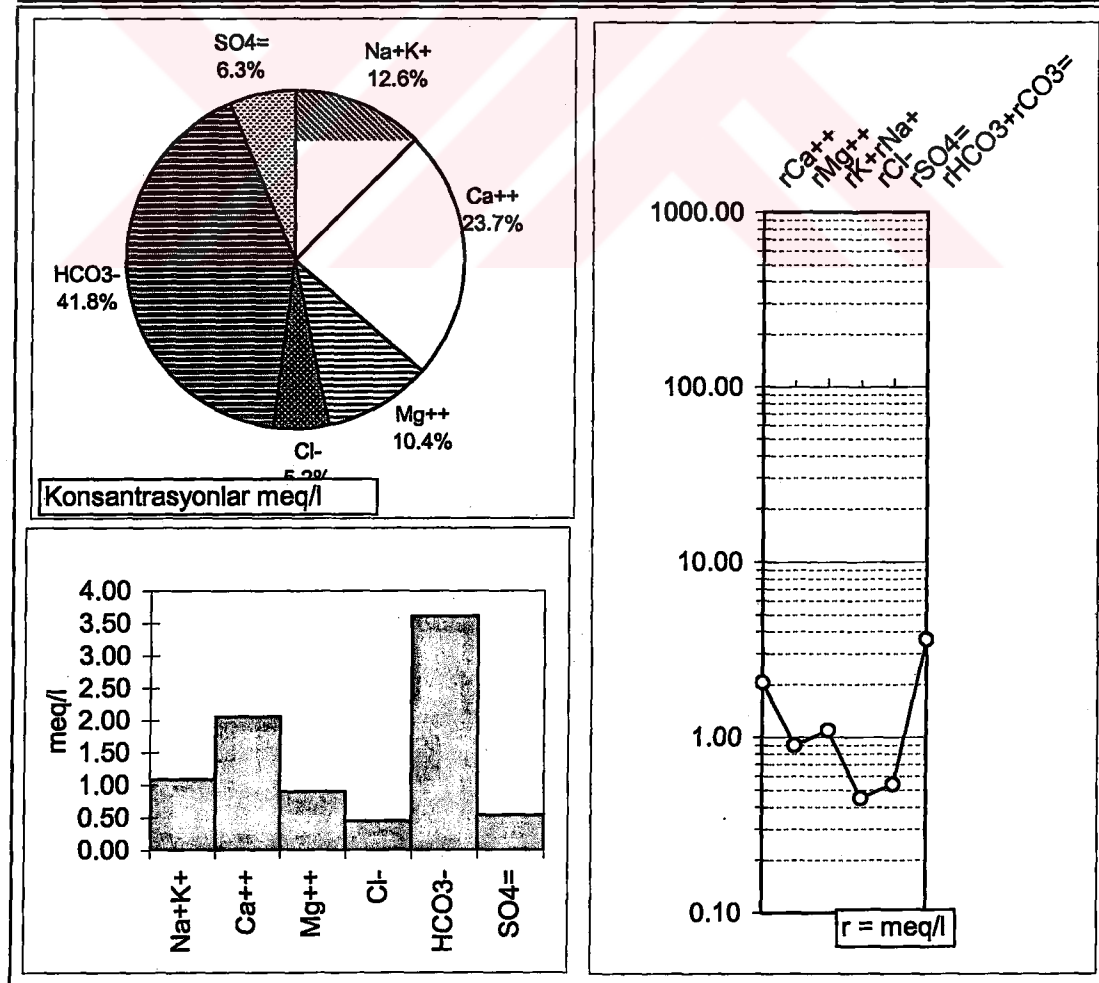
Örnek Adı ve Yeri (X/Y) : 30			14646/57678			pH(-logH)		7
Örnekleme Tarihi ve Kaynak :			1997	Köseoğlu ve Tarcan (1998)		EC(µmho/cm)	1240	
İYON	mg/l	meq/l	meq/l	% mg/l	C (mol/l)	.5CZ ²	F	AC
Na ⁺	95	4.13	29.42	34.8	0.00413	0.0021	0.87	0.0036
K ⁺	23	0.59	4.21	8.5	0.00059	0.0003	0.86	0.0005
Ca ⁺⁺	106	5.29	37.68	38.8	0.00264	0.0053	0.60	0.0016
Mg ⁺⁺	49	4.03	28.69	17.9	0.00201	0.0040	0.62	0.0012
Cl ⁻	121	3.41	26.17	18.4	0.00341	0.0017	0.86	0.0029
HCO ₃ ⁻	354	5.80	44.55	53.8	0.00580	0.0029	0.87	0.0050
SO ₄ =	183	3.81	29.28	27.8	0.00191	0.0038	0.57	0.0011
Toplam Katyon Miktarı (meq/l)			14.039	Toplam Katyon Miktarı (mg/l)		273.0		
Toplam Anyon Miktarı (meq/l)			13.020	Toplam Anyon Miktarı (mg/l)		657.7		
Toplam İyon Miktarı (meq/l)			27.060	Toplam İyon Miktarı (mg/l)		930.7		
İyonlaşma Gücü (mol/l)			0.020	% e (Hata Yüzdesi)		3.77		
SAR (Sodyum Ad. Oranı) (%)			1.913	Sertlik (Fr)		46.59		
rCl / (rSO ₄ +rHCO ₃) Oranı			0.354	rCa/rMg Oranı		1.31		
SIc (Kalsit Doygunluk İndeksi)			0.060	SIj(Jips Doygunluk İndeksi)		-1.16		
SID(Dolomit Doygunluk İndeksi)			0.018	LogPCO ₂ (CO ₂) Kısımlı Basıncı		-1.48		
Fo (Köpürme Katsayısı)			302.2	Si (mg / l)				
Hidrokimyasal fasyes tipi: Ca-Na-Mg-HCO ₃ -SO ₄ -B ⁺⁺ (mg / l)								



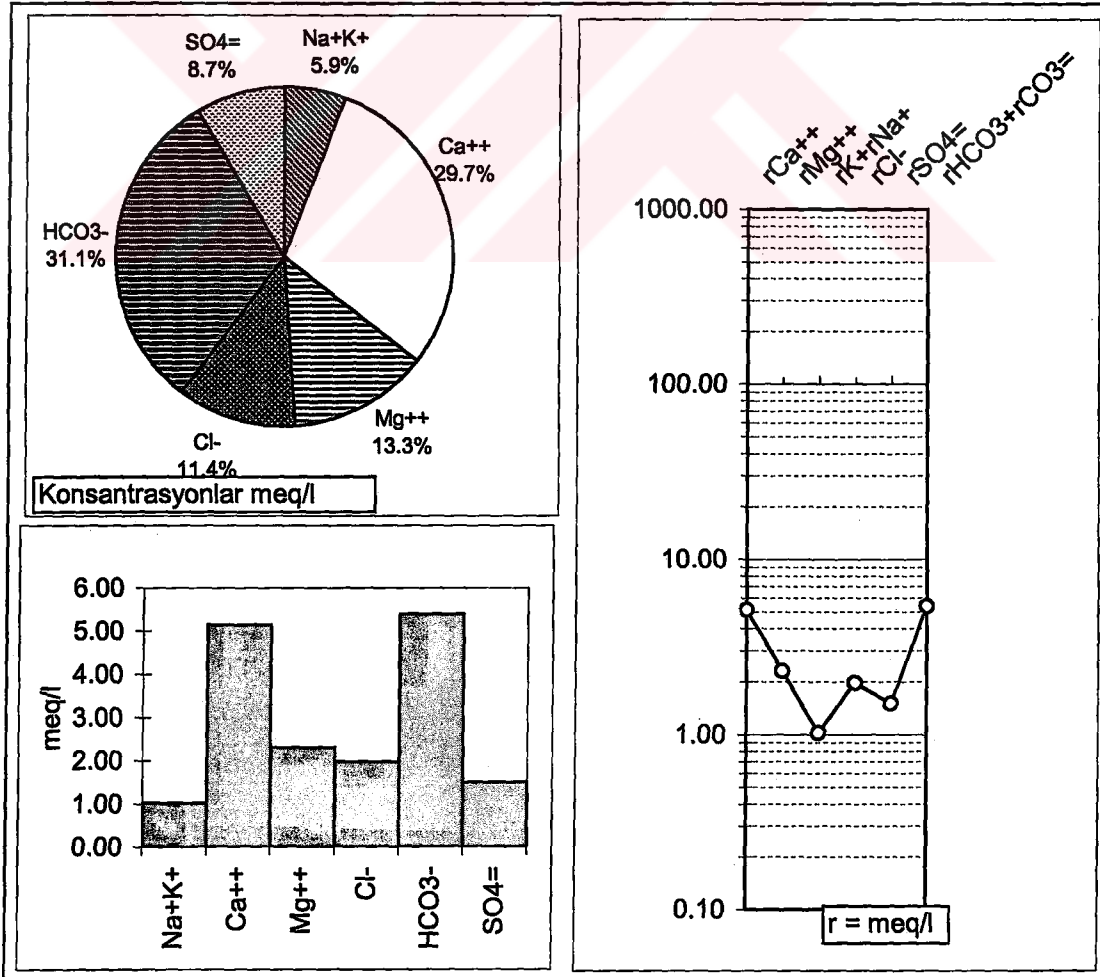
Örnek Adı ve Yeri (X/Y) : 31	15026/56271		pH(-logH)	7.4
Örnekleme Tarihi ve Kaynak :	1997	Köseoğlu ve Tarcan (1998)	EC(µmho/cm)	1480
İYON	mg/l	meq/l	meq/l	% mg/l
Na ⁺	162	7.05	43.41	48.9
K ⁺	21	0.54	3.32	6.3
Ca ⁺⁺	109	5.44	33.51	32.9
Mg ⁺⁺	39	3.21	19.76	11.8
Cl ⁻	121	3.41	21.23	14.4
HCO ₃ ⁻	513	8.41	52.41	61.3
SO ₄ =	203	4.23	26.36	24.3
Toplam Katyon Miktarı (meq/l)	16.231	Toplam Katyon Miktarı (mg/l)	331.0	
Toplam Anyon Miktarı (meq/l)	16.046	Toplam Anyon Miktarı (mg/l)	836.9	
Toplam İyon Miktarı (meq/l)	32.278	Toplam İyon Miktarı (mg/l)	1167.9	
İyonlaşma Gücü (mol/l)	0.023	% e (Hata Yüzdesi)	0.57	
SAR (Sodyum Ad. Oranı) (%)	3.389	Sertlik (Fr)	43.23	
rCl / (rSO ₄ +rHCO ₃) Oranı	0.270	rCa/rMg Oranı	1.70	
Slc (Kalsit Doygunluk İndeksi)	0.620	Slj(Jips Doygunluk İndeksi)	-1.12	
SlD(Dolomit Doygunluk İndeksi)	0.524	LogPCO ₂ (CO ₂) Kısımlı Basıncı	-1.72	
Fo (Köpürme Katsayısı)	478.9	Si (mg / l)		
Hidrokimyasal fasiyes tipi: Na-Ca-HCO ₃ -SO ₄ -Cl	B ⁺⁺⁺ (mg / l)			



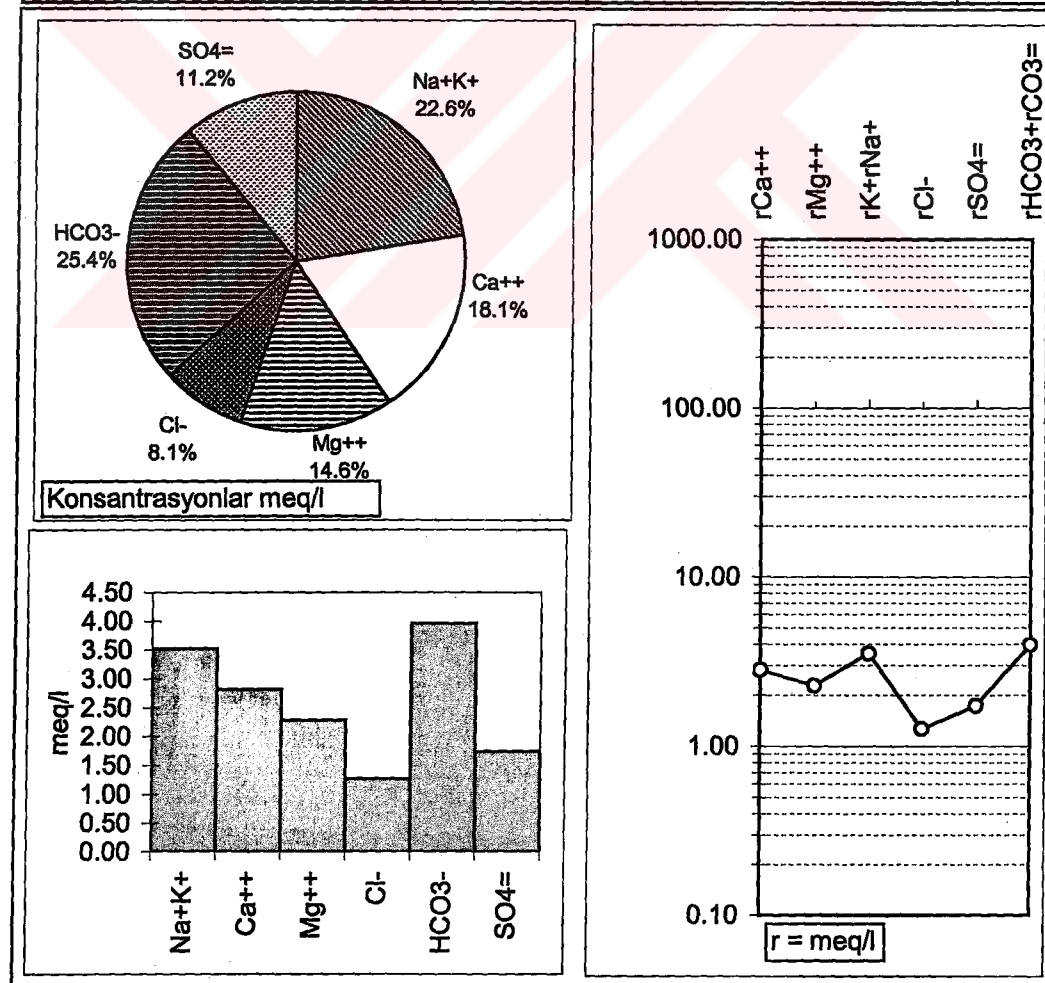
Örnek Adı ve Yeri (X/Y) : 32	14619/56686				pH(-logH)		7.7
Örnekleme Tarihi ve Kaynak :	1997			Köseoğlu ve Tarcan (1998)	EC(µmho/cm)		330
İYON	mg/l	meq/l	meq/l	% mg/l	C (mol/l)	.5CZ ²	F
Na ⁺	21	0.91	22.52	26.2	0.00091	0.0005	0.92
K ⁺	7	0.18	4.47	8.8	0.00018	0.0001	0.92
Ca ⁺⁺	41	2.05	50.74	51.4	0.00102	0.0020	0.73
Mg ⁺⁺	11	0.90	22.27	13.7	0.00045	0.0009	0.74
Cl ⁻	16	0.45	9.77	6.1	0.00045	0.0002	0.92
HCO ₃ ⁻	220	3.61	78.48	84.0	0.00361	0.0018	0.92
SO ₄ ⁼	26	0.54	11.75	9.9	0.00027	0.0005	0.72
Toplam Katyon Miktarı (meq/l)	4.040			Toplam Katyon Miktarı (mg/l)	80.0		
Toplam Anyon Miktarı (meq/l)	4.600			Toplam Anyon Miktarı (mg/l)	262.1		
Toplam İyon Miktarı (meq/l)	8.641			Toplam İyon Miktarı (mg/l)	342.1		
İyonlaşma Gücü (mol/l)	0.006			% e (Hata Yüzdesi)	-6.49		
SAR (Sodyum Ad. Oranı) (%)	0.749			Sertlik (Fr)	14.75		
rCl / (rSO ₄ +rHCO ₃) Oranı	0.108			rCa/rMg Oranı	2.28		
SIc (Kalsit Doygunluk İndeksi)	0.255			SIj (Jips Doygunluk İndeksi)	-2.23		
SLd (Dolomit Doygunluk İndeksi)	0.089			LogPCO ₂ (CO ₂) Kısımlı Basıncı	-2.36		
Fo (Köpürme Katsayısı)	70.5			Si (mg / l)			
Hidrokimyasal fasiyes tipi: Ca-Na-Mg-HCO ₃	B ⁺⁺⁺ (mg / l)						



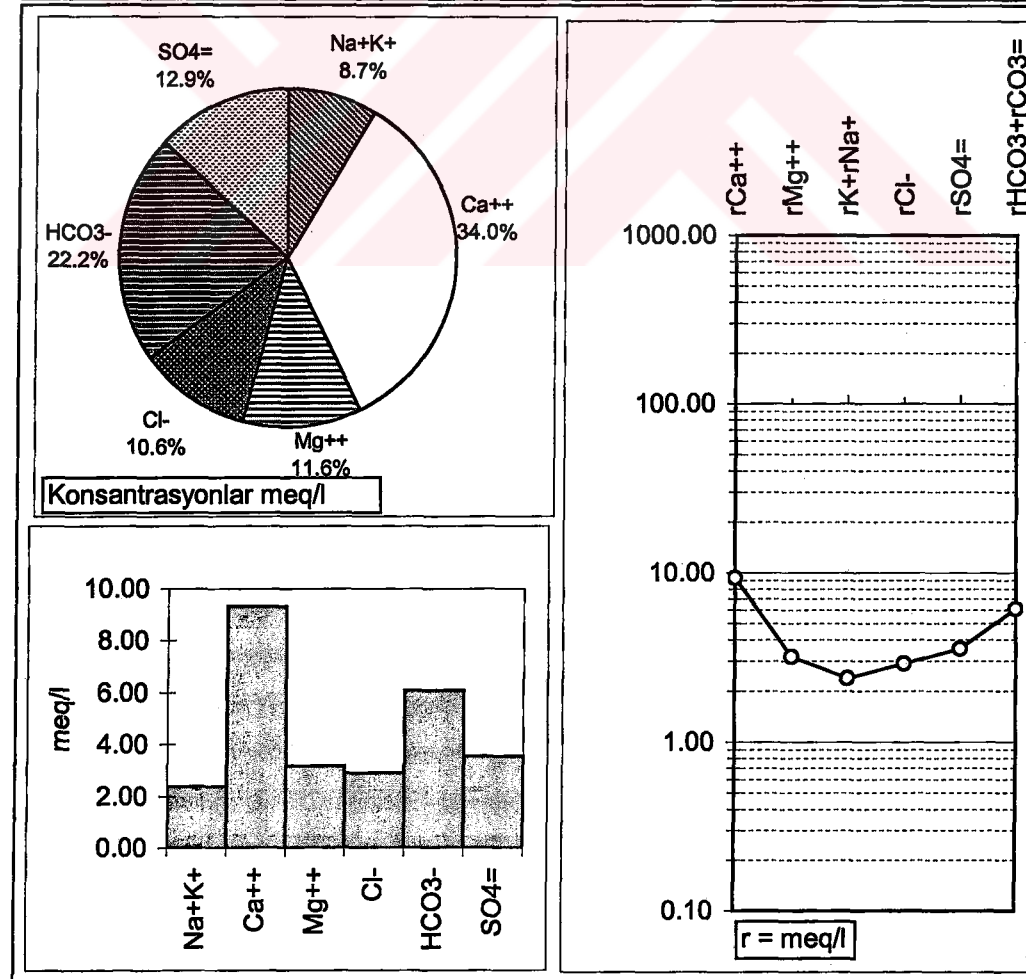
Örnek Adı ve Yeri (X/Y) : 33	15566/57258		pH(-logH)	7.3
Örnekleme Tarihi ve Kaynak :	1997	Köseoğlu ve Tarcan (1998)	EC(µmho/cm)	710
İYON	mg/l	meq/l	meq/l	% mg/l
Na ⁺	20	0.87	10.28	12.8
K ⁺	6	0.15	1.78	3.7
Ca ⁺⁺	103	5.14	60.76	65.7
Mg ⁺⁺	28	2.30	27.18	17.8
Cl ⁻	70	1.97	22.22	14.8
HCO ₃ ⁻	329	5.39	60.84	69.9
SO ₄ =	72	1.50	16.94	15.3
Toplam Katyon Miktarı (meq/l)	8.460	Toplam Katyon Miktarı (mg/l)		156.8
Toplam Anyon Miktarı (meq/l)	8.860	Toplam Anyon Miktarı (mg/l)		470.7
Toplam İyon Miktarı (meq/l)	17.319	Toplam İyon Miktarı (mg/l)		627.5
İyonlaşma Gücü (mol/l)	0.013	% e (Hata Yüzdesi)		-2.31
SAR (Sodyum Ad. Oranı) (%)	0.451	Sertlik (Fr)		37.20
rCl / (rSO ₄ +rHCO ₃) Oranı	0.286	rCa/rMg Oranı		2.24
SIc (Kalsit Doygunluk İndeksi)	0.361	SIj(Jips Doygunluk İndeksi)		-1.50
SID(Dolomit Doygunluk İndeksi)	0.202	LogPCO ₂ (CO ₂) Kısımlı Basıncı		-1.80
Fo (Köpürme Katsayısı)	65.7	Si (mg / l)		
Hidrokimyasal fasyes tipi: Ca-Mg-HCO ₃ -Cl	B ⁺⁺⁺ (mg / l)			



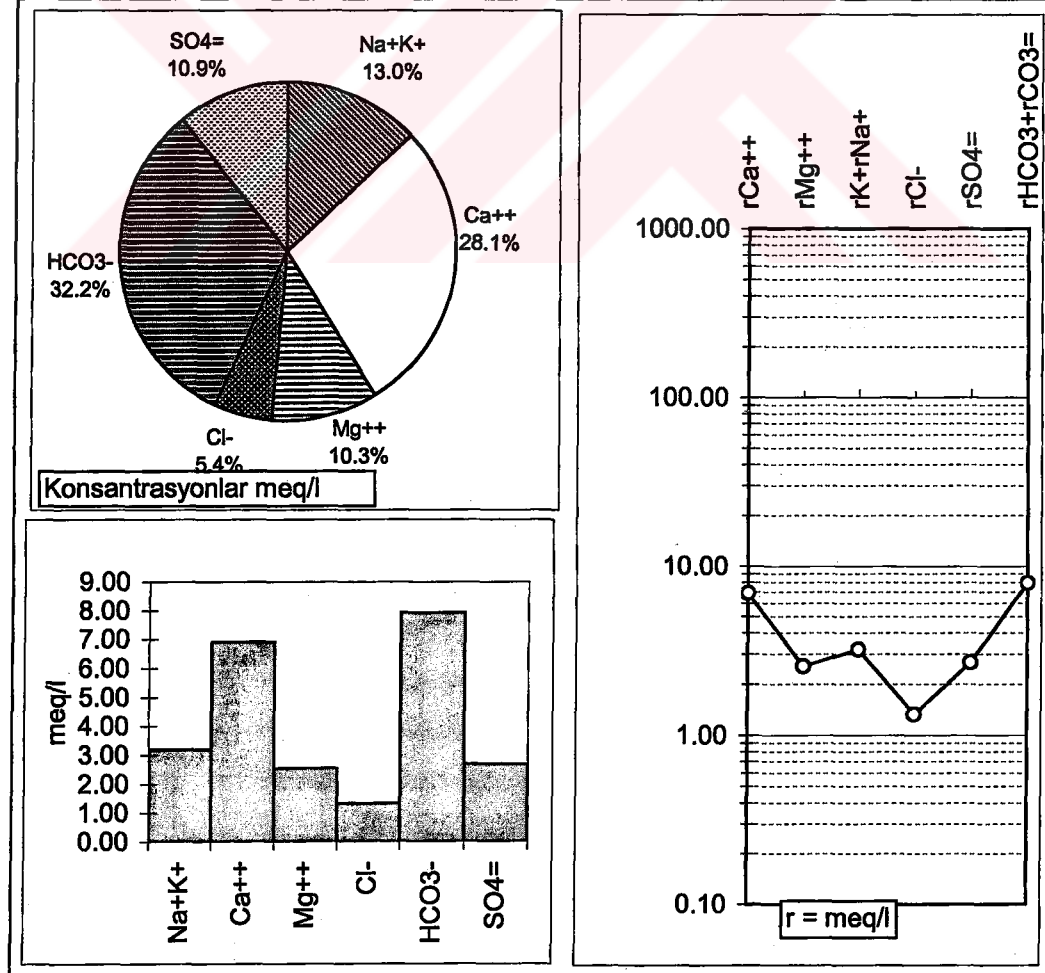
Örnek Adı ve Yeri (X/Y) : 34	14803/57086		pH(-logH)	7
Örnekleme Tarihi ve Kaynak :	2001	Baba ve diğerleri (2001)	EC(μmho/cm)	558
İYON	mg/l	meq/l	meq/l	% mg/l
Na ⁺	72	3.12	36.25	41.9
K ⁺	16	0.40	4.64	9.1
Ca ⁺⁺	56	2.81	32.67	32.9
Mg ⁺⁺	28	2.28	26.44	16.2
Cl ⁻	45	1.27	18.21	12.2
HCO ₃ ⁻	242	3.96	56.85	65.3
SO ₄ =	83	1.74	24.94	22.5
Toplam Katyon Miktarı (meq/l)		8.615	Toplam Katyon Miktarı (mg/l)	171.5
Toplam Anyon Miktarı (meq/l)		6.967	Toplam Anyon Miktarı (mg/l)	370.0
Toplam İyon Miktarı (meq/l)		15.582	Toplam İyon Miktarı (mg/l)	541.5
İyonlaşma Gücü (mol/l)		0.011	% e (Hata Yüzdesi)	10.58
SAR (Sodyum Ad. Oranı) (%)		1.957	Sertlik (Fr)	25.46
rCl / (rSO ₄ +rHCO ₃) Oranı		0.223	rCa/rMg Oranı	1.24
SiC (Kalsit Doygunluk İndeksi)		-0.319	SIj (Jips Doygunluk İndeksi)	-1.67
SiD (Dolomit Doygunluk İndeksi)		-0.350	LogPCO ₂ (CO ₂) Kısımlı Basıncı	-1.63
Fo (Köpürme Katsayısı)		224.8	Si (mg / l)	
Hidrokimyasal fasiyes tipi: Na-Ca-Mg-HCO ₃ -SO ₄		B ⁺⁺⁺ (mg / l)		



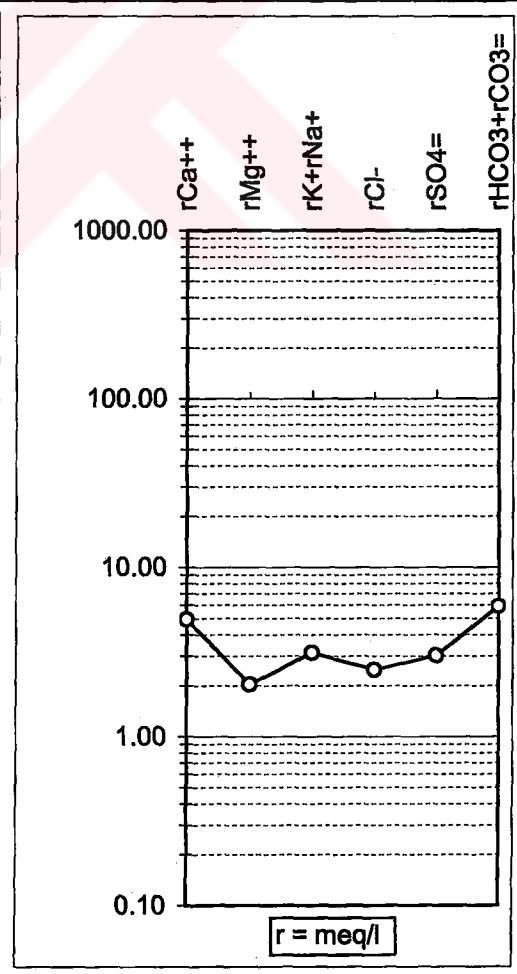
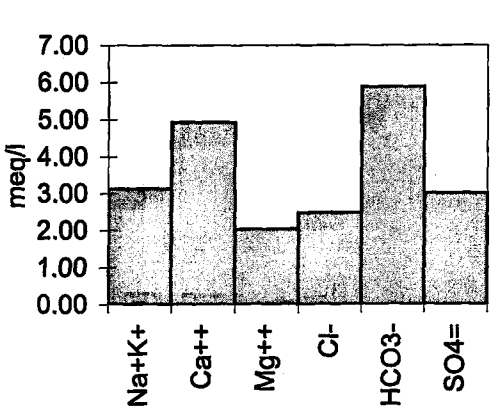
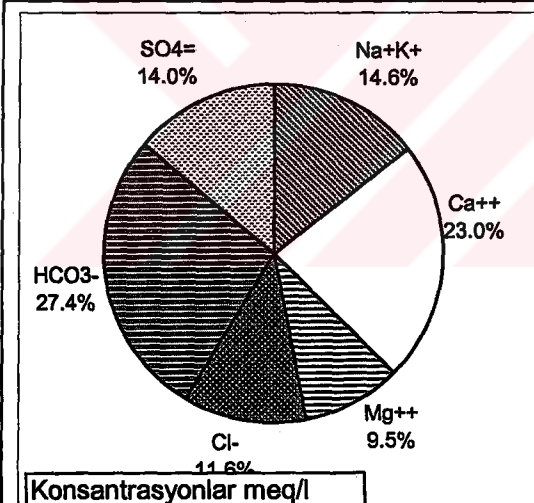
Örnek Adı ve Yeri (X/Y) : 35	14052/55988		pH(-logH)	6.7
Örnekleme Tarihi ve Kaynak :	2001	Baba ve diğerleri (2001)	EC(μmho/cm)	1142
İYON	mg/l	meq/l	meq/l	% mg/l
Na ⁺	45	1.96	13.16	15.7
K ⁺	17	0.43	2.86	5.8
Ca ⁺⁺	187	9.32	62.65	65.1
Mg ⁺⁺	39	3.17	21.33	13.4
Cl ⁻	103	2.90	23.18	16.0
HCO ₃ ⁻	371	6.08	48.55	57.6
SO ₄ ⁼	170	3.54	28.26	26.4
Toplam Katyon Miktarı (meq/l)	14.879	Toplam Katyon Miktarı (mg/l)	287.0	
Toplam Anyon Miktarı (meq/l)	12.523	Toplam Anyon Miktarı (mg/l)	643.8	
Toplam İyon Miktarı (meq/l)	27.402	Toplam İyon Miktarı (mg/l)	930.8	
İyonlaşma Gücü (mol/l)	0.022	% e (Hata Yüzdesi)	8.60	
SAR (Sodyum Ad. Oranı) (%)	0.783	Sertlik (Fr)	62.48	
rCl / (rSO ₄ +rHCO ₃) Oranı	0.302	rCa/rMg Oranı	2.94	
SIc (Kalsit Doygunluk İndeksi)	0.018	SIj(Jips Doygunluk İndeksi)	-0.96	
SID(Dolomit Doygunluk İndeksi)	-0.198	LogPCO ₂ (CO ₂ Kısımlı Basıncı)	-1.16	
Fo (Köpürme Katsayısı)	154.6	Si (mg / l)		
Hidrokimyasal fasiyes tipi: Ca-Mg-HCO ₃ -SO ₄ -C	B ⁺⁺⁺ (mg / l)			



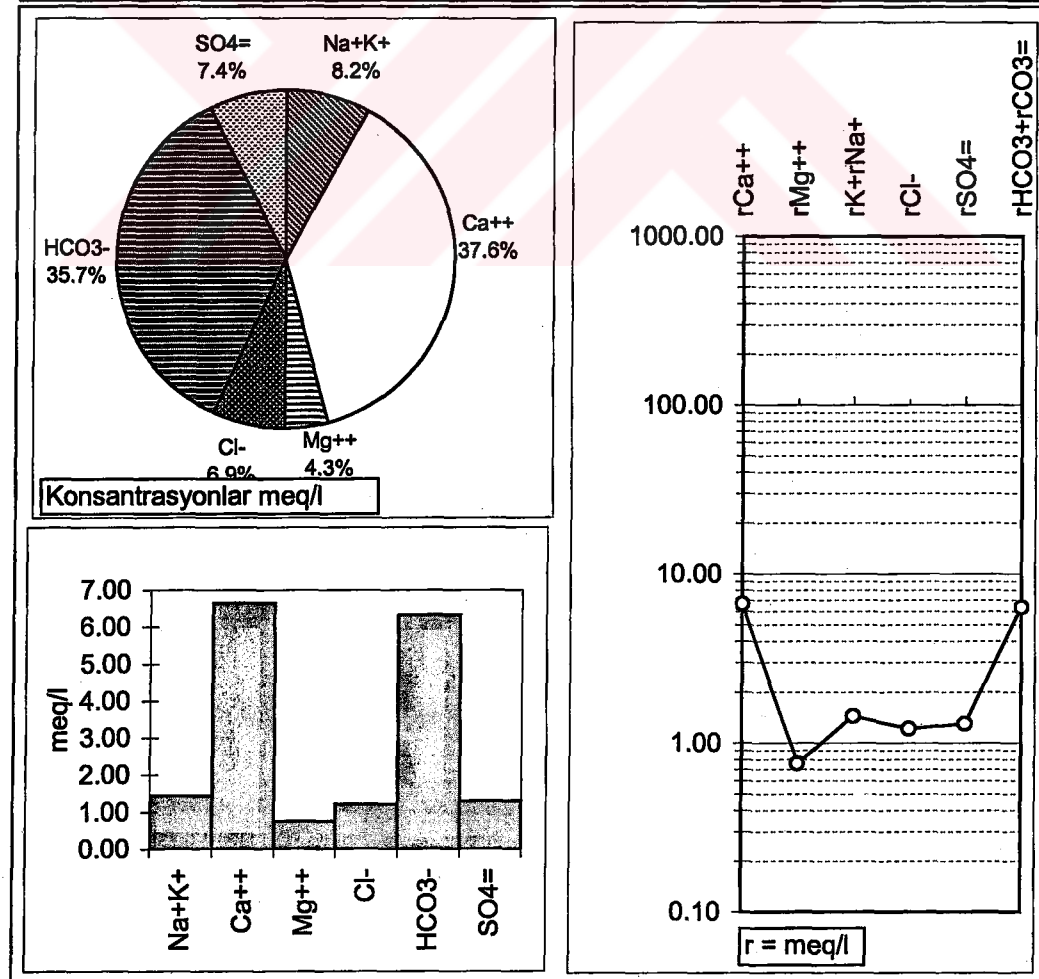
Örnek Adı ve Yeri (X/Y) : 36	17853/56935		pH(-logH)	6.6
Örnekleme Tarihi ve Kaynak :	2001	Baba ve diğerleri (2001)	EC(µmho/cm)	994
İYON	mg/l	meq/l	meq/l	% mg/l
Na ⁺	56	2.44	19.31	22.0
K ⁺	29	0.75	5.94	11.5
Ca ⁺⁺	138	6.91	54.64	54.3
Mg ⁺⁺	31	2.54	20.11	12.1
Cl ⁻	47	1.32	11.11	7.1
HCO ₃ ⁻	483	7.92	66.40	73.3
SO ₄ =	129	2.68	22.50	19.5
Toplam Katyon Miktarı (meq/l)		12.639	Toplam Katyon Miktarı (mg/l)	254.7
Toplam Anyon Miktarı (meq/l)		11.928	Toplam Anyon Miktarı (mg/l)	658.9
Toplam İyon Miktarı (meq/l)		24.567	Toplam İyon Miktarı (mg/l)	913.6
İyonlaşma Gücü (mol/l)		0.018	% e (Hata Yüzdesi)	2.89
SAR (Sodyum Ad. Oranı) (%)		1.123	Sertlik (Fr)	47.24
rCl / (rSO ₄ +rHCO ₃) Oranı		0.125	rCa/rMg Oranı	2.72
Slc (Kalsit Doygunluk İndeksi)		-0.079	Slj (Jips Doygunluk İndeksi)	-1.18
SlD (Dolomit Doygunluk İndeksi)		-0.279	LogPCO ₂ (CO ₂) Kısımlı Basıncı	-0.94
Fo (Köpürme Katsayısı)		209.9	Si (mg / l)	
Hidrokimyasal fasiyes tipi: Ca-Mg-HCO ₃ -SO ₄		B ⁺⁺⁺ (mg / l)		



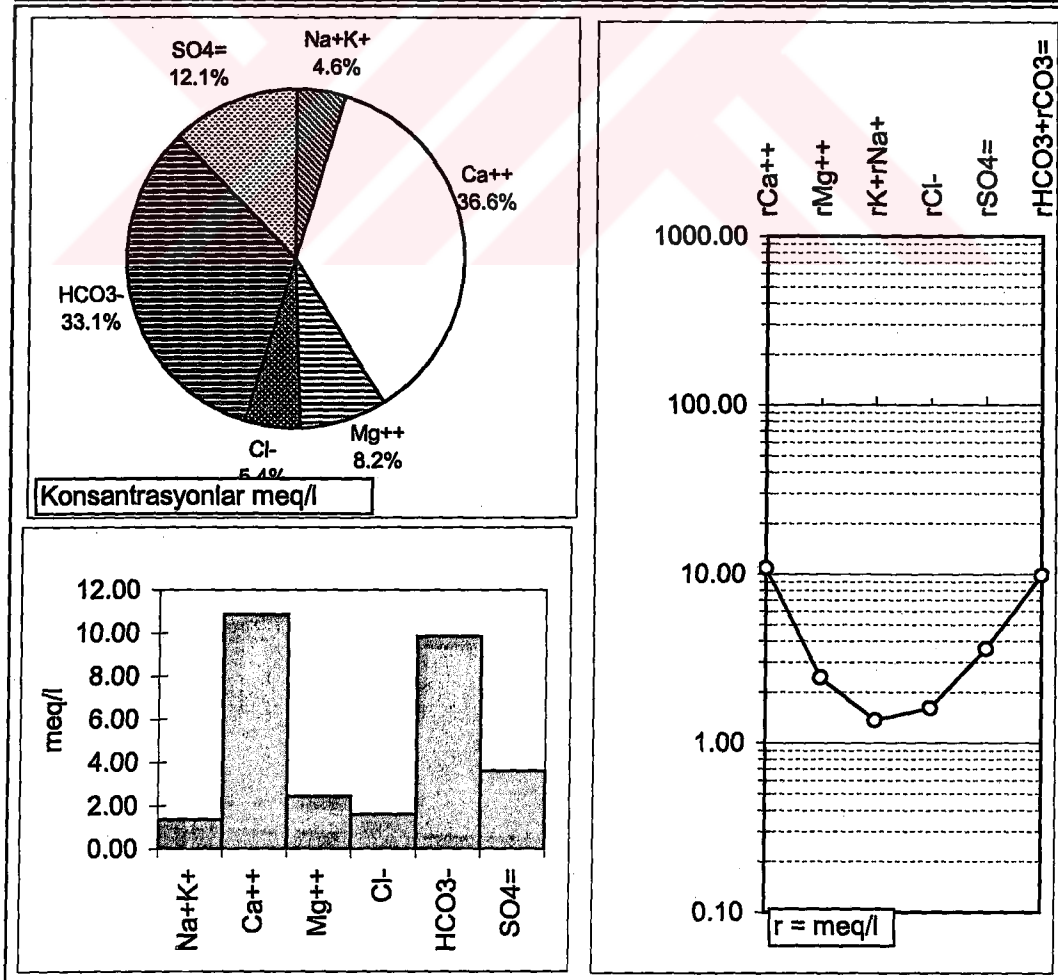
Örnek Adı ve Yeri (X/Y) : 37	19357/57380		pH(-logH)	7.7
Örnekleme Tarihi ve Kaynak :	2001	Baba ve diğerleri (2001)	EC(µmho/cm)	736
İYON	mg/l	meq/l	meq/l	% mg/l
Na ⁺	69	3.00	29.72	34.9
K ⁺	5	0.13	1.27	2.5
Ca ⁺⁺	99	4.93	48.82	50.0
Mg ⁺⁺	25	2.04	20.19	12.6
Cl ⁻	88	2.48	21.82	14.9
HCO ₃ ⁻	359	5.88	51.72	60.7
SO ₄ ⁼	144	3.01	26.46	24.4
Toplam Katyon Miktarı (meq/l)	10.099	Toplam Katyon Miktarı (mg/l)	197.6	
Toplam Anyon Miktarı (meq/l)	11.369	Toplam Anyon Miktarı (mg/l)	591.1	
Toplam İyon Miktarı (meq/l)	21.468	Toplam İyon Miktarı (mg/l)	788.7	
İyonlaşma Gücü (mol/l)	0.016	% e (Hata Yüzdesi)	-5.92	
SAR (Sodyum Ad. Oranı) (%)	1.608	Sertlik (Fr)	34.85	
rCl / (rSO ₄ +rHCO ₃) Oranı	0.279	rCa/rMg Oranı	2.42	
SIc (Kalsit Doygunluk İndeksi)	0.762	SIj (Jips Doygunluk İndeksi)	-1.24	
SID (Dolomit Doygunluk İndeksi)	0.587	LogPCO ₂ (CO ₂) Kısımlı Basıncı	-2.17	
Fo (Köpürme Katsayısı)	196.1	Si (mg / l)		
Hidrokimyasal fasiyes tipi: Ca-Li-Na-HCO ₃ -SO ₄		B ⁺⁺⁺ (mg / l)		



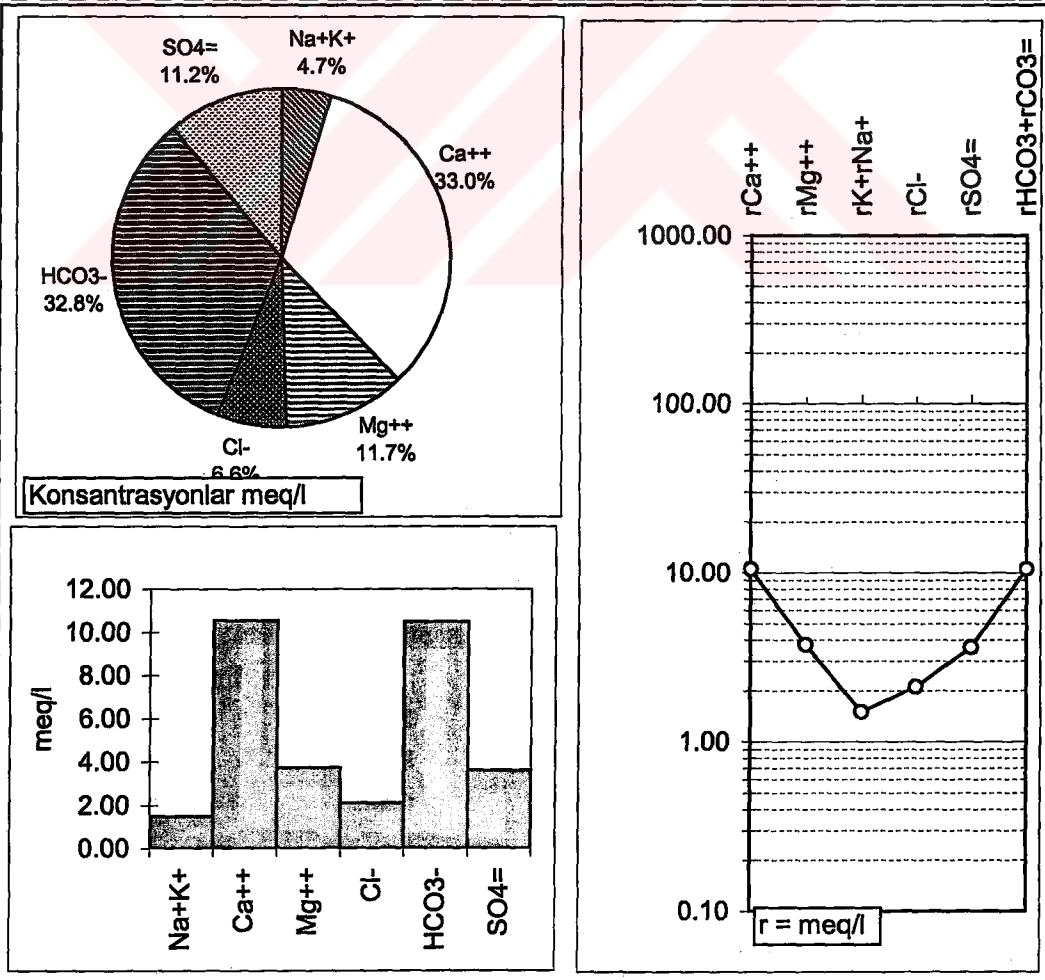
Örnek Adı ve Yeri (X/Y) : 38			19855/56804		pH(-logH)			7.6
Örnekleme Tarihi ve Kaynak :			2001	Baba ve diğerleri (2001)		EC(µmho/cm)	630	
İYON	mg/l	meq/l	meq/l	% mg/l	C (mol/l)	.5CZ ²	F	AC
Na ⁺	32	1.39	15.69	18.1	0.00139	0.0007	0.89	0.0012
K ⁺	2	0.05	0.61	1.2	0.00005	0.0000	0.89	0.0000
Ca ⁺⁺	133	6.65	75.15	75.5	0.00332	0.0066	0.65	0.0021
Mg ⁺⁺	9	0.76	8.55	5.2	0.00038	0.0008	0.66	0.0003
Cl ⁻	43	1.21	13.72	8.8	0.00121	0.0006	0.89	0.0011
HCO ₃ ⁻	386	6.32	71.54	78.5	0.00632	0.0032	0.89	0.0056
SO ₄ =	63	1.30	14.74	12.7	0.00065	0.0013	0.63	0.0004
Toplam Katyon Miktarı (meq/l)			8.845	Toplam Katyon Miktarı (mg/l)		176.4		
Toplam Anyon Miktarı (meq/l)			8.834	Toplam Anyon Miktarı (mg/l)		491.0		
Toplam İyon Miktarı (meq/l)			17.678	Toplam İyon Miktarı (mg/l)		667.4		
İyonlaşma Gücü (mol/l)			0.013	% e (Hata Yüzdesi)		0.06		
SAR (Sodyum Ad. Oranı) (%)			0.721	Sertlik (Fr)		37.02		
rCl / (rSO ₄ +rHCO ₃) Oranı			0.159	rCa/rMg Oranı		8.79		
Slc (Kalsit Doygunluk İndeksi)			0.841	Slj (Jips Doygunluk İndeksi)		-1.45		
SlD (Dolomit Doygunluk İndeksi)			0.385	LogPCO ₂ (CO ₂) Kısımlı Basıncı		-2.03		
Fo (Köpürme Katsayısı)			90.2	Si (mg / l)				
Hidrokimyasal fasiyes tipi: Ca-Li-HCO ₃			B ⁺⁺⁺ (mg / 1)					



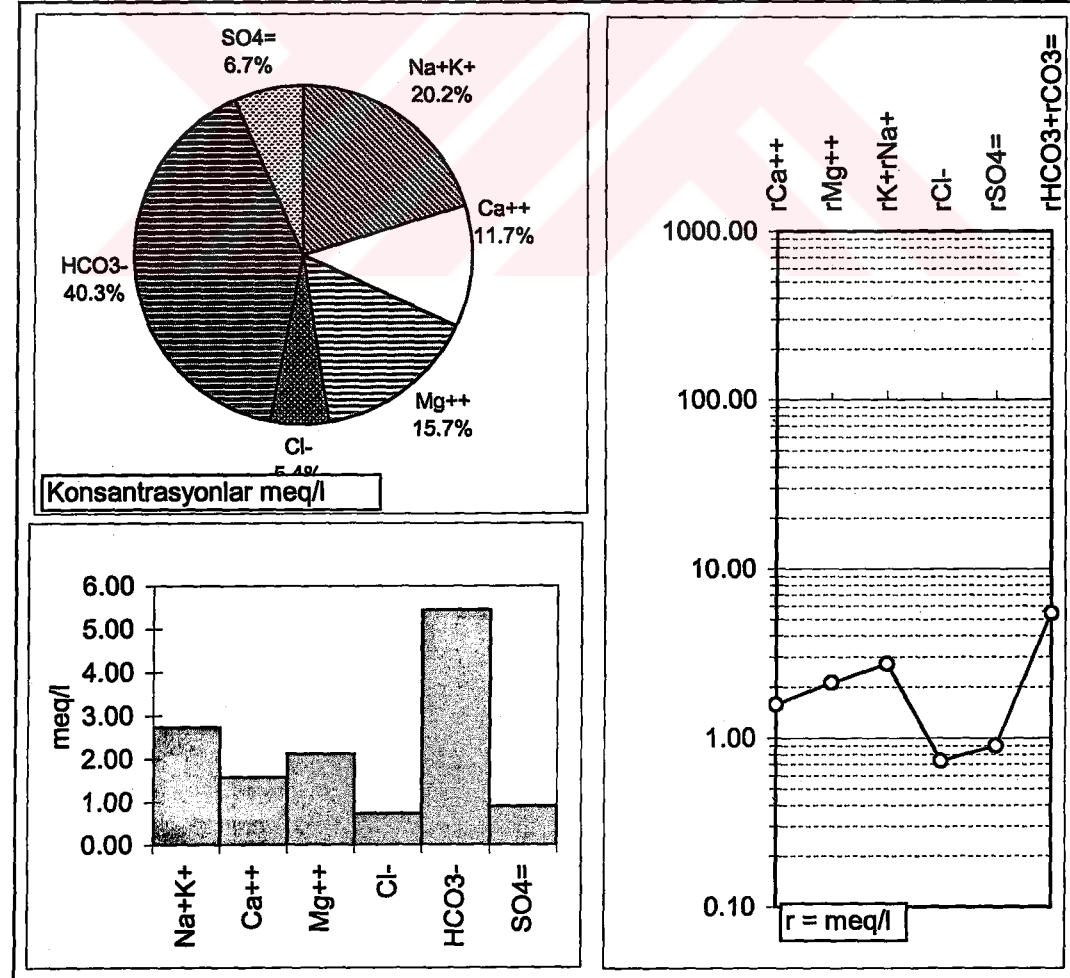
Örnek Adı ve Yeri (X/Y) : 39	16560/57100		pH(-logH)	6.8
Örnekleme Tarihi ve Kaynak :	2003	Yazara aittir		EC(µmho/cm)
İYON	mg/l	meq/l	meq/l	% mg/l
Na ⁺	27	1.17	8.01	9.6
K ⁺	7	0.19	1.29	2.6
Ca ⁺⁺	218	10.86	74.06	77.3
Mg ⁺⁺	30	2.44	16.63	10.5
Cl ⁻	57	1.61	10.68	6.9
HCO ₃ ⁻	600	9.84	65.43	72.3
SO ₄ =	172	3.59	23.89	20.8
Toplam Katyon Miktarı (meq/l)	14.661	Toplam Katyon Miktarı (mg/l)	281.7	
Toplam Anyon Miktarı (meq/l)	15.039	Toplam Anyon Miktarı (mg/l)	829.7	
Toplam İyon Miktarı (meq/l)	29.699	Toplam İyon Miktarı (mg/l)	1111.3	
İyonlaşma Gücü (mol/l)	0.023	% e (Hata Yüzdesi)	-1.27	
SAR (Sodyum Ad. Oranı) (%)	0.455	Sertlik (Fr)	66.48	
rCl / (rSO ₄ +rHCO ₃) Oranı ..	0.120	rCa/rMg Oranı	4.45	
SIc (Kalsit Doygunluk İndeksi)	0.385	SLj(Jips Doygunluk İndeksi)	-0.90	
SI _d (Dolomit Doygunluk İndeksi)	0.079	LogPCO ₂ (CO ₂) Kısımlı Basıncı	-1.05	
Fo (Köpürme Katsayısı)	87.6	Si (mg / l)		
Hidrokimyasal fasiyes tipi: Ca-HCO ₃ -SO ₄	B ⁺⁺⁺ (mg / l)			



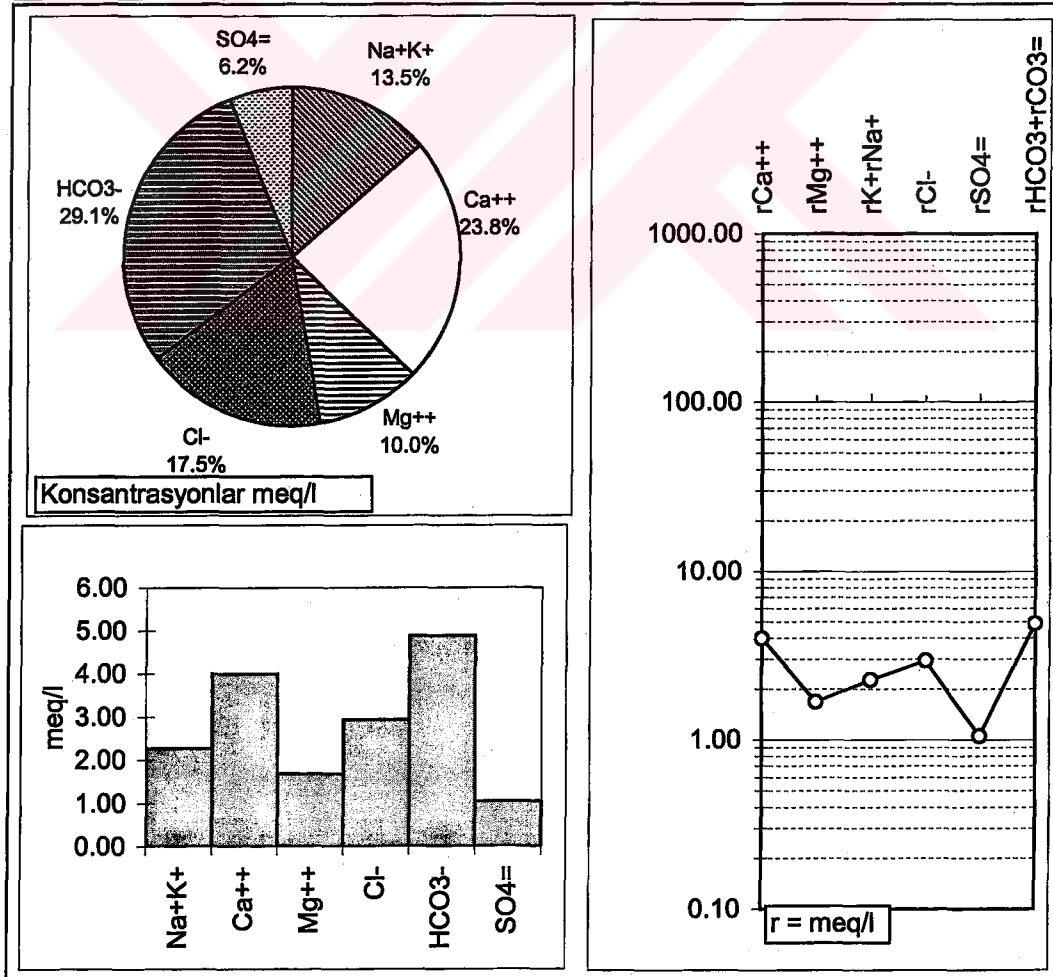
Örnek Adı ve Yeri (X/Y) : 40	16240/56942				pH(-logH)		6.8
Örnekleme Tarihi ve Kaynak :	2003	Yazara aittir			EC(µmho/cm)		1199
İYON	mg/l	meq/l	meq/l	% mg/l	C (mol/l)	.5CZ ²	F
Na ⁺	31	1.33	8.44	10.4	0.00133	0.0007	0.86
K ⁺	7	0.17	1.09	2.3	0.00017	0.0001	0.85
Ca ⁺⁺	211	10.54	66.79	71.9	0.00527	0.0105	0.57
Mg ⁺⁺	45	3.74	23.68	15.5	0.00187	0.0037	0.59
Cl ⁻	75	2.11	13.06	8.5	0.00211	0.0011	0.85
HCO ₃ ⁻	639	10.48	64.75	72.1	0.01048	0.0052	0.86
SO ₄ ⁼	172	3.59	22.19	19.4	0.00180	0.0036	0.54
Toplam Katyon Miktarı (meq/l)		15.779	Toplam Katyon Miktarı (mg/l)		293.9		
Toplam Anyon Miktarı (meq/l)		16.186	Toplam Anyon Miktarı (mg/l)		886.7		
Toplam İyon Miktarı (meq/l)		31.965	Toplam İyon Miktarı (mg/l)		1180.7		
İyonlaşma Gücü (mol/l)		0.025	% e (Hata Yüzdesi)		-1.28		
SAR (Sodyum Ad. Oranı) (%)		0.498	Sertlik (Fr)		71.38		
rCl / (rSO ₄ +rHCO ₃) Oranı		0.150	rCa/rMg Oranı		2.82		
Slc (Kalsit Doygunluk İndeksi)		0.391	Slj (Jips Doygunluk İndeksi)		-0.92		
SlD (Dolomit Doygunluk İndeksi)		0.185	LogPCO ₂ (CO ₂) Kısımlı Basıncı		-1.03		
Fo (Köptürme Katsayısı)		95.9	Si (mg / l)				
Hidrokimyasal fasiyes tipi: Ca-Mg-HCO ₃ -SO ₄		B ⁺⁺⁺ (mg / l)					



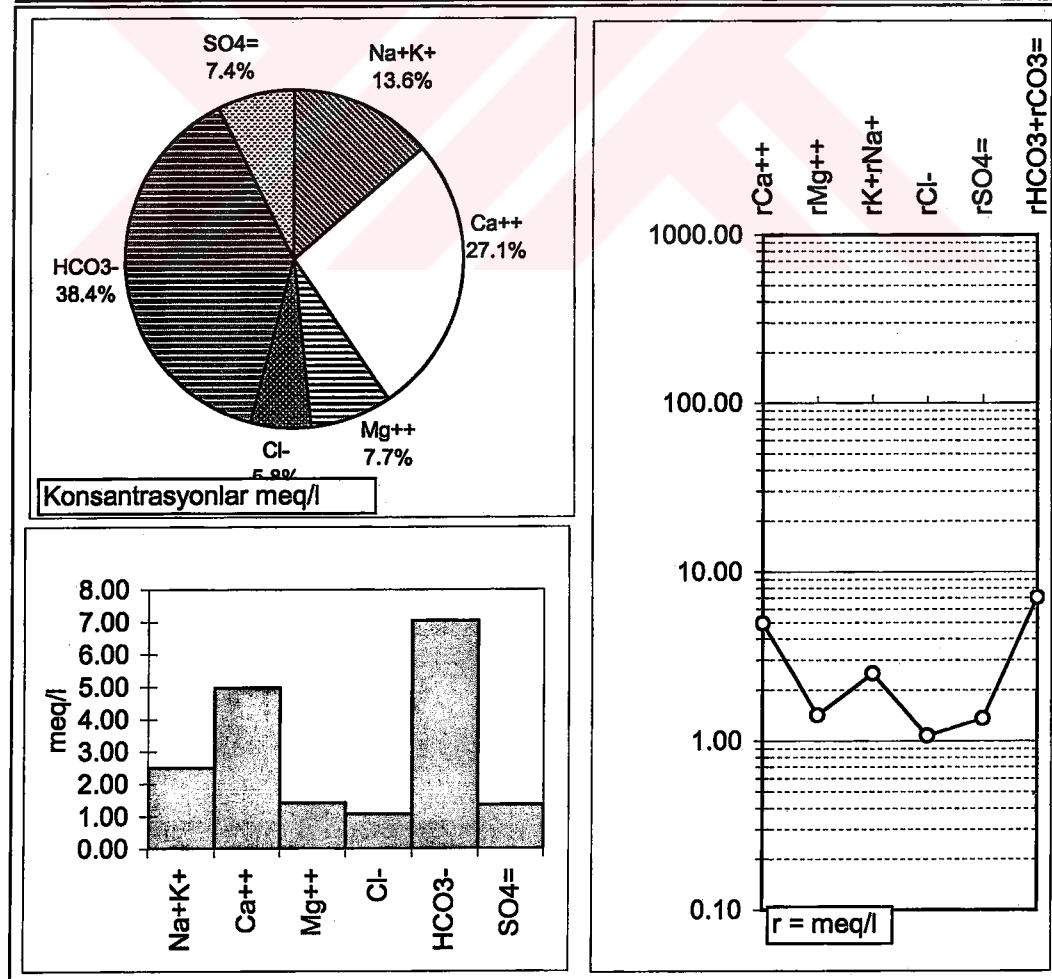
Örnek Adı ve Yeri (X/Y) : 41	14620/57255		pH(-logH)	7.2
Örnekleme Tarihi ve Kaynak :	2003	Yazara aittir	EC(µmho/cm)	569
İYON	mg/l	meq/l	meq/l	% mg/l
Na ⁺	50	2.15	33.52	38.3
K ⁺	22	0.57	8.94	17.3
Ca ⁺⁺	32	1.58	24.55	24.4
Mg ⁺⁺	26	2.12	32.98	19.9
Cl ⁻	26	0.73	10.36	6.5
HCO ₃ ⁻	332	5.44	76.91	82.7
SO ₄ ⁼	43	0.90	12.73	10.8
Toplam Katyon Miktarı (meq/l)	6.423	Toplam Katyon Miktarı (mg/l)	129.3	
Toplam Anyon Miktarı (meq/l)	7.072	Toplam Anyon Miktarı (mg/l)	401.0	
Toplam İyon Miktarı (meq/l)	13.495	Toplam İyon Miktarı (mg/l)	530.3	
İyonlaşma Gücü (mol/l)	0.009	% e (Hata Yüzdesi)	-4.81	
SAR (Sodyum Ad. Oranı) (%)	1.584	Sertlik (Fr)	18.48	
rCl / (rSO ₄ +rHCO ₃) Oranı	0.116	rCa/rMg Oranı	0.74	
SIc (Kalsit Doygunluk İndeksi)	-0.213	SIj(Jips Doygunluk İndeksi)	-2.17	
SId(Dolomit Doygunluk İndeksi)	-0.135	LogPCO ₂ (CO ₂) Kısımlı Basıncı	-1.69	
Fo (Köpürme Katsayısı)	178.3	Si (mg / l)		
Hidrokimyasal fasıyes tipi: Na-Mg-Ca-HCO ₃	B ⁺⁺⁺ (mg / l)			



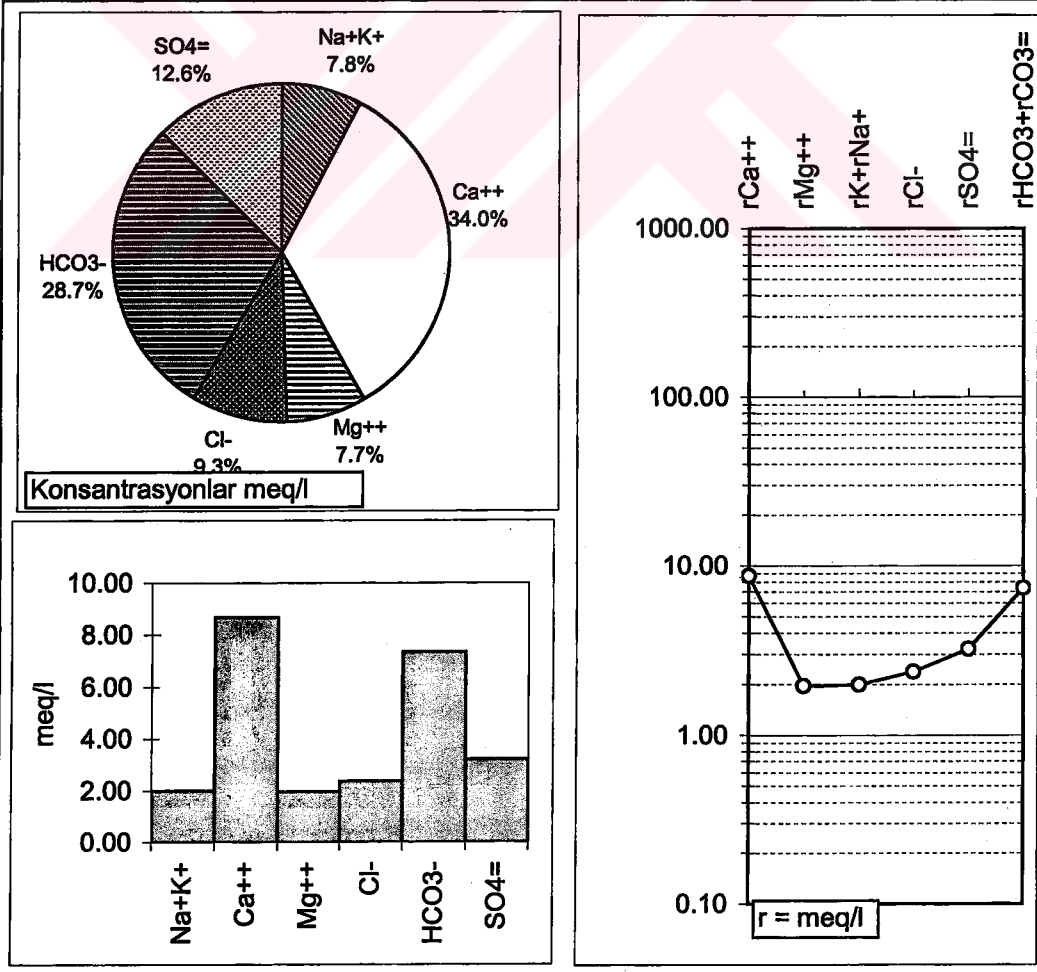
Örnek Adı ve Yeri (X/Y) : 42	14620/57117					pH(-logH)	7.3
Örnekleme Tarihi ve Kaynak :	2003			Yazara aittir		EC($\mu\text{mho}/\text{cm}$)	755
İYON	mg/l	meq/l	meq/l	% mg/l	C (mol/l)	.5CZ ²	F
Na ⁺	46	1.99	25.11	29.2	0.00199	0.0010	0.89
K ⁺	11	0.27	3.43	6.8	0.00027	0.0001	0.89
Ca ⁺⁺	80	3.99	50.31	51.0	0.00200	0.0040	0.66
Mg ⁺⁺	20	1.68	21.15	13.0	0.00084	0.0017	0.67
Cl ⁻	104	2.93	33.09	23.0	0.00293	0.0015	0.89
HCO ₃ ⁻	298	4.88	55.10	65.9	0.00488	0.0024	0.89
SO ₄ =	50	1.05	11.81	11.1	0.00052	0.0010	0.64
Toplam Katyon Miktarı (meq/l)			7.934	Toplam Katyon Miktarı (mg/l)			156.8
Toplam Anyon Miktarı (meq/l)			8.857	Toplam Anyon Miktarı (mg/l)			451.9
Toplam İyon Miktarı (meq/l)			16.792	Toplam İyon Miktarı (mg/l)			608.7
İyonlaşma Gücü (mol/l)			0.012	% e (Hata Yüzdesi)			-5.50
SAR (Sodyum Ad. Oranı) (%)			1.183	Sertlik (Fr)			28.35
rCl / (rSO ₄ +rHCO ₃) Oranı			0.495	rCa/rMg Oranı			2.38
SIc (Kalsit Doygunluk İndeksi)			0.219	SIj(Jips Doygunluk İndeksi)			-1.75
SID(Dolomit Doygunluk İndeksi)			0.046	LogPCO ₂ (CO ₂) Kısımlı Basıncı			-1.84
Fo (Köpürme Katsayısı)			144.7	Si (mg / l)			
Hidrokimyasal fasiyes tipi: Ca-Na-HCO ₃ -Cl			B ⁺⁺⁺ (mg / l)				



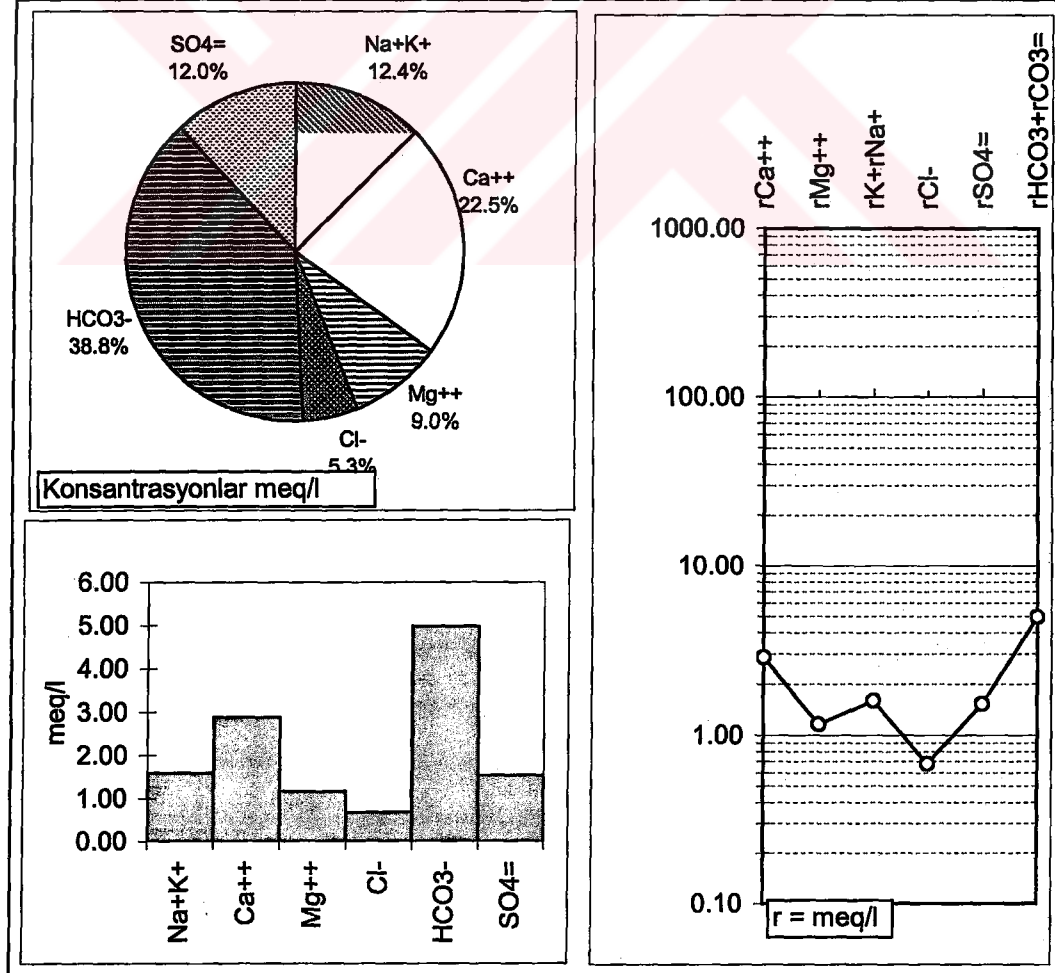
Örnek Adı ve Yeri (X/Y) : 43	19180/57321		pH(-logH)	7.1
Örneklemme Tarihi ve Kaynak :	2003	Yazara aittir		EC(umho/cm)
İYON	mg/l	meq/l	meq/l	% mg/l
Na ⁺	40	1.73	19.48	21.3
K ⁺	30	0.77	8.63	16.0
Ca ⁺⁺	100	4.97	55.93	53.4
Mg ⁺⁺	17	1.42	15.96	9.2
Cl ⁻	38	1.07	11.32	7.1
HCO ₃ ⁻	429	7.04	74.37	80.7
SO ₄ ⁼	65	1.35	14.31	12.2
Toplam Katyon Miktarı (meq/l)		8.886	Toplam Katyon Miktarı (mg/l)	186.6
Toplam Anyon Miktarı (meq/l)		9.465	Toplam Anyon Miktarı (mg/l)	532.4
Toplam İyon Miktarı (meq/l)		18.351	Toplam İyon Miktarı (mg/l)	719.0
İyonlaşma Gücü (mol/l)		0.013	% e (Hata Yüzdesi)	-3.15
SAR (Sodyum Ad. Oranı) (%)		0.969	Sertlik (Fr)	31.94
rCl / (rSO ₄ +rHCO ₃) Oranı		0.128	rCa/rMg Oranı	3.50
SIc (Kalsit Doygunluk İndeksi)		0.263	SIj(Jips Doygunluk İndeksi)	-1.56
SId(Dolomit Doygunluk İndeksi)		0.006	LogPCO ₂ (CO ₂) Kısımlı Basıncı	-1.48
Fo (Köptürme Katsayısı)		167.1	Si (mg / l)	
Hidrokimyasal fasiyes tipi: Ca-HCO ₃		B ⁺⁺⁺ (mg / l)		



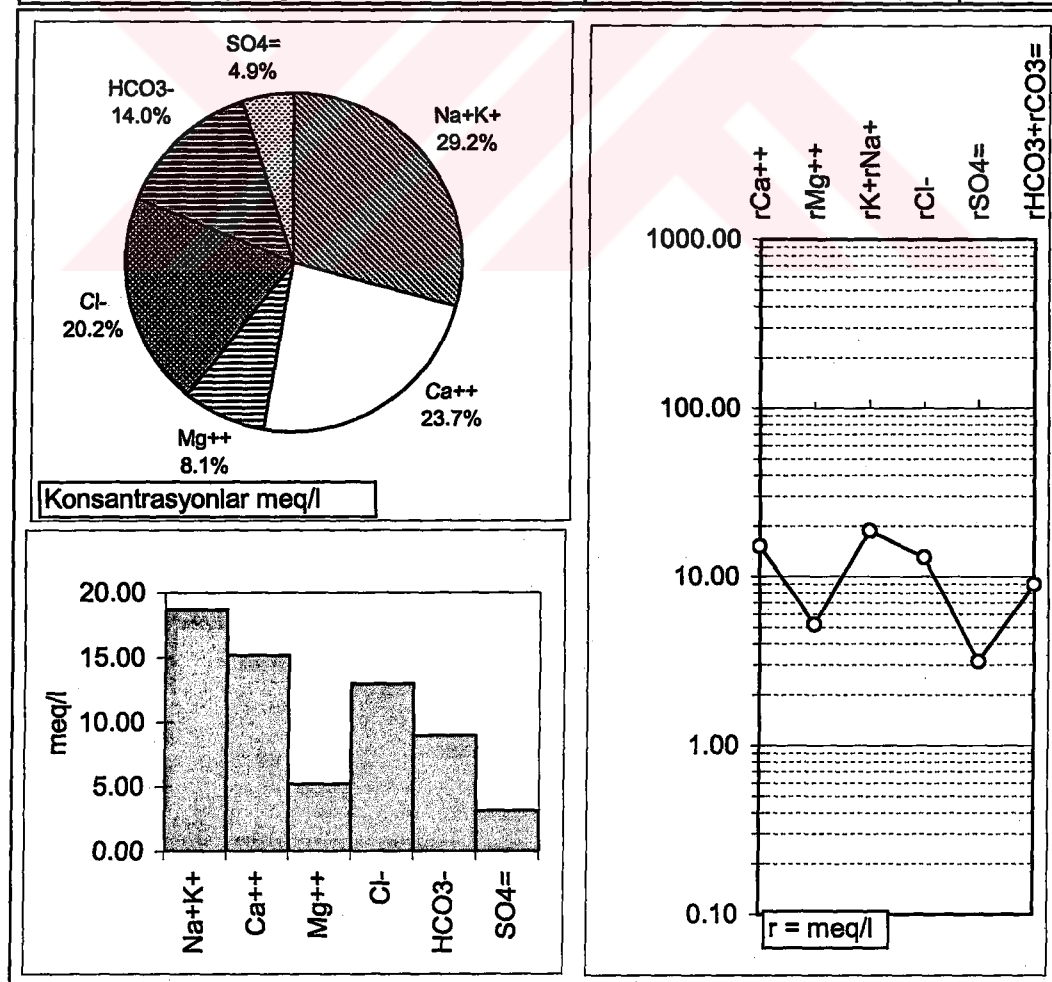
Örnek Adı ve Yeri (X/Y) : 44	16280/55972		pH(-logH)	7
Örnekleme Tarihi ve Kaynak :	2003	Yazara aittir		
		EC($\mu\text{mho}/\text{cm}$)		947
İYON	mg/l	meq/l	meq/l	% mg/l
Na ⁺	42	1.83	14.50	17.1
K ⁺	6	0.16	1.28	2.6
Ca ⁺⁺	174	8.68	68.72	70.7
Mg ⁺⁺	24	1.96	15.50	9.7
Cl ⁻	84	2.37	18.31	12.2
HCO ₃ ⁻	448	7.35	56.83	65.3
SO ₄ =	154	3.21	24.86	22.5
Toplam Katyon Miktarı (meq/l)	12.628	Toplam Katyon Miktarı (mg/l)		246.1
Toplam Anyon Miktarı (meq/l)	12.930	Toplam Anyon Miktarı (mg/l)		686.5
Toplam İyon Miktarı (meq/l)	25.557	Toplam İyon Miktarı (mg/l)		932.6
İyonlaşma Gücü (mol/l)	0.020	% e (Hata Yüzdesi)		-1.18
SAR (Sodyum Ad. Oranı) (%)	0.794	Sertlik (Fr)		53.17
rCl / (rSO ₄ +rHCO ₃) Oranı	0.224	rCa/rMg Oranı		4.43
SIc (Kalsit Doygunluk İndeksi)	0.380	SIj(Jips Doygunluk İndeksi)		-1.01
SID(Dolomit Doygunluk İndeksi)	0.074	LogPCO ₂ (CO ₂) Kısımlı Basıncı		-1.37
Fo (Köpürme Katsayısı)	126.1	Si (mg / l)		
Hidrokimyasal fasiyes tipi: Ca-HCO ₃ -SO ₄	B ⁺⁺⁺ (mg / l)			



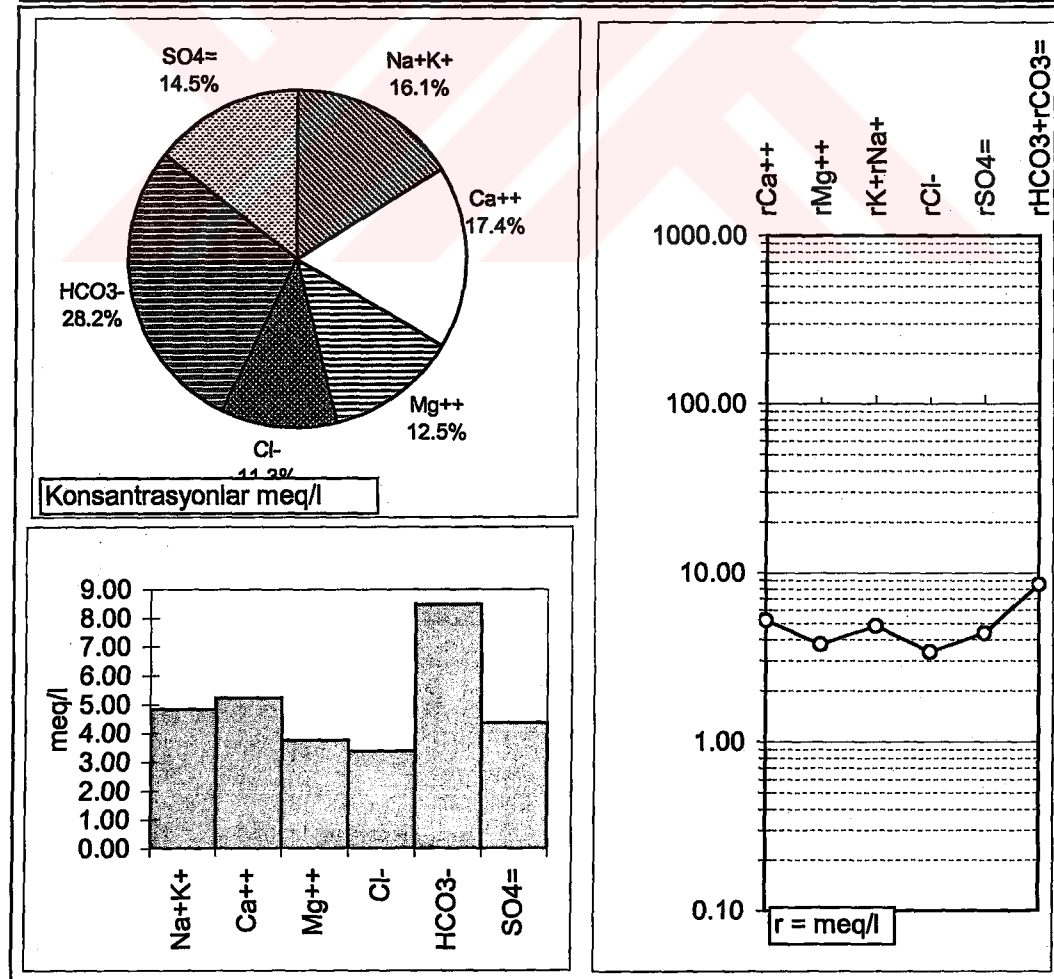
Örnek Adı ve Yeri (X/Y) : 45			15260/55511			pH(-logH)		7.6
Örnekleme Tarihi ve Kaynak :			2003	Yazara aittir		EC(μmho/cm)		421
İYON	mg/l	meq/l	meq/l	% mg/l	C (mol/l)	.5CZ ²	F	AC
Na ⁺	34	1.47	26.10	30.6	0.00147	0.0007	0.91	0.0013
K ⁺	5	0.12	2.20	4.4	0.00012	0.0001	0.90	0.0001
Ca ⁺⁺	58	2.88	51.13	52.3	0.00144	0.0029	0.69	0.0010
Mg ⁺⁺	14	1.16	20.57	12.8	0.00058	0.0012	0.70	0.0004
Cl ⁻	24	0.68	9.42	6.0	0.00068	0.0003	0.90	0.0006
HCO ₃ ⁻	303	4.97	69.21	75.6	0.00497	0.0025	0.91	0.0045
SO ₄ ⁼	74	1.54	21.37	18.4	0.00077	0.0015	0.67	0.0005
Toplam Katyon Miktarı (meq/l)			5.633	Toplam Katyon Miktarı (mg/l)			110.4	
Toplam Anyon Miktarı (meq/l)			7.184	Toplam Anyon Miktarı (mg/l)			401.0	
Toplam İyon Miktarı (meq/l)			12.817	Toplam İyon Miktarı (mg/l)			511.4	
İyonlaşma Gücü (mol/l)			0.009	% e (Hata Yüzdesi)			-12.10	
SAR (Sodyum Ad. Oranı) (%)			1.035	Sertlik (Fr)			20.19	
rCl / (rSO ₄ +rHCO ₃) Oranı			0.104	rCa/rMg Oranı			2.49	
SIc (Kalsit Doygunluk İndeksi)			0.408	SIj (Jips Doygunluk İndeksi)			-1.68	
SLd (Dolomit Doygunluk İndeksi)			0.224	LogPCO ₂ (CO ₂) Kısımlı Basıncı			-2.13	
Fo (Köpürme Katsayısı)			100.8	Si (mg / l)				
Hidrokimyasal fasiyes tipi: Ca-Na-HCO ₃ -SO ₄			B ⁺⁺⁺ (mg / l)					



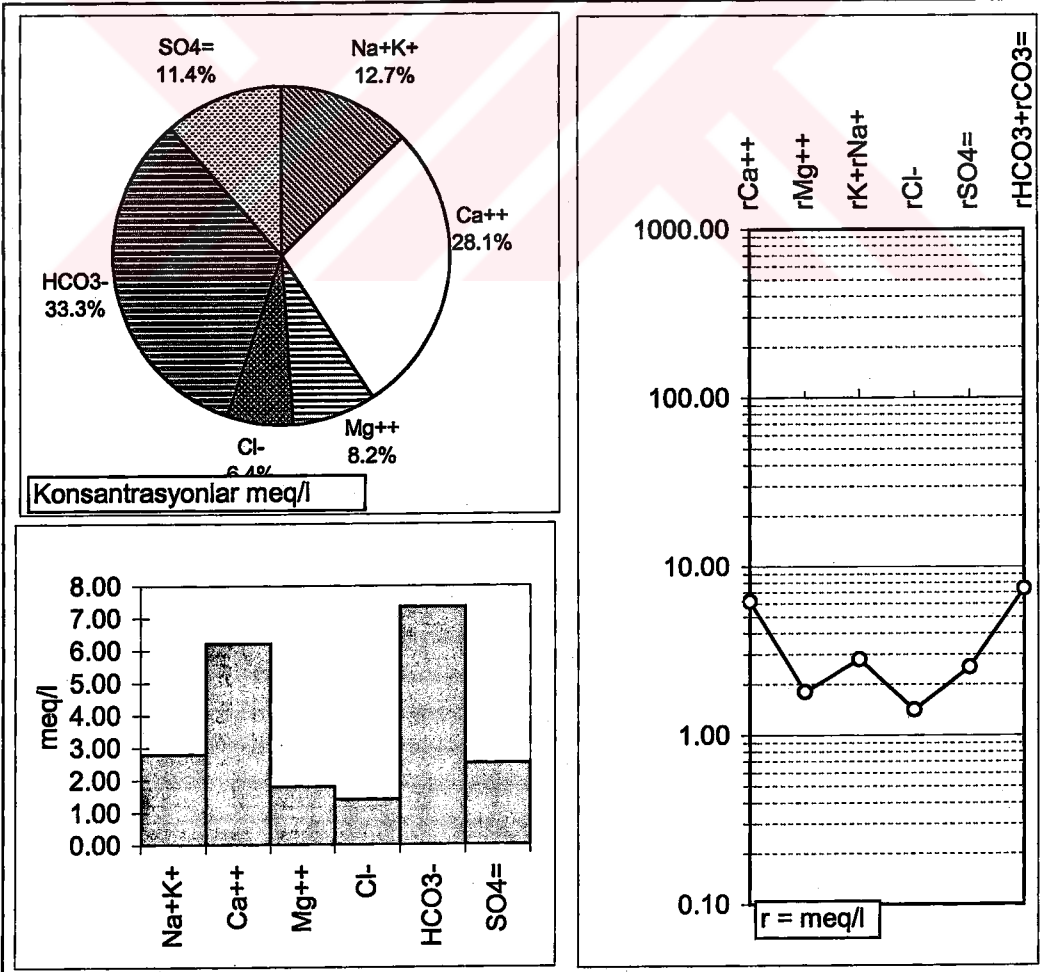
Örnek Adı ve Yeri (X/Y) : 46			16140/55420			pH(-logH)		7
Örnekleme Tarihi ve Kaynak :			2003	Yazara aittir		EC(µmho/cm)		3120
İYON	mg/l	meq/l	meq/l	% mg/l	C (mol/l)	.5CZ ²	F	AC
Na ⁺	425	18.50	47.36	53.2	0.01850	0.0093	0.83	0.0153
K ⁺	8	0.19	0.49	0.9	0.00019	0.0001	0.82	0.0002
Ca ⁺⁺	304	15.18	38.85	38.0	0.00759	0.0152	0.50	0.0038
Mg ⁺⁺	63	5.20	13.30	7.9	0.00260	0.0052	0.53	0.0014
Cl ⁻	460	12.97	51.74	39.8	0.01297	0.0065	0.82	0.0106
HCO ₃ ⁻	546	8.96	35.74	47.2	0.00896	0.0045	0.83	0.0074
SO ₄ =	151	3.14	12.52	13.0	0.00157	0.0031	0.46	0.0007
Toplam Katyon Miktarı (meq/l)			39.071	Toplam Katyon Miktarı (mg/l)		800.3		
Toplam Anyon Miktarı (meq/l)			25.059	Toplam Anyon Miktarı (mg/l)		1157.0		
Toplam İyon Miktarı (meq/l)			64.131	Toplam İyon Miktarı (mg/l)		1957.2		
İyonlaşma Gücü (mol/l)			0.044	% e (Hata Yüzdesi)		21.85		
SAR (Sodyum Ad. Oranı) (%)			5.797	Sertlik (Fr)		101.88		
rCl / (rSO ₄ +rHCO ₃) Oranı			1.072	rCa/rMg Oranı		2.92		
SIc (Kalsit Doygunluk İndeksi)			0.608	SIj (Jips Doygunluk İndeksi)		-0.95		
SId (Dolomit Doygunluk İndeksi)			0.398	LogPCO ₂ (CO ₂) Kısımlı Basıncı		-1.31		
Fo (Köpürme Katsayı)			1162.2	Si (mg / l)				
Hidrokimyasal fasyes tipi: Na-Ca-Cl-HCO ₃			B ⁺⁺⁺ (mg / l)					



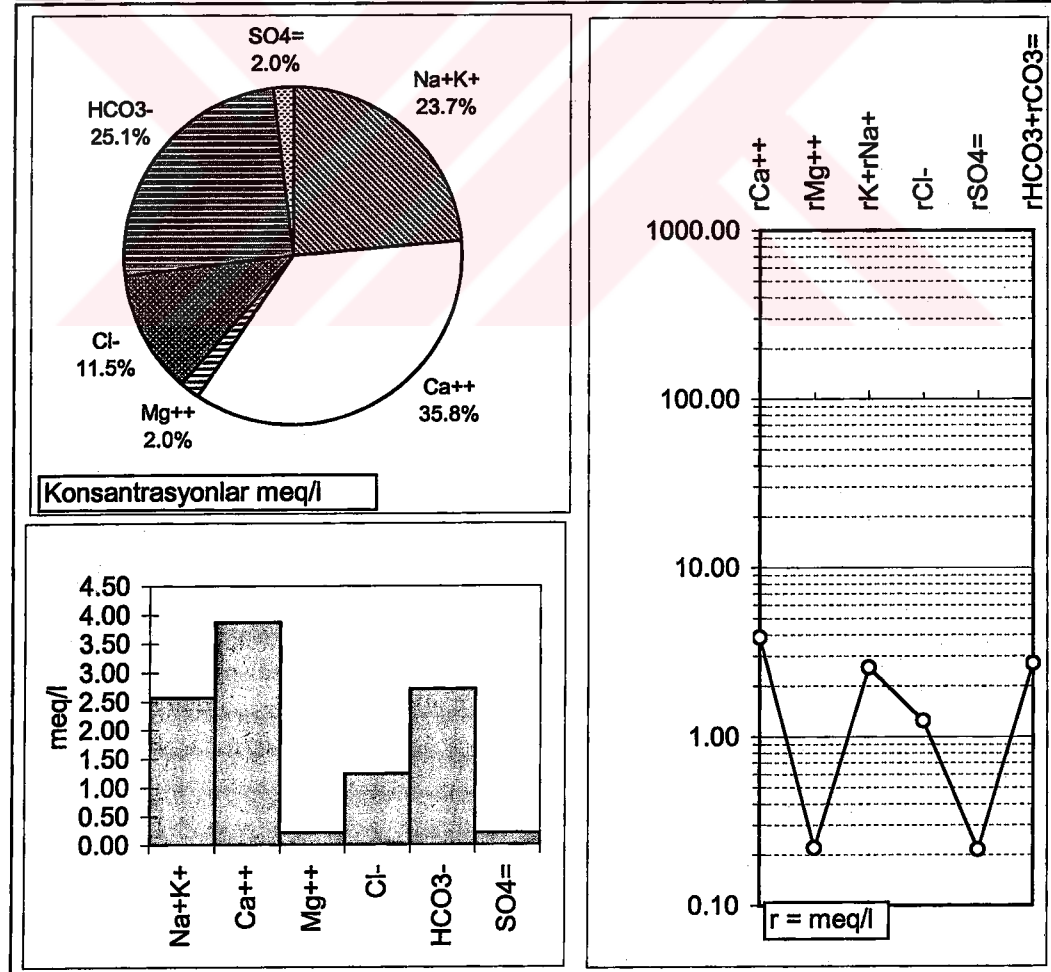
Örnek Adı ve Yeri (X/Y) : 47			15860/55848			pH(-logH)		7.3
Örnekleme Tarihi ve Kaynak :			2003	Yazara aittir		EC(µmho/cm)		1161
İYON	mg/l	meq/l	meq/l	% mg/l	C (mol/l)	.5CZ ²	F	AC
Na ⁺	99	4.32	31.27	36.8	0.00432	0.0022	0.87	0.0037
K ⁺	20	0.51	3.71	7.4	0.00051	0.0003	0.86	0.0004
Ca ⁺⁺	105	5.23	37.86	38.9	0.00262	0.0052	0.59	0.0015
Mg ⁺⁺	46	3.76	27.17	16.9	0.00188	0.0038	0.61	0.0011
Cl ⁻	120	3.38	20.84	14.2	0.00338	0.0017	0.86	0.0029
HCO ₃ ⁻	517	8.48	52.26	61.1	0.00848	0.0042	0.87	0.0073
SO ₄ =	210	4.36	26.90	24.7	0.00218	0.0044	0.56	0.0012
Toplam Katyon Miktarı (meq/l)			13.828	Toplam Katyon Miktarı (mg/l)		270.0		
Toplam Anyon Miktarı (meq/l)			16.228	Toplam Anyon Miktarı (mg/l)		846.9		
Toplam İyon Miktarı (meq/l)			30.056	Toplam İyon Miktarı (mg/l)		1116.8		
İyonlaşma Gücü (mol/l)			0.022	% e (Hata Yüzdesi)		-7.99		
SAR (Sodyum Ad. Oranı) (%)			2.039	Sertlik (Fr)		44.96		
rCl / (rSO ₄ +rHCO ₃) Oranı			0.263	rCa/rMg Oranı		1.39		
SIc (Kalsit Doygunluk İndeksi)			0.512	SIj (Jips Doygunluk İndeksi)		-1.12		
SID (Dolomit Doygunluk İndeksi)			0.458	LogPCO ₂ (CO ₂) Kısımlı Basıncı		-1.61		
Fo (Köpürme Katsayısı)			308.1	Si (mg / l)				
Hidrokimyasal fasiyes tipi: Ca-Na-Mg-HCO ₃ -SO ₄ -Cl ⁻			B ⁺⁺⁺ (mg / l)					



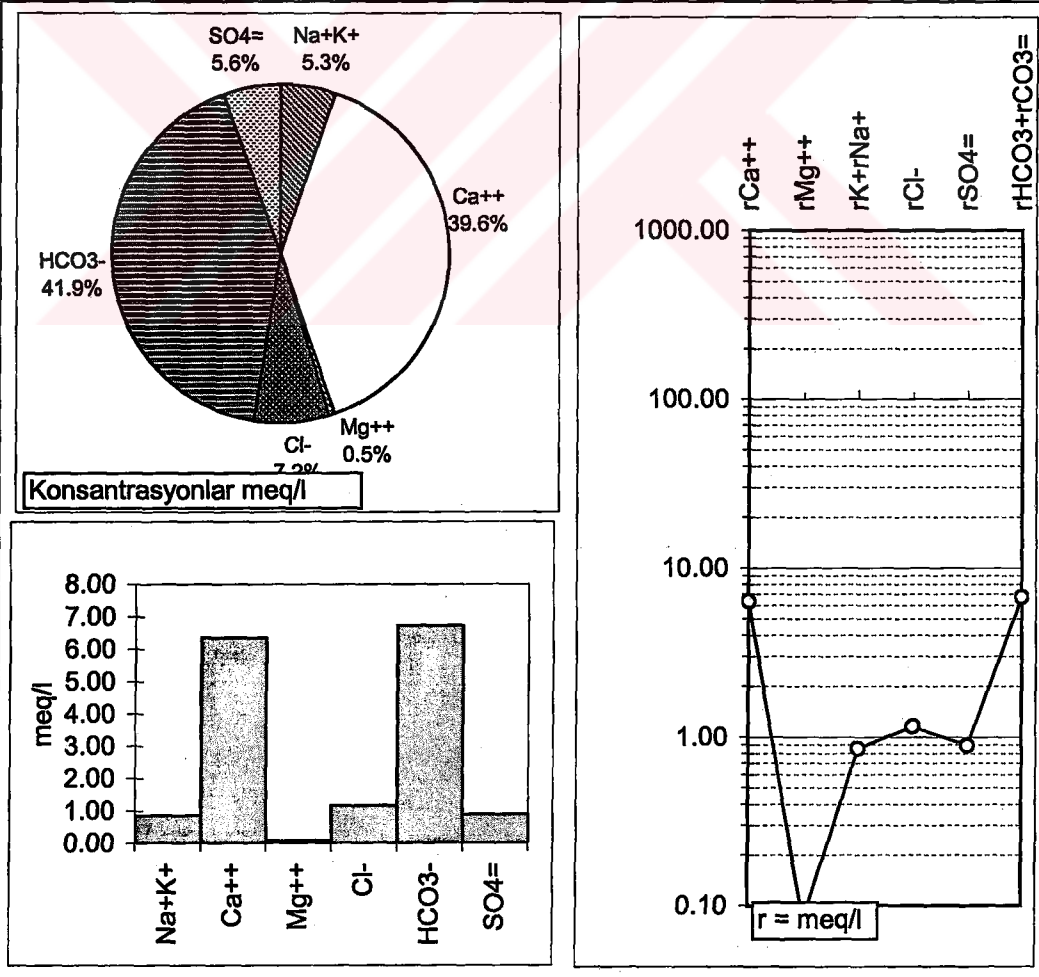
Örnek Adı ve Yeri (X/Y) : 48		18830/57009			pH(-logH)		6.9	
Örnekleme Tarihi ve Kaynak :		2003	Yazara aittir		EC(µmho/cm)		896	
İYON	mg/l	meq/l	meq/l	% mg/l	C (mol/l)	.5CZ ²	F	AC
Na ⁺	50	2.17	20.13	22.7	0.00217	0.0011	0.88	0.0019
K ⁺	24	0.62	5.77	11.0	0.00062	0.0003	0.88	0.0005
Ca ⁺⁺	124	6.21	57.44	56.4	0.00310	0.0062	0.62	0.0019
Mg ⁺⁺	22	1.80	16.67	9.9	0.00090	0.0018	0.64	0.0006
Cl ⁻	50	1.41	12.50	8.1	0.00141	0.0007	0.88	0.0012
HCO ₃ ⁻	448	7.35	65.15	72.4	0.00735	0.0037	0.88	0.0065
SO ₄ ⁼	121	2.52	22.35	19.5	0.00126	0.0025	0.60	0.0008
Toplam Katyon Miktarı (meq/l)	10.807				Toplam Katyon Miktarı (mg/l)	220.6		
Toplam Anyon Miktarı (meq/l)	11.278				Toplam Anyon Miktarı (mg/l)	619.2		
Toplam İyon Miktarı (meq/l)	22.084				Toplam İyon Miktarı (mg/l)	839.8		
İyonlaşma Gücü (mol/l)	0.016				% e (Hata Yüzdesi)	-2.13		
SAR (Sodyum Ad. Oranı) (%)	1.087				Sertlik (Fr)	40.04		
rCl / (rSO ₄ +rHCO ₃) Oranı	0.143				rCa/rMg Oranı	3.45		
SIc (Kalsit Doygunluk İndeksi)	0.155				SIj(Jips Doygunluk İndeksi)	-1.23		
SI _d (Dolomit Doygunluk İndeksi)	-0.097				LogPCO ₂ (CO ₂) Kısımlı Basıncı	-1.27		
Fo (Köptürme Katsayısı)	183.4				Si (mg / l)			
Hidrokimyasal fasiyes tipi: Ca-HCO ₃ -SO ₄	B ⁺⁺⁺ (mg / l)							



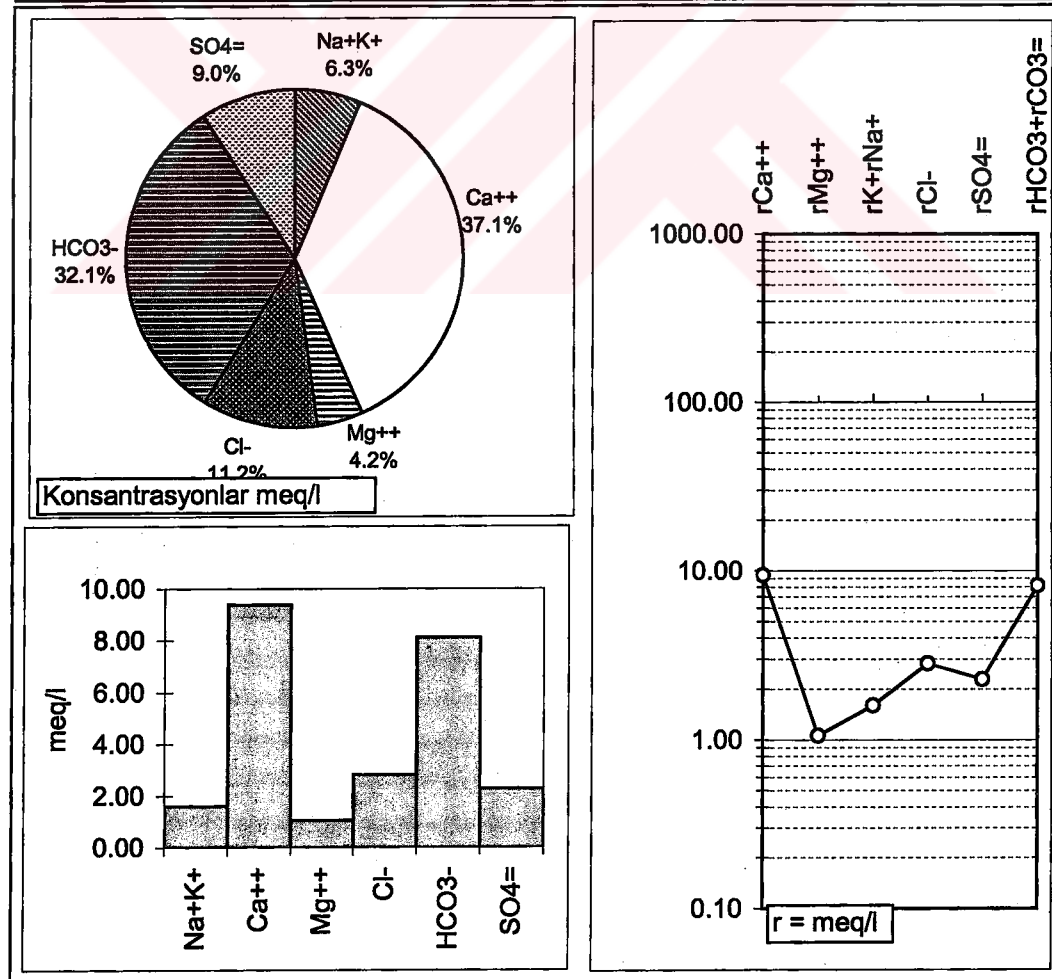
Örnek Adı ve Yeri (X/Y) : 49 19186/57321					pH(-logH)		7.2
Örnekleme Tarihi ve Kaynak :		2003	Yazara aittir		EC(µmho/cm)		685
İYON	mg/l	meq/l	meq/l	% mg/l	C (mol/l)	.5CZ ²	F
Na ⁺	47	2.02	30.38	31.4	0.00202	0.0010	0.91
K ⁺	21	0.54	8.18	14.3	0.00054	0.0003	0.91
Ca ⁺⁺	78	3.87	58.15	52.4	0.00194	0.0039	0.71
Mg ⁺⁺	3	0.22	3.30	1.8	0.00011	0.0002	0.72
Cl ⁻	44	1.24	29.73	20.0	0.00124	0.0006	0.91
HCO ₃ ⁻	166	2.72	65.13	75.3	0.00272	0.0014	0.91
SO ₄ ⁼	10	0.21	5.14	4.7	0.00011	0.0002	0.69
Toplam Katyon Miktarı (meq/l)		6.659	Toplam Katyon Miktarı (mg/l)		148.0		
Toplam Anyon Miktarı (meq/l)		4.172	Toplam Anyon Miktarı (mg/l)		220.1		
Toplam İyon Miktarı (meq/l)		10.831	Toplam İyon Miktarı (mg/l)		368.1		
İyonlaşma Gücü (mol/l)		0.008	% e (Hata Yüzdesi)		22.96		
SAR (Sodyum Ad. Oranı) (%)		1.414	Sertlik (Fr)		20.46		
rCl / (rSO ₄ +rHCO ₃) Oranı		0.423	rCa/rMg Oranı		17.64		
SIc (Kalsit Doygunluk İndeksi)		-0.110	SIj (Jips Doygunluk İndeksi)		-2.38		
SID(Dolomit Doygunluk İndeksi)		-0.719	LogPCO ₂ (CO ₂) Kısımlı Basıncı		-1.99		
Fo (Köpürme Katsayısı)		167.9	Si (mg / l)				
Hidrokimyasal fasyes tipi: Ca-Na-HCO ₃ -Cl			B ⁺⁺⁺ (mg / l)				



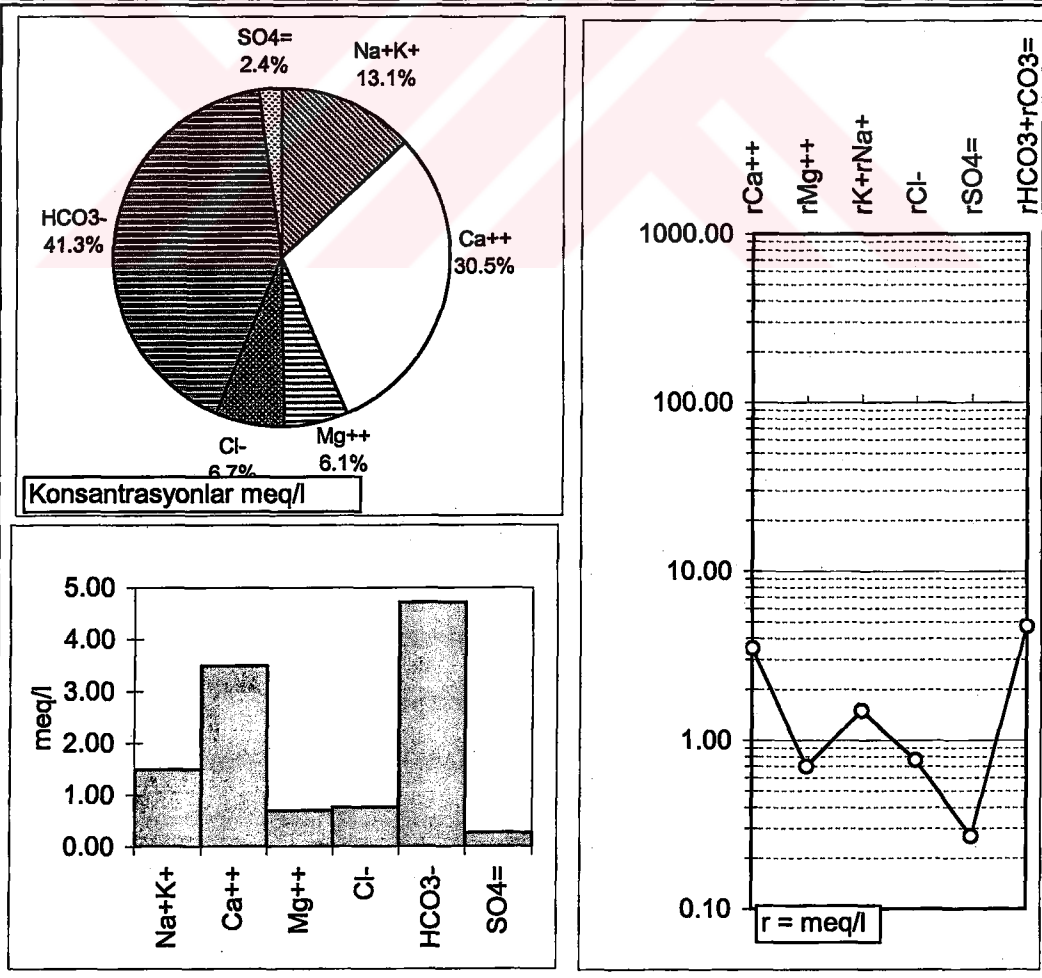
Örnek Adı ve Yeri (X/Y) : 50	14620/57117		pH(-logH)	7.3
Örnekleme Tarihi ve Kaynak :	2003	Yazara aittir	EC($\mu\text{mho}/\text{cm}$)	719
İYON	mg/l	meq/l	meq/l	% mg/l
Na ⁺	19	0.83	11.35	12.8
K ⁺	1	0.03	0.35	0.7
Ca ⁺⁺	127	6.35	87.17	85.8
Mg ⁺⁺	1	0.08	1.13	0.7
Cl ⁻	41	1.16	13.18	8.3
HCO ₃ ⁻	410	6.72	76.65	83.0
SO ₄ =	43	0.89	10.17	8.7
Toplam Katyon Miktarı (meq/l)		7.282	Toplam Katyon Miktarı (mg/l)	148.2
Toplam Anyon Miktarı (meq/l)		8.767	Toplam Anyon Miktarı (mg/l)	493.7
Toplam İyon Miktarı (meq/l)		16.049	Toplam İyon Miktarı (mg/l)	641.9
İyonlaşma Gücü (mol/l)		0.012	% e (Hata Yüzdesi)	-9.26
SAR (Sodyum Ad. Oranı) (%)		0.461	Sertlik (Fr)	32.15
rCl / (rSO ₄ +rHCO ₃) Oranı		0.152	rCa/rMg Oranı	77.18
SIc (Kalsit Doygunluk İndeksi)		0.560	SIj (Jips Doygunluk İndeksi)	-1.61
SID (Dolomit Doygunluk İndeksi)		-0.369	LogPCO ₂ (CO ₂) Kısımlı Basıncı	-1.70
Fo (Köpürme Katsayısı)		53.2	Si (mg / l)	
Hidrokimyasal fasyes tipi: Ca-HCO ₃			B ⁺⁺⁺ (mg / l)	



Örnek Adı ve Yeri (X/Y) : 51	16280/55972		pH(-logH)	7
Örnekleme Tarihi ve Kaynak :	2003	Yazara aittir	EC(µmho/cm)	953
İYON	mg/l	meq/l	meq/l	% mg/l
Na ⁺	33	1.45	12.07	13.9
K ⁺	6	0.15	1.21	2.4
Ca ⁺⁺	188	9.38	77.93	78.4
Mg ⁺⁺	13	1.06	8.80	5.4
Cl ⁻	100	2.82	21.32	14.2
HCO ₃ ⁻	495	8.12	61.41	70.3
SO ₄ =	110	2.28	17.28	15.6
Toplam Katyon Miktarı (meq/l)		12.038	Toplam Katyon Miktarı (mg/l)	239.9
Toplam Anyon Miktarı (meq/l)		13.223	Toplam Anyon Miktarı (mg/l)	705.0
Toplam İyon Miktarı (meq/l)		25.262	Toplam İyon Miktarı (mg/l)	944.9
İyonlaşma Gücü (mol/l)		0.019	% e (Hata Yüzdesi)	-4.69
SAR (Sodyum Ad. Oranı) (%)		0.636	Sertlik (Fr)	52.20
rCl / (rSO ₄ +rHCO ₃) Oranı		0.271	rCa/rMg Oranı	8.86
SIc (Kalsit Doygunluk İndeksi)		0.461	SIj(Jips Doygunluk İndeksi)	-1.12
SID(Dolomit Doygunluk İndeksi)		0.005	LogPCO ₂ (CO ₂) Kısımlı Basıncı	-1.33
Fo (Köpürme Katsayısı)		101.4	Si (mg / l)	
Hidrokimyasal fasiyes tipi: Ca-HCO ₃ -Cl			B ⁺⁺⁺ (mg / l)	



Örnek Adı ve Yeri (X/Y) : 52	15260/55511		pH(-logH)	7.5
Örnekleme Tarihi ve Kaynak :	2003	Yazara aittir	EC(µmho/cm)	398
İYON	mg/l	meq/l	meq/l	% mg/l
Na ⁺	32	1.39	24.40	27.8
K ⁺	4	0.11	1.90	3.7
Ca ⁺⁺	70	3.49	61.42	61.1
Mg ⁺⁺	9	0.70	12.29	7.4
Cl ⁻	27	0.76	13.23	8.2
HCO ₃ ⁻	288	4.72	82.07	87.8
SO ₄ =	13	0.27	4.70	4.0
Toplam Katyon Miktarı (meq/l)		5.688	Toplam Katyon Miktarı (mg/l)	114.6
Toplam Anyon Miktarı (meq/l)		5.751	Toplam Anyon Miktarı (mg/l)	327.9
Toplam İyon Miktarı (meq/l)		11.438	Toplam İyon Miktarı (mg/l)	442.5
İyonlaşma Gücü (mol/l)		0.008	% e (Hata Yüzdesi)	-0.55
SAR (Sodyum Ad. Oranı) (%)		0.958	Sertlik (Fr)	20.96
rCl / (rSO ₄ +rHCO ₃) Oranı		0.153	rCa/rMg Oranı	5.00
Slc (Kalsit Doygunluk İndeksi)		0.381	Slj (Jips Doygunluk İndeksi)	-2.33
SlD (Dolomit Doygunluk İndeksi)		0.046	LogPCO ₂ (CO ₂) Kısımlı Basıncı	-2.05
Fo (Köpürme Katsayısı)		94.4	Si (mg / l)	
Hidrokimyasal fasiyes tipi: Ca-Na-HCO ₃		B ⁺⁺⁺ (mg / l)		



Örnek Adı ve Yeri (X/Y) : 53	15860/55548		pH(-logH)	7.3
Örnekleme Tarihi ve Kaynak :	2003	Yazara aittir		EC(µmho/cm)
İYON	mg/l	meq/l	meq/l	% mg/l
Na ⁺	102	4.43	33.00	37.9
K ⁺	22	0.55	4.12	8.0
Ca ⁺⁺	109	5.45	40.57	40.6
Mg ⁺⁺	36	3.00	22.32	13.5
Cl ⁻	111	3.13	23.78	15.9
HCO ₃ ⁻	486	7.96	60.49	69.8
SO ₄ =	99	2.07	15.73	14.3
Toplam Katyon Miktarı (meq/l)	13.432	Toplam Katyon Miktarı (mg/l)	269.1	
Toplam Anyon Miktarı (meq/l)	13.159	Toplam Anyon Miktarı (mg/l)	695.9	
Toplam İyon Miktarı (meq/l)	26.591	Toplam İyon Miktarı (mg/l)	965.1	
İyonlaşma Gücü (mol/l)	0.019	% e (Hata Yüzdesi)	1.03	
SAR (Sodyum Ad. Oranı) (%)	2.157	Sertlik (Fr)	42.23	
rCl / (rSO ₄ +rHCO ₃) Oranı	0.312	rCa/rMg Oranı	1.82	
SIc (Kalsit Doygunluk İndeksi)	0.519	SIj (Jips Doygunluk İndeksi)	-1.39	
SID (Dolomit Doygunluk İndeksi)	0.407	LogPCO ₂ (CO ₂) Kısımlı Basıncı	-1.64	
Fo (Köpürme Katsayısı)	318.0	Si (mg / l)		
Hidrokimyasal fasiyes tipi: Ca-Na-Mg-HCO ₃ -Cl	B ⁺⁺⁺ (mg / l)			

